

МИНИСТЕРСТВО ГЕОЛОГИИ СССР
КРАСНОЯРСКОЕ ГЕОЛОГИЧЕСКОЕ УПРАВЛЕНИЕ

ГОСУДАРСТВЕННАЯ
ГЕОЛОГИЧЕСКАЯ
КАРТА СССР

масштаба 1:200000

Серия Западно-Саянская

Лист М-47-XIII, XIX

Объяснительная записка

Составили Г. П. Александров, В. А. Меткин, В. И. Шибанов
Редактор П. С. Матросов

Утверждено Научно-редакционным советом ВСЕГЕИ
23 ноября 1972 г., протокол № 25

МОСКВА 1981

СОДЕРЖАНИЕ

	Стр
Введение	3
Геологическая изученность	5
Стратиграфия	9
Интузивные образования	32
Тектоника	49
Геоморфология	59
Полезные ископаемые	64
Подземные воды	83
Оценка перспектив района	88
Литература	93
Список промышленных месторождений	97
Список непромышленных месторождений	98
Список проявлений полезных ископаемых	99

ВВЕДЕНИЕ

Описываемый район занимает центральную часть нагорья Сангилен, по административному делению относится к Эрзинскому и отчасти Кая-Хемскому району Тувинской АССР. Для этой части нагорья характерен гольцовый плосковершинный рельеф с отметками водоразделов 2200—2600 м над уровнем моря. В центре и на северо-западе обособляются два горных узла с альпийским рельефом, где абсолютные отметки достигают 3200—3274 м. Реки здесь принадлежат двум крупным системам — Енисейской и Тес-Хемской. К первой относятся реки Балыктыг-Хем (исток р. Малый Енисей), Бурен и Каргы. Правыми притоками р. Тес-Хем являются реки Эрзин, Нарын, Качик, Цоригин-Гол и др. Все они типичные представители горных рек с невыработанным профилем и непостоянным режимом. Продольный профиль русел, как правило, крутой и составляет 10—15 м на 1 км, в верховьях и местах пережимов увеличивается от 20—30 м на 1 км. Уклоны русел их притоков колеблются в пределах от 0,002 до 0,004. Систематические гидрогеологические наблюдения в районе не осуществлялись, лишь в конце сентября 1960 г. группой гидрогеологов под руководством Л. Н. Алексинской в районе месторождения Улуг-Танзек были проведены замеры дебита р. Эрзин и истоков р. Бурен [17]. Эти сведения приведены в табл. 1.

Таблица 1

Местоположение пункта наблюдения	Площадь водосбора, км ²	Средняя высота водосбора, м (абсолютная отметка)	Среднегодовой расход воды, м ³ /с	Среднегодовой объем стока, 10 ⁶ м ³
р. Эрзин, район месторождения Улуг-Танзек	2,58	2420	0,02	0,79
р. Эрзин, устье руч. Саргаты	70,0	2300	0,66	20,80
р. Эрзин, устье р. Пучук	300,0	2300	2,82	88,90
р. Бурен, устье руч. Оленьего	36,2	2190	0,32	10,10
руч. Сайлик, устье первого левого притока	10,0	2165	0,12	3,78

По заключению Л. Н. Алексинской воды р. Эрзин и озер, расположенных в районе месторождения Улуг-Танзек, отвечают всем требованиям, предъявляемым к промышленной и питьевой воде.

Климат района резко континентальный. В табл. 2 приведены данные о температуре и количестве осадков за 1971 г. по метеопункту пос. Кунгуртук, расположенному к востоку от описываемого района.

Таблица 2

Месяцы	Средняя темпера-тура, °C	Количест-во осадков, мм	Высота снег-ного покрова, см	Абсолютный максимум по Цельсию	Абсолютный минимум по Цельсию
Январь	-26,5	8,3	11	-3,9	-40,5
Февраль	-24,8	2,4	13	-6,6	-40,1
Март	-15,5	4,5	10	9,6	-39,6
Апрель	-0,2	8,6	—	20,6	-23,3
Май	5,8	18,4	—	28,7	-8,6
Июнь	11,0	48,4	—	27,0	2,8
Июль	12,8	116,5	—	27,9	-0,8
Август	11,2	63,8	—	27,7	-0,6
Сентябрь	4,2	43,0	—	20,6	-11,0
Октябрь	-3,1	15,7	10	15,9	-20,5
Ноябрь	-16,0	15,6	21	2,8	-39,5
Декабрь	-28,2	21,7	35	-8,3	-49,9
В среднем за год	-5,8	366,9	—	—	—

В 1971 г. последний и первый заморозки в пос. Кунгуртук наблюдались соответственно 19 и 30 июля. Продолжительность теплого периода составила всего 40 дней. Данные о сроках ледостава и вскрытия рек, направлении и силе ветра по району отсутствуют.

Территория характеризуется повсеместным развитием многолетней мерзлоты. За летний период грунты оттаивают на 1,5—2 м. По склонам глубоких распадков мерзлый грунт даже летом встречается непосредственно под почвенным слоем.

Район в целом хорошо обнажен. Наилучшая обнаженность характерна для участков в области истоков рек Цзайга-Гол, Цоригин-Гол, Эрзин и верховьев р. Балыктыг-Хем. Здесь древесная растительность развита лишь в нижних частях склонов речных долин. Остальная, большая часть площади района покрыта лиственично-кедровой тайгой, но и здесь склоны южной экспозиции в большинстве случаев обнажены достаточно.

Район совершенно не заселен. В 1968—1971 гг. на его территории не имелось ни одного населенного пункта, исключая летние кочевья. В районе имеются две автодороги, доступные лишь автомашинам с высокой проходимостью. Одна дорога проходит по руслам рек Нарын и Балыктыг-Хем до восточной

рамки, вторая вдоль государственной границы с МНР до р. Качик. Ближайшие посадочные площадки для самолетов типа АН-2 находятся западнее и восточнее в поселках Эрзин и Кунгуртук. В пределах рассматриваемой площади имеются многочисленные сравнительно хорошо проходимые выочные тропы как по долинам рек, так и по гольцовыми водоразделам.

Горная промышленность в районе отсутствует.

ГЕОЛОГИЧЕСКАЯ ИЗУЧЕННОСТЬ

Первые исследования в районе проводились в период 1935—1944 гг. при изучении россыпного золота в бассейнах рек Нарын, Чартис, Балыктыг-Хем и Качик. В результате было открыто россыпное месторождение золота по р. Нарын [43, 53].

В 1944—1947 гг. А. П. Божинский [21] и А. И. Левенко [38] провели на описываемой территории рекогносцировочные маршруты и съемку отдельных участков в м-бе 1 : 200 000, а И. С. Гудилин провел геоморфологические исследования.

По данным В. В. Архангельской, А. Г. Каца и А. Л. Долина, в 1951 г. была издана геологическая карта Тувинской автономной области м-ба 1 : 1 000 000 под редакцией А. Л. Додина (ВСЕГЕИ). Параллельно с геологической съемкой проводились геоморфологические исследования работниками ВСЕГЕИ и ВАГТа. В 1952 г. была издана геоморфологическая карта Тувинской автономной области м-ба 1 : 500 000 с объяснительной запиской к ней под общей редакцией И. Г. Нордеги [6].

В период 1951—1957 гг. различные ведомства и экспедиции занимались среднемасштабной геологической съемкой, разномасштабными поисковыми, разведочными, ревизионными и тематическими работами. Поисково-съемочные работы м-ба 1 : 200 000 проводились Тувинской аэрогеологической экспедицией № 6 (ВАГТ). В 1951 г. А. Г. Безпалько и А. В. Григорьевым закартирована территория бассейнов рек Эрзин, Нарын, Качик [19], В. В. Архангельской и А. Г. Кацем — бассейны рек Кары, Балыктыг-Хем, Тарги, Цоригин-Гол и Цзайга-Гол [18]. В 1952 г. И. Ф. Пожарским, Т. С. Гостевой изучались бассейны рек Бурен и Эрик [49]. В 1953—1954 гг. С. В. Потаповым, В. А. Онищенко исследовались левый борт р. Кары, бассейны рек Тарбагатай и Сенегел [50]. Эти исследователи придерживались единой стратиграфической схемы, разработанной В. В. Архангельской и другими при геологической съемке м-ба 1 : 1 000 000. В процессе картирования было открыто Улуг-Танзекское редкоземельное рудопроявление, послужившее обоснованием постановки ревизионных гамма-поисков на прилегающих участках [49]. А. Г. Безпалько была рекомендована постановка поисково-разведочных работ на Ара-Булакском месторождении мусковита [19].

С 1953 по 1956 гг. ревизионные, поисково-разведочные, поисковые работы осуществляются различными ведомствами и экспедициями. В 1954 г. В. М. Моралевым, И. А. Нечаевой [44] проводятся поисковые работы м-ба 1 : 100 000. В этом же году Э. Л. Варанд, В. В. Беззубцев (КГУ) осуществляют поисково-разведочные работы на Ара-Булакском месторождении мусковита [25]. В то же время партиями Горной экспедиции под руководством Н. Я. Дробининой [28], Ф. М. Карпенко [33], Л. Н. Щербакова [63], М. А. Жукова [29, 30] осуществлялись поисково-разведочные работы на оптическое сырье, ревизионные работы на открытых ранее редкометальных рудопроявлениях и специализированные поиски. В результате этих работ открыты новые многочисленные рудопроявления редких земель, Адырбутское месторождение оптического кальцита, Улуг-Танзекское рудопроявление оценено как крупное комплексное месторождение ниобия, циркона, редких земель, флюорита.

С 1952 по 1955 гг. сотрудниками ИГЕМ Р. М. Яшиной, В. А. Кононовой, Н. А. Щербаковой проводилось детальное изучение щелочных интрузивов описываемого района. Часть массивов ими оценены как месторождения алюминиевого сырья [14, 15, 65, 66].

В 1955—1956 гг. редакционно-увязочные работы на площади листов осуществлялись А. В. Ильиным и др. и И. А. Нечаевой [45]. Интрузивные породы изучались тематической партией ВАГТ под руководством Я. Д. Шенкмана. Некоторые специальные исследования щелочных интрузивов в 1956 г. выполнены сотрудником ГЕОХИ А. С. Павленко.

В 1957 г. изданы геологическая карта и карта полезных ископаемых листов М-47-XIII, XIX с объяснительной запиской к ним, составленные А. В. Ильиным и В. М. Моралевым [8]. Эти авторы предложили новую стратиграфическую схему района, принципиально отличающуюся от схем предыдущих исследователей. Авторы пришли к выводу, что отложения докембрия распространены в районе очень широко, а образования палеозоя — незначительно. Кроме того, ими отрицалось существование регионального перерыва между протерозоем и синием (между нарынской и чартысской свитами). Интрузивные породы были разделены ими на четыре разновозрастных комплекса: верхнепротерозойский (саянский), нижнепалеозойский (акторракский), нижнепалеозойский (таннуольский) и среднепалеозойский.

В период 1958—1962 гг. в районе осуществлялись поисковые и разведочные работы партиями Горной экспедиции и Тувинской комплексной геологической экспедиции № 14 (Геологоразведочного треста № 1) под руководством Л. А. Маркиной [41], В. С. Бирюкова [20], Д. Я. Айдзердзиса [16], Е. В. Уханова [55], В. Н. Коноваловой [34], А. И. Игошина [31], Н. И. Хомизури [56, 57] и П. В. Самородова [51]. В результа-

те этих работ проведена предварительная разведка Улуг-Танзекского месторождения [20], открыто около 20 рудопроявлений лития и серия редкоземельных рудопроявлений.

Открытие в районе многочисленных литиевых рудопроявлений повлекло за собой проведение в районе обширных тематических исследований. Так, в 1959—1960 гг. коллектив геологов ЗИМСа под руководством Н. Е. Костина проводит геолого-минералогическое исследование редкометальных пегматитов Сангилена [35, 42], а в 1960—1962 гг. группа сотрудников ИМГРЭ в составе Е. Н. Алтухова, А. Д. Смирнова, В. Г. Хрюкина, С. П. Гавриловой изучают условия формирования редкометальных пегматитов [1, 12, 13, 61]. При этом был затронут целый ряд общих проблем стратиграфии, магматизма и тектоники Сангилена.

В 1962—1965 гг. Тувинская комплексная геологическая экспедиция КГУ проводит в районе крупномасштабную геологическую съемку и поисково-ревизионные работы. Эти исследования осуществляются партиями под руководством А. С. Хринунова [60], В. А. Габеева [27], В. А. Подругина [48], Н. И. Хомизури [58], В. П. Бордоносова [23]. В процессе работ Н. В. Роговым [60] в поле развития пород верхнечартысской подсвиты в обломке были обнаружены окаменелости археоциат санаштыкгольского комплекса. Тем самым была поставлена под сомнение стратиграфическая схема, разработанная А. В. Ильиным и В. М. Моралевым. В то же время проведена доразведка и подсчет запасов Улуг-Танзекского месторождения [23].

В 1962—1964 гг. сотрудниками ЛОПИ Н. И. Юдним и И. С. Боровской [24, 64] исследовались разрезы отложений докембра с целью обнаружения месторождений фосфоритов. На описываемой площади таких месторождений ими не обнаружено. В 1964—1965 гг. Н. В. Межеловским, Ю. М. Мальцевым (КГУ) детально изучались разрезы отложений докембра. На основе сборов, многочисленных окаменелостей микрофитолитов и невландий авторы пришли к выводу о преимущественно рифейском возрасте отложений, слагающих нагорье Сангилен [10, 40].

В 1965 г. сотрудниками ВСЕГЕИ Г. М. Владимирским и З. В. Волковым в верховых р. Мал. Пучук впервые в коренных выходах пород верхнечартысской подсвиты обнаружены многочисленные окаменелости археоциат санаштыкгольского комплекса. Еще раз был доказан нижнекембрыйский возраст верхнечартысской подсвиты среднего протерозоя по схеме А. В. Ильина и В. М. Моралева [3, 4].

В 1964—1967 гг. Н. В. Рогов проводил тематические работы на юго-востоке Тувы по магматизму докембра.

1969 г. партией Геофизической экспедиции КГУ под руководством Л. И. Холяндры на площади листа М-47-XIII прово-

дилась аэромагнитная съемка м-ба 1 : 50 000. По данным съемки была составлена карта изодинам района. Рудных аномалий на описываемой территории не обнаружено [59].

К 1966 г., когда перед Министерством геологии СССР был поставлен вопрос о пересъемке Сангилены, был накоплен богатый фактический материал. В результате рассмотрения этого материала Министерство геологии СССР сочло возможным перевести геологические карты листов М-47-XIII и XIX в м-б 1 : 500 000 и разрешило КГУ на этой площади провести повторную геологическую съемку м-ба 1 : 200 000 с применением всего необходимого комплекса современных методов исследований. Для выполнения этих работ в составе Тувинской комплексной геологической экспедиции КГУ была организована Нарынская ГСП, которая и провела пересъемку в период 1968—1971 гг. При проведении повторных геологосъемочных работ основными исполнителями были: Г. П. Александров — начальник партии, В. А. Меткин — старший геолог, В. И. Шибанов — начальник отряда Н. Т. Цыма — геолог. В 1969 г. в составе партии работал В. А. Владимиров, а в 1971 г. — А. В. Чудин и В. Б. Дергачев. Геологическая карта и карта полезных ископаемых составлена на основе фактического материала, собранного исполнителями в период 1968—1971 гг. с использованием материалов геологической съемки м-ба 1 : 50 000 [29, 30, 60].

В процессе пересъемки Нарынской партией взято и обработано проб: 3390 шлиховых, 9811 литогеохимических из русловых потоков, 1970 геохимических из коренных отложений, 56 силикатных, 200 протолочных и 10 на абсолютный возраст. Впервые в районе проведены столь обширные сборы органических окаменелостей по площади в стратифицированных вендских отложениях нарынской свиты и нижнекембрийских образованиях пучукской свиты и ходаляхской толщи. Кроме того, отобрано 630 водных проб с целью установления химического состава вод и выявления содержания микрокомпонентов в сухих остатках. Все пробы анализировались в лаборатории Тувинской ордена Знак Почета геологоразведочной экспедиции*. Внешний контроль осуществлялся Центральной лабораторией КГУ. Часть протолочных проб (12 шт.) проанализирована в минералогической лаборатории СНИИГГиМСа. Определения абсолютного возраста выполнены лабораторией Н. Н. Амшинского (СНИИГГиМС). Определения органических окаменелостей произведены З. А. Журавлевой (ГИН) и М. В. Степановой (СНИИГГиМС). Спорово-пыльцевой анализ четвертичных образований осуществлен в лаборатории Западной экспедиции КГУ Г. Е. Байкаловой и Л. Д. Гамуловской.

* В 1972 г. Тувинская комплексная геологическая экспедиция переименована в Тувинскую геологоразведочную экспедицию.

На весь район имеются аэрофотоснимки по залетам 1966 г. м-ба 1 : 45 000—1 : 50 000. Качество снимков хорошее, но съемка проводилась без учета требований геологического дешифрирования — в разное время года и суток, что отрицательно сказалось на качестве дешифрируемости. По фототону, микроформам рельефа уверенно дешифрируются зоны разрывных нарушений, отдельные стратиграфические горизонты, некоторые складчатые структуры и интрузивные массивы.

В современной интерпретации район в целом представляет антиклиновую структуру, а не синклиновую, как думали ранее. Стратифицированные отложения, развитые в районе, четко подразделены на два комплекса: нижний отнесен к сангиленской серии (балыктыгхемская и чартысская свиты), а верхний — расчленен на три толщи (снизу вверх): нарынскую и пучукскую свиты и ходаляхскую толщу. Верхний комплекс заlegtает на нижнем структурно несогласно.

В районе выделены конкретные перспективные площади для проведения детальных поисковых работ с целью обнаружения новых редкометально-редкоземельных месторождений, месторождений золота, висмута, полиметаллов и других полезных ископаемых. В связи с новой трактовкой стратиграфического разреза на настоящей геологической карте имеются несбойки с ранее изданными картами по северной, западной и восточной рамкам листа.

Геологическая карта и карта полезных ископаемых листов М-47-XIII, XIX составлены Г. П. Александровым, В. А. Меткиным и В. И. Шибановым. Объяснительная записка к ним написана теми же авторами в следующем объеме. Разделы «Введение», «Геологическая изученность», «Оценка перспектив района» написаны совместно, «Стратиграфия», «Тектоника» — Г. П. Александровым, «Интрузивные образования», «Геоморфология», «Подземные воды» — В. А. Меткиным, «Полезные ископаемые» — В. И. Шибановым.

СТРАТИГРАФИЯ

Описываемая площадь представляет собой область сопряжения двух структурно-фацальных зон: Сангиленской и Каа-Хемской. Основная часть площади принадлежит Сангиленской и лишь частично — Каа-Хемской зонам. Эти структурно-фацальные зоны разделены долгоживущей Агардаг-Эрзинской зоной разломов (см. рис. 3), контролирующей осадконакопление, процессы магматизма и рудообразования. К Каа-Хемской структурно-фацальной зоне относится незначительная северная часть района (бассейн правого борта р. Бурен, истоки р. Эрзин, междуречье левых притоков р. Тарбагатай — Аргалик — Орукты, бассейн рек Сенегел и Хогус и водораздел последних двух рек и реки Каргы), а большая площадь принад-

лежит Сангиленской зоне. Границей между зонами служит одна из ветвей Агардаг-Эрзинской системы разломов, показанной на геологической карте двойной линией. Сангиленская структурно-фациальная зона отличается от Каа-Хемской более полным стратиграфическим разрезом протерозойских отложений, а также своеобразными фациальными особенностями разреза нижнекембрийских отложений.

В геологическом строении района принимают участие докембрийские, кембрийские образования, прорванные различными по составу и возрасту интрузиями, и четвертичные отложения. Докембрийские образования отнесены к среднему и верхнему протерозою и подразделены на три свиты (снизу вверх): балыктыгхемскую, чартысскую и нарынскую. Кембрийские отложения по остаткам водорослей микрофитолитов и археоциат представляют нижний отдел и по литолого-стратиграфическим признакам разделены на две части (снизу вверх): пучукскую свиту и ходаяхскую толщу.

В Каа-Хемской структурно-фациальной зоне, в отличие от Сангиленской, протерозойские образования представлены одной нарынской свитой, балыктыгхемская и чартысская свиты здесь неизвестны. Нижнекембрийские отложения в Каа-Хемской зоне сложены, в основном, эфузивно-вулканогенными породами, в то время как в Сангиленской отложения нижнего кембрия представлены преимущественно терригенными породами.

СРЕДНИЙ ПРОТЕРОЗОЙ

Протерозойские образования довольно четко разделяются на две части. Нижняя объединяет самые древние наиболее метаморфизованные отложения балыктыгхемской и чартысской свит, а верхняя часть разреза включает преимущественно карбонатные менее метаморфизованные породы нарынской свиты. Нижняя часть разреза, представляющая первый структурный ярус, отнесена условно к среднему протерозою, а нарынская свита, слагающая основание верхнего структурного яруса, по микрофитолитам — к верхнему протерозою (венду).

Балыктыгхемская свита (PR_{2bl})

На геологической карте описываемые отложения выделены в виде небольшого изометричного пятна площадью около 10 km^2 у западной границы района по правому борту р. Баян-Гол, где они слагают часть антиклинальной структуры Эрзинского антиклиниория. Балыктыгхемская свита характеризуется весьма однообразным составом и представлена главным образом светлыми массивными мраморами с густой вкрапленностью и очень тонкими прослоями графита. Среди мраморов встречаются редкие маломощные (до 0,2 м) прослои биотито-рого-

бманковых гнейсов. В разрезе протерозойских отложений балыктыгхемская свита занимает самое нижнее положение. Основание ее в районе не вскрыто, а верхняя граница проводится по подошве первой пачки гнейсов чартысской свиты, согласно залегающей на мраморах балыктыгхемской свиты. Неполнная мощность описываемой свиты около 1000 м. Обоснование возраста свиты приводится ниже.

Чартысская свита ($PR_{2čr}$)

Чартысская свита по сравнению с балыктыгхемской развита более широко. Ее выходы установлены по правому борту р. Эрзин, в междуречье Харгон (Нижний) — Чартис, в левом борту р. Нарын (в районе высоты 3241 м), в верховьях рек Ак-Таврыг-Тыг, Качик, Тарги, Жин-Хем и Чахыртой.

Чартысская свита представлена чередованием различных по составу гнейсов и мраморов с преобладанием гнейсов. Наиболее полный разрез свиты известен в бассейне р. Баян-Гол, где установлены взаимоотношения с подстилающей балыктыгхемской и кроющей нарынской свитами. В русле руч. Алды-Ак-Адыр (правый приток р. Баян-Гол) на белых графитсодержащих мраморах балыктыгхемской свиты совершенно согласно залегают серые и темно-серые биотитово-рогообманковые гнейсы, отнесенные к чартысской свите. Выше следует чередование гнейсов и мраморов. В левом борту р. Баян-Гол установлено несогласное залегание на чартысской свите нарынской. Здесь, на белых мраморах с прослойями гнейсов чартысской свиты, испытывающих восточное падение под углом $60-65^\circ$, залегают песчанистые известняки нарынской свиты с падениями пластов приблизительно в тех же румбах под углом $40-45^\circ$. В известняках нарынской свиты содержатся онколиты плохой сохранности.

По руслу руч. Алды-Ак-Адыр и р. Баян-Гол вскрыт наиболее представительный послойный разрез чартысской свиты, в котором наблюдается следующая последовательность пачек (снизу вверх, в м):

1. Гнейсы биотитово-рогообманковые	20
2. Мраморы белые крупнозернистые графитистые с маломощными (5—10 см) прослойями двуслюдянных гнейсов	35
3. Гнейсы биотитовые	25
4. Переслаивание гнейсов биотитовых, биотитово-рогообманковых и мраморов светло-серых крупнозернистых с вкрапленностью графита. Преобладают мраморы, прослои гнейсов 0,2—0,5 м	45
5. Мраморы белые графитистые крупнозернистые	25
6. Мраморы светло-серые среднезернистые графитистые с подчиненными прослойями (от 0,1 до 1—2 м) гнейсов биотитовых и биотито-рогообманковых	60
7. Гнейсы биотитовые и двуслюдянные с редкими прослойями (1—2 м) мраморов светло-серых и белых среднезернистых графитсодержащих	100
	11

8. Чередование мраморов светло-серых среднезернистых пиритизированных графитистых и двуслюдяных гнейсов	100
9. Гнейсы двуслюдяные и роговообманково-биотитовые	75
10. Переслаивание гнейсов мусковито-биотитовых пиритизированных. Преобладают мраморы	65
11. Гнейсы мусковито-биотитовые, роговообманково-биотитовые	120
12. Чередование мраморов белых среднезернистых графитистых и гнейсов роговообманково-биотитовых	65
13. Гнейсы биотитовые, роговообманково-биотитовые и двуслюдяные	110
14. Чередование мраморов светло-серых среднезернистых графитистых пиритизированных и гнейсов биотитовых, биотито-роговообманковых. Преобладают мраморы 3:1	170

Выше с угловым несогласием залегает пачка нарынской свиты, представленная серыми, темно-серыми параллельно слойистыми, тонкополосчатыми плитчатыми мраморизованными известняками, чередующимися со светло-серыми грубополосатыми бесграфитовыми мраморами. Содержатся редкие прослои (0,2—0,6 м) серых олигомиктовых рассланцеванных мелкозернистых песчаников. В известняках встречаются остатки онколитов плохой сохранности.

Общая мощность отложений чартысской свиты в приведенном разрезе достигает 1010 м.

В правом борту р. Эрзин, в междуречье Чартис — Харган (Нижний), в левом борту р. Нарын (район высоты 2341 м), в правых бортах верховий рек Качик и Тарги описываемые отложения представляют, в основном, верхнюю часть разреза. Здесь устанавливается довольно четко лишь верхний контакт чартысской свиты, основание ее не вскрыто. В правом борту р. Эрзин чартысская свита представлена, преимущественно, пироксен-тремолитовыми, биотит-амфиболовыми и гранат-мусковит-биотитовыми гнейсами и мигматизированными породами. Мраморы в составе свиты не встречены.

Общая неполная мощность свиты на этом участке оценивается в пределах от 300 до 900 м.

В междуречье Чартис — Харган и в левом борту р. Нарын чартысская свита представлена чередованием белых массивных крупнозернистых графитсодержащих мраморов и роговообманково-биотитовых гнейсов, с преобладанием в разрезе мраморов. Гнейсы на этих участках содержатся среди мраморов в виде редких прослоев мощностью не более 1—5 м. Общая неполная мощность свиты здесь определяется в 600—700 м.

В верховьях рек Качик, Тарги, Жин-Хем и Чартис описываемая свита слагает узкий длинный дугообразный формы тектонический блок, размещающийся среди карбонатных пород нарынской свиты. Чартысская свита сложена здесь белыми и светло-серыми массивными, порой гигантозернистыми мраморами с вкрапленностью чешуйчатого графита, содержащими прослои (мощностью от 0,5 до 10 м) биотитовых, двуслюдяных и роговообманково-биотитовых гнейсов. Нередко в породах чар-

тысской свиты отмечается пиритизация, в виде редкой вкрапленности встречается гранат. Неполная мощность описываемых отложений на этом участке колеблется в пределах от 600 до 900 м.

В правых бортах верховьев рек Качик и Тарги чартысская свита обнажается вблизи разломов, слагая осевую часть узких антиклинальных структур северо-восточного или меридионального простириания. Основание свиты здесь также не вскрыто, а перекрывается она с видимым согласием мраморизованными известняками нарынской свиты, содержащими обильные остатки микрофиллитов *Vesicularites congermans* Z. Zhig. (обр. 4363—5). Чартысская свита сложена здесь серыми и темно-серыми биотит-роговообманковыми, биотит-актинолитовыми и актинолитовыми гнейсами с единичными прослоями (мощностью до 10 м) светло-серых и белых графитистых мраморов.

На юго-западе района в верховьях р. Ак-Таврыг-Тыг, где чартысская свита слагает тектонический блок юго-восточного простириания, в составе свиты отмечаются, в основном, биотитовые, роговообманковые и двуслюдяные гнейсы. Среди последних иногда встречаются породы, содержащие помимо биотита и мусковита редкие включения силиманита и граната, или ставролита, андалузита и силиманита, а иногда граната, силиманита и корунда.

Общая неполная мощность чартысской свиты здесь 750—1000 м.

Обоснование возраста свиты приводится ниже.

Сангиленская серия (нерасчлененные отложения балыктыгхемской и чартысской свит) (PR₂Sn)

В междуречье Баян-Гол — Нарын, в бассейнах Коодурге и Балыктыг-Хем из-за сложной тектонической обстановки и недостаточной обнаженности не представляется возможности подразделить отложения сангиленской серии на две вышеописанные свиты. Поэтому здесь выделяются нерасчлененные отложения. Наиболее значительное развитие эти образования получили в бассейнах рек Эрзин и Балыктыг-Хем, где они выполняют совместно с балыктыгхемской и чартысской свитами основную часть Эрзинского антиклиниория (рис. 1).

В верховье р. Балыктыг-Хем нерасчлененные отложения слагают раздвоенный тектонический блок субширотного простириания, размещающийся среди образований нарынской свиты. Ширина блока изменяется от 1 до 10 км, а протяженность его около 33 км. Блок сложен преимущественно белыми и светло-серыми крупно- и гигантозернистыми графитсодержащими мраморами с редкими прослоями мощностью от 2 до 10 м роговообманково-биотитовых и двуслюдяных гнейсов.

Общая сводная мощность нерасчлененных отложений сангиленской серии более 2000 м.

Породы сангиленской серии метаморфизованы в условиях эпидот-амфиболитовой фации. Их возраст определяется стратиграфическим положением: они несогласно перекрываются породами нарынской свиты, содержащими богатые остатки микрофитолитов вендского комплекса позднего докембрия. На геологической карте описываемые отложения датируются в соответствии с легендой как среднепротерозойские.

ВЕРХНИЙ ПРОТЕРОЗОЙ

Нарынская свита (PR_{3nr})

Из протерозойских образований нарынская свита наиболее широко распространена, занимая около половины площади. Ее выходы отмечаются как в Сангиленской, так и в Кая-Хемской структурно-фаациональных зонах. Описываемая свита несогласно перекрывает образования сангиленской серии и совершенно согласно с постепенным переходом подстилает фаунистически охарактеризованные нижнекембрийские отложения пучкукской свиты. Нижний стратиграфический контакт нарынской свиты наблюдался в бассейне р. Ак-Таврыг-Тыг, в левом борту р. Нарын (район высоты 2341 м), в бассейнах рек Хоромнуг (правый приток р. Нарын), Баян-Гол, Коодурге (левый приток р. Эрзин), Чартис и в правом борту р. Эрзин.

На юго-западе, в бассейне р. Ак-Таврыг-Тыг, при детальном картировании установлено, что породы нарынской свиты в виде «нашлепок», иногда со скрытым несогласием, как правило, с угловым залегают на гнейсах чартысской свиты. В основании нарынской свиты на этом участке залегает пачка (мощностью 3—5 м) зеленовато-серых филитовидных пород, которые вверх сменяются темно-серыми и серыми мраморизованными полосчатыми известняками. В последних содержатся онколиты плохой сохранности. Общая неполная мощность отложений нарынской свиты здесь не превышает 50 м.

В правом борту р. Нарын (2,5 км северо-западнее высоты 2352 м) описываемая свита с четким угловым несогласием залегает на пачке белых графитсодержащих мраморов чартысской свиты. Здесь в мраморах устанавливается азимут падения 20° и угол падения — 75—80°, а через 20 м в известняках наблюдается азимут падения от 30 до 50°. В левом борту р. Хоромнуг, 5 км выше ее устья, при прослеживании нижнего стратиграфического контакта нарынской свиты с юга на север установлено, что она с угловым несогласием залегает на различных слоях подстилающих отложений чартысской свиты. Особенно четко картина углового несогласия наблюдается в верховьях р. Хоромнуг, где серые полосчатые мраморизованные

известняки нарынской свиты залегают то на гнейсах, то на мраморах чартысской свиты. Угол падения в отложениях нарынской свиты устанавливается 30—35°, а в породах чартысской свиты — 50—60°. В левом борту р. Баян-Гол также было установлено угловое несогласие между нарынской и чартысской свитами. Здесь описываемый контакт был вскрыт магистральной канавой.

Наиболее полный разрез нарынской свиты известен в бассейне р. Нарын, в междуречье Хоромнуг — Алды-Ког-Оймак. Нижняя часть этого разреза изучалась на водоразделе рек Хоромнуг — Алды-Ког-Оймак и отчасти в русле последней, а верхняя — по правому борту р. Нарын (междуречье Нарын — Алды-Ког-Оймак). Здесь в разрезе нарынской свиты наблюдалась следующая последовательность пачек (снизу вверх, в м).

- | | |
|---|-----|
| 1. Чередование мраморов светло-серых массивных и известняков серых полосчатых мраморизованных с редкими маломощными (0,1—0,3 м) прослойями серых метаморфизованных полимиктовых песчаников. В основании пачки залегает слой (мощностью до 2 м) песчаников серых метаморфизованных и рассланцованных полимиктовых. В известняках встречаются остатки простейших ископаемых органических окаменелостей, но очень плохой сохранности | 480 |
| 2. Эта пачка с угловым несогласием залегает на белых графитистых мраморах чартысской свиты | 182 |
| 3. Известняки темно-серые плитчатые песчанистые с редкими маломощными (0,2—0,4 м) прослойями серых алевропесчаников и алевролитов. В известняках наблюдаются остатки строматолитов: <i>Sinzasophyton usovi</i> Poosp. (обр. 551—3) | 180 |
| 4. Известняки серые, светло-серые полосчатые мраморизованные и темно-серые песчанистых, песчаников и алевролитов серых слоистых. Преобладают мраморизованные известняки | 438 |
| 5. Известняки серые тонкослоистые и темно-серые плитчатые | 34 |
| 6. Известняки темно-серые с водорослевыми остатками: <i>Globuloelias?</i> sp., <i>Calcisphaera</i> sp. обр. 549) | 20 |
| 7. Необнаженный интервал | 77 |
| 8. Известняки серые и темно-серые плитчатые тонкослоистые с органическими окаменелостями плохой сохранности | 104 |
| 9. Известняки серые плитчатые и массивные мраморизованные, содержащие редкие прослои пиритизированных мелкозернистых песчаников и алевролитов | 121 |
| 10. Известняки серые и светло-серые полосчатые с прослойями (1—3 м) серых слоистых алевропесчаников | 123 |
| 11. Известняки серые тонкослоистые песчанистые, содержащие редкие маломощные (0,2—0,6 м) прослои темно-серых известковистых алевролитов. В известняках водорослевые остатки: <i>Sinzasophyton</i> sp., <i>Volvatella cf. horridus</i> (Z. Zhur.), <i>Vesicularites cf. concretus</i> Z. Zhur., <i>V. cf. lobatus</i> Reitl. (обр. 549—3) | 291 |

Выше согласно залегает слой (20 м) серых тонкослоистых пиритизированных алевролитов. Вще выше следует чередование серых и темно-серых тонкослоистых известковистых алевропесчаников, алевролитов и известняков. Преобладают извест-

няки (2:1). Вся карбонатно-терригенная пачка, включая и алевролиты, отнесена к нижнекембрийским отложениям пучукской свиты. Верхняя граница нарынской свиты в данном разрезе проводится нами в основании алевролитовой пачки (мощность 20 м).

Общая мощность свиты в приведенном разрезе 2050 м.

Из сопоставления позднедокембрийских и нижнекембрийских отложений видно, что наибольшей полноты по составу и мощности, кроме приведенного выше разреза, нарынская свита достигает также в междуречье Борсака-Чинге — Хайрлык (правый борт верховья р. Качик), по ручью Ветвистому (левый приток р. Хап-Суг) и в русле безымянного притока р. Улан-Эрге. В каждом из упомянутых мест нарынская свита характеризуется несомненными фациальными особенностями.

В междуречье Борсака-Чинге — Хайрлык отложения нарынской свиты с подстилающими образованиями чартысской свиты имеют тектонические взаимоотношения. Здесь на хребте в сплошных коренных выходах в составе нарынской свиты наблюдается следующая последовательность пачек (снизу вверх, в м):

1. Переслаивающиеся светло-серые, серые и темно-серые известняки	54
2. Известняки серые и темно-серые тонкополосчатые, иногда с брекчийевидной текстурой	144
3. Необнаженный интервал	54
4. Известняки серые и темно-серые с маломощными (до 0,1 м) прослойками светло-серых безграфитовых мраморов. В известняках водорослевые остатки: <i>Vesicularites concretus</i> Z. Zhig. (обр. 2365)	51
5. Известняки темно-серые брекчийевидные с прослойками (0,05—0,1 м) известняков тонкополосчатых серых. Содержатся онколиты плохой сохранности	261
6. Мраморизованные известняки светло-серые почти белые полосчатые	109
7. Переслаивающиеся серые и темно-серые горизонтальнослоистые известняки. Содержатся онколиты плохой сохранности	34
8. Известняки серые полосчатые брекчийевидные с остатками онколитов плохой сохранности	471
9. Мраморизованные известняки светло-серые почти белые полосчатые с маломощными (до 0,5 см) прослойками темно-серых пелитоморфных известняков	202
10. Известняки серые полосчатые брекчийевидные	30
11. Чередующиеся светло-серые и белые мраморизованные известняки с подчиненными маломощными (до 0,5 м) прослойками серых известняков	523

Выше через дизъюнктивное нарушение залегает пачка (мощностью 35 м) темно-серых мелкозернистых пиритизированных известковистых песчаников, принадлежащих пучукской свите нижнего кембрия.

Общая неполная мощность отложений нарынской свиты в этом разрезе 1933 м. Как видно из описания разреза, по сравнению с предыдущим, в составе нарынской свиты совершенно отсутствуют терригенные прослои, а сами известняки здесь приобретают брекчийевидный облик.

В бассейне р. Хап-Суг нарынская свита по разлому соприкасается с нерасчлененными отложениями балыктыгхемской и чартысской свит. От устья руч. Ветвистого вверх по течению в разрезе нарынской свиты устанавливается следующая последовательность пачек (снизу вверх, в м):

1. Чередующиеся метаморфизованные песчаники слабо рассланцованные олигомиктовые, мраморизованные известняки светло-серые и графитистые мраморы. Преобладают песчаники (2:1)	147
2. Песчаники серые рассланцованые мелкозернистые олигомиктовые и алевролиты с редкими прослойками (мощностью 2—3 м) белых мраморов и мраморизованных известняков	196
3. Чередующиеся песчаники серые рассланцованые и известняки светло-серые мраморизованные. Преобладают песчаники	81
4. Необнаженный интервал	34
5. Чередующиеся рассланцованые алевролиты и белые песчанистые мраморизованные известняки	25
6. Необнаженный интервал	175
7. Чередующиеся рассланцованые алевропесчаники, алевролиты и светло-серые мраморизованные известняки. Преобладают известняки	149
8. Алевролиты серые рассланцованые с редкими прослойками (5—10 м) светло-серых мраморизованных известняков	111
9. Песчаники серые мелкозернистые слабо рассланцованые олигомиктовые	20
10. Необнаженный интервал	118
11. Гравелиты светло-серые рассланцованые с прослойками песчаников	32
12. Необнаженный интервал	22
13. Переслаивающиеся песчаники серые рассланцованые, алевролиты и мраморизованные известняки светло-серые слабо окварцованные. Преобладают известняки	75
14. Чередующиеся песчаники серые рассланцованые, алевролиты и светло-серые мраморизованные известняки. Преобладают терригенные породы	172
15. Переслаивающиеся песчаники серые известковистые рассланцованые и мраморизованные известняки светло-серые	57
16. Плохо обнаженный интервал — курумы из глыб мраморизованных известняков светло-серых слабо окварцованных (нередко имеющих брекчийевидную текстуру) и серых известковистых песчаников	232

Далее следует зона дробления, а затем коренные выходы пород пучукской свиты, представленных светло-серыми полосчатыми известковистыми песчаниками, содержащими тонкие прослои (0,2—0,3 м) серых слоистых песчанистых известняков.

Общая неполная мощность нарынской свиты в приведенном разрезе — 1646 м. В его составе по сравнению с первым разрезом больше содержится прослоев терригенных пород, которые в некоторых пачках преобладают над карбонатными. Песчаники и алевролиты в описанном разрезе в значительной степени метаморфизованы и рассланцованы, иногда макроскопически их можно назвать кристаллическими сланцами. Известняки, как правило, сильно мраморизованы и по внешнему виду отличаются от мраморов чартысской свиты лишь отсутствием вкраплений

ленности чешуйчатого графита. Последний в породах содержится в виде мельчайших пылевидных частиц.

В бассейне р. Улан-Эрге (правый приток р. Чахыртой) нарынская свита также по дисъюнктивному нарушению соприкасается с мраморами и гнейсами чартысской свиты. Здесь в русле безымянного притока р. Улан-Эрге в разрезе нарынской свиты наблюдалась следующая последовательность напластования (снизу вверх, в м):

1. Мраморы светло-серые крупнозернистые с распыленной вкрапленностью графита. В породах встречаются проблематичные водорослевые остатки (обр. 709/1—5) 250
2. Чередующиеся серые среднезернистые пиритизированные мраморизованные известняки и светло-серые крупнозернистые мраморы. Преобладают известняки. В известняках содержатся катографии: *Glebosites cf. catenuliformis* M. Stp. и слоевидные водоросли неясного систематического положения (обр. 709/6) 500
3. Известняки черные мелкозернистые с тонкими (1—10 см) прослойями темно-серых кварцитов 150
4. Известняки черные плойчатые мелкозернистые 80
5. Черные известняки. В основании покровов порфириров (мощностью 10 м) темно-зеленых рассланцованных основного состава 45
6. Порфириты темно-зеленые и темно-серые рассланцованные основного состава 50
7. Доломиты темно-серые, пятнистые с прослойями черных доломитистых известняков. В доломитах и известняках содержатся водорослевые остатки: *Paleomicrocystus kaizasensis* Pospelov (обр. 4491—2); *Vesicularites miskellus* M. Stp., *Radiosus cf. sphaericus* Z. Zhur., *Glebosites gentilis* Z. Zhur., *Glebosites cotenuliformis* M. Stp. (обр. 109/9) 280
8. Доломитовые известняки полосчатые скрытокристаллические. Внизу прослой (до 10 м) серых кварцитов. В известняках водорослевые остатки: *Paleomicrocystus kaizasensis* Pospelov. (обр. 4491) 100

Выше через дисъюнктивное нарушение следуют эфузивные нижнекембрийские образования пучукской свиты, представленные зелено-серыми миндалекаменными порфиритами средненеосновного состава, лавобрекциями и туфами. Преобладают литокластические туфы диабазовых порфириотов.

Суммарная мощность приведенного выше разреза равна 1455 м. Это единственный разрез нарынской свиты, где в его составе появляются доломиты и единичные покровы порфириотов.

На основании сопоставления разрезов нарынской свиты, а также с учетом вышеизложенного фактического материала, можно сделать вывод, что описываемые отложения характеризуются некоторой фациальной изменчивостью, хотя облик свиты остается более или менее устойчивым, с резким преобладанием в разрезе карбонатных пород (мраморизованных известняков, реже мраморов и доломитов), а терригенные разновидности обычно содержатся в весьма подчиненном количестве.

Карбонатные породы нарынской свиты повсеместно по всему разрезу содержат обильные остатки сине-зеленых водорослей. Из наших коллекций З. А. Журавлевой (ГИН) выделены следующие формы микрофитолитов: *Vesicularites concretus*

Z. Zhur., *V. rectus* Z. Zhur., *V. congermans* Z. Zhur., *Nubecularites antis* Z. Zhur., *Medullarites lineolatus* Nag., *Palomicrocystus kaizasensis* Pospelov, *Volvotella vodosa* Z. Zhur., *Osagia minuta* Z. Zhur. По ее заключению, указанные формы характерны для IV подразделения верхнего докембра — юдомского (вендского) комплекса Советского Союза.

М. В. Степанова (СНИИГГиМС) из микрофитолитов выделила следующие вендские формы: *Ambigolamellatus horridus* Z. Zhur., *Vetella cf. uschbasica* Krylov, *Saralinskia serrata* Krasn., *Sinzasophyton usovi* Posp., *Glebosites gentilis* Z. Zhur., *Gleocapsella gincingeri* Posp., *Vesicularites cf. concretus* Z. Zhur., *V. reticulatus* Narozh., *V. cf. lobatus* Reitl., *Vermiculites cf. tortuosus* Reitl., *Nubecularites cf. uniformis* Z. Zhur., *Volvatella cf. horridus* (Z. Zhur.), *Radiosus cf. sphaericus* Z. Zhur., *Radiosus cf. aculeatus* Z. Zhur. и др.

В бассейне р. Чахыртой в доломитизированных известняках и доломитах нарынской свиты, как уже отмечалось выше при описании разреза, обнаружены микрофитолиты: *Radiosus cf. sphaericus* Z. Zhur., *Glebosites gentilis* Z. Zhur., *Vesicularites miscellus* M. Stp. По заключению М. В. Степановой эти органические остатки совершенно аналогичны микрофитолитам из доломитов западно-сибирской свиты Горной Шории, возраст которой определяется как верхнерифейский. Такие формы как *Vetella ediganica* Posp. et M. Stp. (MS), *V. cf. uschbasica* Krylov, *Gleobates catenuliformis* M. Stp., *Katangasia sibrica* Maslov., *Osagia bothrydioformis* Krasn., *O. irregularis* Reitl., *Oleckmia reitlingeri* Posp. et M. Stp., *Algотactis sinzasicnsis* Posp., *A. tenuis* Posp., *Calcsphaera* sp., *Gleocapsella* sp., *Vittophyton* sp., *Borlogella* sp., *Radiosus* sp., *Baxonia* sp., *Obruchevella* sp., *Sosnovia* sp., *Osagia* sp., по мнению М. В. Степановой, характеризуют верхи венда — низы кембра.

Форма *Nubecularites mutilus* Z. Zhur., по заключению З. А. Журавлевой, встречается в верхах юдомского и в нижней части нижнего кембра.

Таким образом, возраст нарынской свиты определяется довольно уверенно от верхов верхнего рифея до низов нижнего кембра или, по нашим представлениям, как вендский. Этот вывод подтверждается также решением коллоквиума по микрофитолитам, строматолитам и водорослям, состоявшегося в апреле 1972 г. в г. Новокузнецке. В нем сказано, что верхняя граница венда проводится по основанию пучукской свиты, содержащей спикулы губок, *Girvanella sibirica* Maslov. и другие кембрийские водорослевые остатки. К венду относятся отложения, содержащие микрофитолиты: *Ambigolamellatus horridus* Z. Zhur., *Vermiculites cf. tortuosus* Reitl. и другие формы, широко распространенные в венде.

Ю. М. Мальцевым и Н. В. Межеловским [40] в бассейнах рек Нарын и Балыктыг-Хем ранее были собраны в описывае-

мых отложениях водорослевые остатки, из которых Н. В. Харитоновой была определена *Osagia libidinosa* Z. Zhur. — форма, характерная, по мнению З. А. Журавлевой, для II комплекса рифея. При повторных сборах органических окаменелостей из тех же мест и переопределении ранних находок З. А. Журавлевой совместно с Н. В. Харитоновой установлено, что предыдущее заключение о содержании в известняках нарынской свиты *Osagia libidinosa* Z. Zhur. и других форм II комплекса З. А. Журавлевой было ошибочно (устное сообщение З. А. Журавлевой).

КЕМБРИЙСКАЯ СИСТЕМА

Нижний отдел

В процессе исследований было установлено, что нижнекембрийские отложения в обеих структурно-фацальных зонах совершенно согласно залегают на вендских породах нарынской свиты. По литолого-стратиграфическим признакам они подразделяются на две части: нижнюю — вулканогенно-терригенную (пучукская свита) и верхнюю — существенно карбонатную (ходаляхская толща). Объем нижнекембрийских отложений в районе не установлен.

Пучукская свита ($E_1 p\check{c}$)

Среди нижнекембрийских образований пучукская свита пользуется преимущественным развитием, их выходы отмечаются на юге района по границе с МНР, где они слагают северное крыло Качикского синклиниория. В центральной части района эти отложения выполняют Нарынско-Чахыртойский синклиниорий, а на севере — Сольбельдерскую грабен-синклиналь и Харылкскую синклиналь. Кроем того, описываемая свита выполняет основную часть площади Кая-Хемской структурно-фацальной зоны.

Пучукская свита согласно залегает на вендских породах нарынской свиты и также согласно с постепенным переходом перекрывается отложениями ходяляхской толщи. Пучукская свита в районе представлена двумя типами разреза. Первый — сложен преимущественно песчаниками и алевролитами, в подчиненном количестве содержатся гравелиты, конгломераты. В виде единичных маломощных линзующихся прослоев встречаются известняки, покровы эфузивов и туфы. Второй тип разреза характерен в основном для Кая-Хемской структурно-фацальной зоны и сложен преимущественно вулканогенно-эфузивными образованиями.

Наиболее полно разрез пучукской свиты первого типа представлен в бассейнах р. Качик, Сольбельдер и Балыктыг-Хем.

Здесь устанавливаются нормальные стратиграфические взаимоотношения с вендскими отложениями нарынской свиты.

В бассейне р. Качик составлен сводный разрез пучукской свиты, здесь нижняя его часть изучалась в левом борту р. Качик, в 2,5 км выше устья ее левого притока р. Тарги, а верхняя — в левом борту безымянного притока, в 3,5 км ниже устья р. Тарги. В междуречье Качик — Тарги при изучении контакта между нарынской и пучукской свитами установлено, что нарынская свита на контакте сложена серыми, светло-серыми полосчатыми мраморизованными известняками, мраморами с прослоями (0,1—0,3 м) темно-серых песчанистых известняков и тонкослоистых известковистых алевролитов. В известняках содержатся водорослевые остатки: *Sinzasophyton* sp., *Vetella* sp., *Globuloella* sp. (обр. 700/4). Мощность пачки более 400 м.

На этих отложениях совершенно согласно залегает (в м):

1. Пачка зелено-серых известковистых алевролитов, переслаивающихся с темно-серыми пиритизированными мелкозернистыми полимиктовыми песчаниками. Преобладают алевролиты (2:1) 250

По основанию этой пачки проводится нижняя граница пучукской свиты. Далее в этом разрезе устанавливается следующая последовательность пачек пучукской свиты (снизу вверх, в м):

2. Мраморизованные известняки светло-серые с прослоями (0,2 м) темно-серых известковистых алевролитов 30

3. Песчаники серые, темно- и лилово-серые горизонтально- и косослоистые разнозернистые полимиктовые и алевролиты. Породы содержат вкрапленность пирита. Преобладают мелкозернистые песчаники 580

4. Конгломераты средне- и крупногалечные полимиктовые с линзующимися прослоями (0,3—0,6 м) мраморизованных известняков. В известняковой гальке и линзах известняков встречаются водорослевые остатки: *Glebosites* cf. *catenuliformis* M. Stp., *Borlogella* sp. и др. 100

5. Песчаники серые и буровато-серые полимиктовые разнозернистые с прослоями (до 0,6 м) рассланцованных мелкогалечных конгломератов, гравелитов и известковистых алевролитов. В последних содержатся водорослевые остатки: *Katangasia* sp., *Radiosus* sp., *Stromatactis* sp. (обр. 703/5) 120

Дальнейшее наращивание описываемого разреза осуществляется по левому борту безымянного притока, где устанавливается верхняя граница пучукской свиты.

6. Переслаивающиеся песчаники серые, светло-серые разнозернистые полимиктовые и алевролиты зелено-серые, темно-серые горизонтально-слоистые. Породы содержат вкрапленность пирита. Преобладают песчаники 250

7. Алевролиты темно-серые, иногда полосчатые пиритизированные, чередующиеся с песчаниками серыми и светло-серыми средне- и мелкозернистыми полимиктовыми. Породы слабо рассланцованны. Преобладают алевролиты 200

8. Переслаивающиеся серые и темно-серые тонкослоистые алевролиты 70

9. Песчаники светло-серые среднезернистые полимиктовые косослоистые с прослоями (до 4 м) темно-серых алевролитов. Последние содержат: *Kostinophycus* cf. *irregularis* Vlgd., *Borlogella fasciata* Vlgd., *Kordephyton* (?) sp., *Vesicularites* sp. 50

10. Песчаники серые мелкозернистые полимиктовые с редкими прослойками (0,1—0,2 м) темно-серых алевролитов. В основании слой (1,5 м) среднегалечных конгломератов

11. Темно-серые алевролиты с подчиненными прослойками (0,2—0,3 м) серых полимиктовых мелкозернистых песчаников и черных рассланцовых алевролитов

12. Алевролиты серые слоистые и песчаники зелено-серые тонко-полосчатые мелкозернистые полимиктовые с редкими прослойками (0,1—0,3 м) черных рассланцовых алевролитов. Преобладают алевролиты

13. Зелено-серые тонкослоистые известковистые алевролиты и мелкозернистые полимиктовые песчаники. Преобладают алевролиты (5 : 1)

Выше совершенно согласно с постепенным переходом залегают отложения ходаяхской свиты, представленные серыми и темно-серыми тонкослоистыми известковистыми алевролитами, переслаивающимися с известняками. Преобладают известняки. Мощность пачки 80 м. По основанию этой пачки устанавливается верхняя граница пучукской свиты.

Общая мощность описываемой свиты в приведенном разрезе 2210 м.

Похожий разрез отложений пучукской свиты устанавливается в бассейне р. Сольбельдер и на водоразделе рек Малый Пучук — Сольбельдер. В левом борту р. Сольбельдер в 13 км выше ее устья на светло-серых и серых крупнозернистых мраморах и мраморизованных известняках нарынской свиты, содержащих остатки онколитов плохой сохранности, согласно залегают терригенные отложения пучукской свиты.

Здесь, устанавливается следующая последовательность в разрезе пучукской свиты (снизу вверх, в м):

1. Переслаивающиеся известняки серые песчанистые и алевролиты темно-серые. Преобладают алевролиты

2. Чередующиеся песчаники темно-серые мелкозернистые полимиктовые, серые и светло-серые среднезернистые олигомиктовые

3. Плохо обнаженный интервал, наблюдаются лишь отдельные грибки коренных выходов, в основном, обильные делювиальные обломки песчаников темно-серых мелкозернистых и алевролитов

4. Переслаивающиеся песчаники серые, темно-серые олигомиктовые средне- и мелкозернистые с подчиненными прослойками (0,05—0,2 м) черных алевролитов

5. Песчаники серые и темно-серые олигомиктовые мелкозернистые с покровами (0,2—1 м) андезитовых порфиритов серых, темно-серых и зелено-серых миндалекаменных

6. Конгломераты средне- и крупногалечные с прослойками песчаников (0,1—0,3 м)

7. Переслаивающиеся песчаники серые олигомиктовые мелкозернистые и алевролиты темно-серые. Содержатся прослои (от 1—5 см до 0,2—1 м) известняков темно-серых почти черных. Преобладают песчаники

8. Конгломераты мелко- и среднегалечные с прослойками (до 0,2 м) песчаников серых среднезернистых известковистых олигомиктовых. Галька плохо окатана, размером от 0,5 до 3 см представлена белыми, светло-серыми мраморами и темно-серыми известняками

9. Плохо обнаженный интервал. Обильные обломки песчаников серых и темно-серых

10. Переслаивающиеся песчаники темно-серые пиритизированные олигомиктовые известковистые и алевролиты с редкими прослойками (0,2—0,4 м) черных песчанистых известняков, содержащих остатки мицрофиллитов из группы *Radiosus* Z. Zhur. (обр. 4210—1) 100

Эта пачка слагает ядерную часть синклинальной структуры. Более верхние горизонты пучукской свиты здесь не известны.

Общая неполная мощность нижнекембрийских отложений в приведенном разрезе 1450 м.

В правом борту р. Сольбельдер в 0,8 км северо-западнее устья ее правого притока — руч. Кара-Адыр контакт нарынской и пучукской свит был вскрыт горными выработками. При этом установлен факт согласного залегания пучукской свиты на нарынской. На контакте в составе нарынской свиты, представленной светло-серыми плитчатыми песчанистыми мраморизованными известняками и мраморами, обнаружены водорослевые остатки: *Nubecularites tuitulus* Z. Zhur. (обр. 325).

На водоразделе рек Мал. Пучук — Сольбельдер, в отличие от вышеописанного разреза, в составе пучукской свиты совершенно отсутствуют эфузивные образования, с отложениями нарынской свиты она имеет тектонические взаимоотношения, а завершается этот разрез конгломератовой пачкой мощностью более 300 м. В последней Г. М. Владимирским в гальке желтоватых мраморов и пятнистых темно-серых известняков, а также в известняковом цементе конгломератов обнаружены остатки археоциат: *Etmophyllum* ex gr. *grandiperporatum* Vologd., *E. sp.*, *Araneocyathus* sp., *Archaeofungia* ex gr. *disseptentalis* (Vologd.), *A. sp.*, *Ladaecyathus* sp., *Taylorcyathus* sp., *Szecycyathus* ex gr. *cylindricus* Vologd., *Leptosocyathus* sp., *Orbicyathus* sp., *Arohaclunthus unimurus* Vologd., *A. sibiricus* (Tall.), *A. ex gr. naliivkini* (Vologd.), *Coscinocyathus* ex gr. *dianthus* Воргн., *C. elongatus* Vologd., *Ajacicyathus* ex gr. *amplus* (Vologd.), *A. ex gr. arteintervalum* (Vologd.), *A. ex gr. facilis* Vologd. Данная фауна, по мнению И. Т. Журавлевой (ИГГ СО АН СССР), соответствует сантъягольскому горизонту нижнего кембра.

Общая мощность пучукской свиты на упомянутом водоразделе оценивается нами в 1250 м.

В низовьях рек Чахыртой и Тоскул в составе пучукской свиты, как и в предыдущем разрезе, совершенно отсутствуют эфузивные образования, а конгломераты в ее составе встречаются в нижней части разреза лишь в виде единичных прослоев (мощностью 10 м) среди песчаников.

Второй тип разреза наиболее полно представлен в левом борту р. Карги в 6 км выше устья ее правого притока — р. Хайгас, где на небольшом участке установлен нормальный контакт нарынской и пучукской свит. Нарынская свита здесь сложена небольшой по мощности (около 200 м) пачкой свет-

ло-серых и серых полосчатых мраморизованных известняков с водорослевыми остатками: *Nubecularites multilis* Z. Zhur. (обр. 416). По заключению З. А. Журавлевой эта форма характерна для переходных горизонтов от верхов венда к низам нижнего кембия.

На нарынских известняках на этом участке согласно залегают зеленые актинолитовые сланцы и зелено-серые рассланцовые алевролиты пучукской свиты. Последовательность пачек в разрезе нижнекембийских отложений здесь устанавливается следующим образом (снизу вверх, в м):

1. Сланцы зеленые актинолитовые, алевролиты зелено-серые тонкослоистые рассланцованные. В середине — покров (мощностью 5 м) темно-серых массивных диабазовых порфиритов 50

2. Серые кварциты 40

3. Чередующиеся сланцы зелено-серые актинолитовые, туффиты рассланцованные, туфы и алевролиты рассланцовые тонкослоистые. В основании слой (1 м) серых тонкополосчатых известняков. Преобладают туфогенные породы 450

4. Порфириты зелено-серые миндалекаменные основного состава и туфы этих порфиритов зелено-серые литокластические. Преобладают туфы 150

5. Туффиты зелено-серые и зеленые редко полосчатые рассланцовые 230

6. Чередующиеся туфы зеленые рассланцовые кристаллокластические, сланцы темно-зеленые актинолитовые и алевролиты зелено-серые тонкополосчатые. В основании слой (5 м) известняков светло-серых с розовым оттенком полосчатых окварцованных 350

7. Порфириты афанитовые и туфы темно-зеленые неясно полосчатые рассланцовые кристаллокластические и литокластические основного состава. Преобладают туфы 230

8. Необнаженный интервал 100

9. Плохо обнаженный интервал. Элювиальные обломки туфов зеленных массивных литокластических, туффитов зелено-серых слоистых слабо рассланцовых и зеленых грубополосчатых туфов с прослоями (1—2 см) розово-серых известняков 320

10. Порфириты зеленые массивные миндалекаменные основного состава, туффиты зелено-серые полосчатые слабо рассланцовые. Последние содержатся в виде подчиненных прослоев 200

11. Необнаженный интервал 80

12. Туфы темно-серые тонкополосчатые слабо рассланцовые кристаллокластические 50

Породы последних трех пачек выполняют центральную часть синклинальной структуры. Более верхние горизонты описываемых отложений здесь не известны.

Общая неполная мощность пучукской свиты в приведенном разрезе составляет 2250 м. Ранее эти образования А. В. Ильиным и В. М. Моралевым относились к нижнетапсинской толще нижнего кембия.

Аналоги второго типа разреза пучукской свиты известны и в Сангиленской структурно-фацальной зоне. В частности, в бассейне р. Чахыртой пучукская свита имеет эфузивно-вулканогенный состав. Здесь в низовье р. Улан-Эрге верхи нарынской свиты сложены темно-серыми мраморизованными извест-

няками с прослойми (до 10 м) серых и светло-серых кварцитов. В известняках наблюдаются два прослоя (5 и 8 м) темно-серых окварцованных туффитов. Известняки содержат водорослевые остатки: *Algotactis* cf. *sinzasiensis* Pos., *Radiosus* cf. *aculeatus* Z. Zhur., *Glebosites* sp., *Katangasia* sp., *Osagia* sp. (обр. 709/13—15), которые, по заключению М. В. Степановой, характеризуют переходные слои от верхов венда к основанию нижнего кембия. На этой толще с видимым согласием залегают эфузивно-вулканогенные образования пучукской свиты. Они А. В. Ильиным и В. М. Моралевым относились к чахыртойской толще условно нижнекембийского возраста [8].

На водоразделе рек Нарын — Качик — Ак-Хем к пучукской свите отнесены эфузивные образования, которые ранее описывались в составе кембийских отложений под названием акхемской толщи [8]. По данным указанных исследователей эти эфузивные отложения подстилались конгломератовой кухемской толщей. Новейшими исследованиями было установлено, что конгломератовая толща перекрывает достоверно нижнекембийские отложения ходалыхской толщи, а также эфузивные образования бывшей акхемской толщи. На основании новых данных бывшая кухемская толща отнесена нами к нижнечетвертичным отложениям, а эфузивные образования бывшей акхемской толщи вошли в состав пучукской свиты. Здесь эфузивные образования со всех сторон ограничены разломами, по которым они контактируют на севере с карбонатными отложениями ходалыхской толщи, а на юге — с породами нарынской свиты. Площадь выходов эфузивных образований не более 2 км².

В разрезе эфузивных образований устанавливается следующая последовательность пачек (снизу вверх, в м):

1. Порфириты серые миндалекаменные андезитовые с прослоями (1—5 м) литокластических туфов 25

Эта пачка по разлому контактирует с нижнекембийскими отложениями ходалыхской толщи.

2. Необнаженный интервал 20

3. Порфириты темно-серые, редко буровато-серые миндалекаменные андезитовые с прослоями (0,6—3 м) литокластических туфов тех же пород 280

4. Порфириты серые миндалекаменные андезитовые с подчиненными прослоями литокластических туфов андезитовых порфиритов 225

5. Порфириты андезитовые серые миндалекаменные и афанитовые 45

6. Лавобрекчия андезитовых порфиритов 30

7. Порфириты андезитовые темно-серые, иногда почти черные миндалекаменные и афанитовые с линзующимися прослоями (до 10 м) лавобрекций андезитовых порфиритов 135

8. Порфириты андезитовые темно-серые и серые миндалекаменные 55

9. Порфириты темно-серые миндалекаменные с прослоями (0,3—0,7 м) туффитов. В последних содержатся «плавающие» обломки кварцитов 75

Верхи вулканогенно-эфузивных образований здесь не известны. Общая неполная мощность отложений пучукской свиты в этом разрезе 930 м.

Сопоставляя разрезы пучукской свиты, можно сделать вывод о фациальной неустойчивости состава свиты. Если в бассейне р. Качик среди алевролито-песчаниковой толщи имеется пачка конгломератов мощностью более 100 м, то при удалении от этого участка на запад и на восток конгломераты постоянно исчезают. В западных разрезах в составе пучукской свиты начинают преобладать алевролиты и появляются сланцы, а на востоке, в бассейне р. Чахыртой, в составе пучукской свиты заметное место занимают эфузивно-вулканогенные образования. Последние пространственно приурочиваются, по-видимому, к древним разломам глубинного заложения.

Возраст пучукской свиты определяется тем, что в ее основании в составе нарынской свиты содержатся органические окаменелости переходного возраста от верхов венда к низам нижнего кембия. Несколько выше в разрезе пучукской свиты в составе конгломератовой пачки выявлены археоциаты сантыкгольского горизонта нижнего кембия.

Таким образом, нижнекембрыйский возраст пучукской свиты по фауне, микрофитолитам и водорослям определяется довольно надежно.

Ходаяхская толща (E_1hd)

Ходаяхская толща по сравнению с пучукской свитой имеет ограниченное развитие. Наиболее значительные ее выходы отмечаются в пределах Сангиленской структурно-фациальной зоны.

В Нарынско-Чахыртойском синклиниории описываемая толща пользуется наибольшим развитием, где она выполняет ядерные части Тоскульской, Акхемской, Акадырской, Кухемской и Борсакской синклиналей (рис. 1). В Качинском синклиниории отложения ходаяхской толщи слагают лишь незначительные части синклинальных складок по левому борту р. Качик в районе высоты 2507 м и на крайнем юго-востоке вблизи государственной границы с МНР. На северо-западе эти отложения слагают ядерную часть синклинали в пределах Эрзинского антиклиниория по левому борту верховий р. Бурен.

На территории Каа-Хемской структурно-фациальной зоны описываемые отложения отмечаются в единственном месте в бассейне р. Хогус, где они выполняют ядро небольшой синклинали, сложенной ороговикованными и мигматизированными туфогенными образованиями пучукской свиты.

Ходаяхская толща имеет довольно однообразный состав и представлена она серыми и темно-серыми полосчатыми известняками с прослойями известковистых песчаников и алевролитов. С подстилающими отложениями эта толща связана постепенными переходами. В основании описываемой толщи обычно наблюдается чередование известковистых алевролитов и темно-

серых песчанистых известняков. Нижняя граница толщи проводится с некоторой условностью по основанию первой наиболее мощной пачки серых или темно-серых известняков, согласно залегающих на темно-серых известковистых алевролитах и песчаниках пучукской свиты. В известняках ходаяхской толщи содержатся богатые водорослевые остатки, иногда образующие целые горизонты, реже встречаются хиолиты, спикулы губок, обломки гастропод, брахиопод и срезы трилобитов.

Стратотипический разрез ходаяхской толщи впервые выявлен в бассейне р. Тоскул, по руслу левого ее притока — руч. Ходаях, где она согласно с постепенным переходом залагает на породах пучукской свиты, представленной серыми с розоватым оттенком массивными мелкозернистыми олигомиктовыми известковистыми песчаниками, переслаивающимися с темно-серыми тонкослоистыми алевролитами и сланцами. Содержатся линзующиеся прослои (до 10 м) серых и темно-серых слоистых известняков. Соотношение песчаников и алевролитов примерно равное. В известняках этой пачки (мощностью около 900 м), кроме водорослевых остатков нижнего кембия, содержатся и обломки фауны гастропод, брахиопод, а также остатки неизвестной фауны хорошей сохранности близкой к кибрицитам (?) (обр. 712).

Выше в составе ходаяхской толщи наблюдается следующая последовательность пачек (снизу вверх, в м):

1. Мраморизованные известняки серые и темно-серые с остатками водорослевых окаменелостей: *Nubecularites cf. parvus* Z. Zhur., *Nubecularites cf. catagraphus* Reitl., *Razumovskya* (?) sp., *Kardiphyton* sp., *Gleocapsella* sp., хиолит

175

2. Переслаивание песчаников серых мелкозернистых известковистых олигомиктовых, алевролитов темно-серых и известняков брекчевидных

170

3. Известняки серые, темно-серые тонкоплитчатые песчанистые, чередующиеся с известняками серыми, светло-серыми массивными мраморизованными, прослоями (0,2—0,3 м) песчаников и алевролитов серых мелкозернистых известковистых. В известняках содержатся водорослевые остатки типа: *Sarmaella* sp., *Borlogella* sp.

1155

Верхи описываемой толщи в районе не известны.

Общая неполная мощность ходаяхской толщи в стратотипическом разрезе около 1500 м.

Второй, менее полный, разрез этой толщи устанавливается на водоразделе ручьев Хуш-Кылик — Хайрлык (правый борт верховьев р. Качик). Здесь контакт ходаяхской и пучукской свит плохо обнажен. Верхняя пачка пучукской свиты в этом разрезе представлена темно-серыми горизонтально-слоистыми мелко- и среднезернистыми песчаниками и серыми песчанистыми известняками. Преобладают песчаники (мощность песчаников 10—15 м, а известняков 2—5 м). Мощность пачки 240 м. Далее (выше по разрезу) следует плохо обнаженный интервал. Здесь наблюдаются лишь обломки серых слоистых известняков. Протяженность необнаженного интервала 170 м. Еще

выше совершенно согласно с коренными выходами предыдущей пачки пучукской свиты залегают темно-серые плитчатые известняки ходаяхской толщи, содержащие маломощные (2—10 м) прослои алевролитов и песчаников. В известняках наблюдаются водорослевые остатки: *Nubecularites catagraphus* Reite, *N. parvus* Z. Zhur, *Renalcis polymorphum* (Maslov). Мощность пачки 135 м.

Выше залегают серые горизонтальнослоистые известняки с массой водорослевых остатков (*Nubecularites catagraphus* Reitl.), содержащие прослои (0,1—0,3 м) темно-серых известковистых песчаников и алевролитов. Мощность пачки 650 м. Последняя пачка как и в стратотипическом разрезе слагает ядерную часть синклинали.

Общая неполная мощность ходаяхской толщи на этом участке не превышает 955 м.

Нижнекембрийский возраст ходаяхской толщи устанавливается ее стратиграфическим положением и, главным образом, на основании органических остатков, содержащихся повсеместно в составе толщи. По заключению З. А. Журавлевой, такие формы как *Nubecularites catagraphus* Reitl., *N. parvus* Z. Zhur., *Osaqia poletaevi* Krashnopr., водоросли *Renalcis polymorphum* (Maslov). характерны для средней части нижнего кембия. По мнению М. В. Степановой, в этой толще встречаются спикулы губок, *Anabarites* sp., водоросли: *Conatophyton* sp., *Razumovskya* sp., *Kordephyton* (?) sp., *Sosnovia* cf. *tilaris* M. St., строматолиты: *Sarmaella* sp., *Borlogella* sp., которые дают основание уверенно относить вмещающие отложения к нижнему кембрию.

По степени метаморфизма нижнекембрийские отложения относятся к фации зеленых сланцев. В их составе отмечается развитие продуктов регионального метаморфизма низких степеней: хлорита, эпидота и реже актинолита.

ЧЕТВЕРТИЧНАЯ СИСТЕМА

Четвертичные отложения, среди которых выделяются несколько разновозрастных генетических типов, незначительно распространены в районе.

Нижнечетвертичные отложения Q_1

Отложения, относимые к нижнечетвертичным, слагают пологий водораздел, правый склон и нижнюю часть левого склона правой составляющей руч. Сайлик, впадающего справа в р. Балыктыг-Хем. Аналогичные отложения развиты также на водоразделе рек Нарын — Качик — Ак-Хем. Они представлены аллювиальными конгломератами, горизонтально залегающими

на крутопадающих известняках, песчаниках и эфузивах нижнего кембия. Нижние части разреза сложены плотными конгломератами с линзами гравелитов и крупнозернистых песчаников. Галька размером 0,5—10 см весьма хорошо окатана и представлена известняками, песчаниками, мраморами, сланцами, кварцитами, плагиогранитами, эфузивами, пегматитами, гранитами, сиенитами, габбро. Выше по разрезу увеличивается содержание галек изверженных пород. Самые верхи разреза представлены слабо сцепленными галечниками. Мощность отложений в бассейне руч. Сайлик 100 м, на водоразделе рек Нарын — Качик — Ак-Хем 340 м. Относительно возраста описываемых отложений у исследователей имеются различные представления: Н. И. Парвицкая [8] считает их силурийскими, И. С. Гудилин — юрскими, А. И. Левенко [38] — четвертичными. Нам представляется, что данные отложения весьма сходны с нижнечетвертичными галечниками (по Н. И. Парвицкой), развитыми на перевале Чая-ова-арт в 10 км к востоку от пос. Самагалтай.

Среднечетвертичные отложения (Q_{II})

К этим отложениям отнесены аллювиальные пески, галечники, супеси и валунники рыхлого чехла высоких 50—70-метровых террас. По И. С. Гудилину галечники сложены мраморами, гранитами и сцеплены супесчаным материалом. С поверхности они перекрыты грубообломочным щебнистым материалом, занимают более низкое положение в рельфе, по сравнению с нижнечетвертичными образованиями, но более высокое относительно верхнечетвертичных.

Флювиогляциальные среднечетвертичные отложения вскрыты шурфами по левому борту р. Балыктыг-Хем против устья р. Жин-Хем, где они слагают II надпойменную террасу. Терраса, высотой 30 м, имеет следующий разрез (сверху вниз, в м):

1. Суглинок темно-серый	1,4
2. Супесь желтоватого цвета с обломками известняков и мраморов	0,1
3. Суглинок темно-серого цвета с большим количеством обломков мраморов	2,4
4. Суглинок светло-желтого цвета с обломками мраморов	3,6
5. Супесь желто-серого цвета с обломками мраморов	7,2
6. Песок светло-желтого цвета	0,1
7. Супесь темно-серого цвета с многочисленными обломками мраморов	6,4

Мощность рыхлых отложений 21,2 м.

Седьмой горизонт разреза охарактеризован пыльцевыми спектрами, в которых господствующее положение занимает пыльца травянистых растений и кустарников. Основной фон среди разнотравья создают ксерофиты семейства: *Compositae* — сложноцветные — 2,0—24,5% с родом *Artemisa* полынь — 5,0—40,8%, *Caryophyllaceae* гвоздичные — 2,0—24,5%, *Polygona-*

ceae — гречишные — 9,0—29,6%, *Valerianaceae* мауновые — 2,0—11,5%, *Gramineae* — злаки — 5,0—10,0%.

В значительном количестве встречена пыльца *Cyperaceae* — осоковые 3,0—16,5%. Реже встречается пыльца *Ephedra* — хвойных 1,2—2,0%, в виде единичных зерен — *Alismataceae* 2,4—3,0%, кувшинковые 4,5%, *Polemonium* — кипрейные 5,0%, споровые растения: *Bryales*, *Lycopodium* sp., *Polypodiaceae* пыльца древесных растений: *Pinus* *strobis*, *P. sibirica*, *P. silvestris*, *Pinus* sp., *Betula*.

Травянистые спектры с обилием ксерофитных форм обычно характеризуют холодные ледниковые эпохи. По заключению старшего палинолога спорово-пыльцевой лаборатории геологосъемочной экспедиции КГУ Байкаловой Г. Е., отложения, имеющие данные комплексы спор и пыльцы, относятся к эпохе оледенения среднего плейстоцена, что свидетельствует, по-видимому, о времени самаровско-тазовского оледенения Сибири.

Моренные отложения среднечетвертичного полупокровного оледенения установлены в Карабольской котловине, на водораздельных пространствах обоих бортов р. Тарбагатай, в приводораздельных склонах долины р. Бурен и в среднем течении р. Качик. Для этих морен характерны денудированные формы ледникового рельефа, слабое развитие валунных суглинков, преобладание валунов и неокатанных глыб большого диаметра. Среднечетвертичный возраст ледниковых отложений подтверждает спектр спор коррелятных флювиогляциальных отложений долины р. Балыктыг-Хем.

Верхнечетвертичные отложения (Q_{III})

К верхнечетвертичным отложениям отнесен аллювий террас, высотой 10—35 м, по долинам рек Нарын, Эрзин, Каргы. У прииска Нарын и ниже по течению наблюдаются 15—20—35-метровые террасы [6]. Рыхлые отложения 35-метровой террасы характеризуются следующим строением (сверху вниз, в м):

1. Растительный горизонт 0,4
2. Желтовато-бурый суглинок с обильным щебнистым материалом известняков, сланцев и линзами мелкого галечника 8,0
3. Галечник, сцепментированный суглинком, супесью и гравием. В нижних горизонтах присутствуют небольшие (до 0,2 м) валуны

Сходный разрез имеют отложения 15—20-метровых террас с той лишь разницей, что в верхних горизонтах имеются желтые суглинки без щебеник.

Отложения террас высотой 10—20 м по р. Эрзин (устье рек Пучук и Харган) сложены крупновалунным материалом, представленным крупнокристаллическими серыми и розовыми гранитами, мраморами, песчанистыми известняками, кварцем. Цементирующим материалом является супесь и гравий. По нашим данным, разрез II надпойменной террасы в правом борту

р. Каргы в 1 км выше устья р. Хайгас имеет следующий вид (сверху вниз, в м):

1. Почвенно-растительный слой	0,15
2. Плотный суглинок и супесь	0,5
3. Щебенистый суглинок и супесь	6,05
4. Желтоватая супесь с прослойками суглинков	4,0
5. Чередование щебенистой супеси и супеси с глинистым материалом	6,0
6. Супесь желтоватого цвета	0,4
7. Щебенка с супесью	5,0
8. Супесь желтоватого цвета	0,2
9. Галечник, сцепментированный супесью	3,0
10. Зеленокаменные нижнекембрийские породы пучукской свиты.	
Мощность разреза 25,3 м.	

Из данных отложений выделены спорово-пыльцевые комплексы. Характерной их особенностью является преобладание (от 59 до 98,8%) в их составе травянистых форм из числа ксерофитов — *Artemisia*, *Compositae*, *Caryophyllaceae*, *Ephedra*. Древесные растения представлены единичными пыльцевыми зернами ели, кедра, сосны, березы. В заключении старшего палинолога спорово-пыльцевой лаборатории геологосъемочной экспедиции КГУ Л. Д. Гамулевской говорится о возможном похолодании климата, его сухости, когда ксерофиты достигают своего наивысшего развития, а древесная растительность претерпевает наибольшую деградацию. Подобные климатические условия по ее мнению существовали в одну из холодных faz зыряновского оледенения. Данное заключение позволяет говорить о верхнечетвертичном возрасте аллювия среднего комплекса террас района.

Верхнечетвертичные и современные отложения (Q_{III-IV})

Среди данных отложений выделяются делювиально-пролювиальные супеси, суглинки, пески, щебни, гравий, распространенные на юге района по долинам рек Качик, Ара-Булак, Ак-Таврыг-Тыг и приуроченные к пологим склонам долин. В составе отложений преобладают сильно щебнистые супеси и суглинки. Нередко делювиально-пролювиальные отложения бывает трудно отчленить от аллювиальных. Мощность делювиального покрова достигает 10—12 м. Описываемые отложения по возрасту соответствуют времени формирования террас нижнего и среднего уровня [6].

Современные отложения (Q_{IV})

Современные отложения в районе представлены элювиальными, делювиальными, делювиально-пролювиальными и аллювиальными генетическими типами. Отложения первых трех типов характеризуются небольшой мощностью (от 0,5 до 3 м) и на карте не выделяются.

Алювиальные отложения русел, низких и высоких пойм высотой 2–5 м показаны лишь по долинам крупных рек. Состав аллювиальных отложений непостоянен и меняется от песчано-щебнистого до валунно-галечникового нередко с примесью делювиального материала. Низкие террасы являются более молодыми образованиями по отношению к ледниковым образованиям, что хорошо видно по долинам рек Чахыртой и Жин-Хем.

ИНТРУЗИВНЫЕ ОБРАЗОВАНИЯ

Интузии глубинных магматических пород наиболее широко развиты в северной и южной частях района, где они слагают около половины площади. В центральной части наблюдается их локальное развитие, но преимущественно щелочных пород. По характеру взаимоотношений отдельных петрографических разностей между собой и с вмещающими породами, а также приуроченности к различным этапам геологического развития, интузивные образования подразделяются на пять разновозрастных комплексов: позднепротерозойский? (эрзинский), ранне-среднекембрийский (актовракский), раннепалеозойский (таннуольский), раннедевонский (сютхольский), средне-верхнепалеозойский (сангиленский).

ПОЗДНЕПРОТЕРОЗОЙСКИЕ (?) ИНТРУЗИИ

Эрзинский комплекс ($\gamma\text{PR}_3?$ e)

К верхнепротерозойским интузиям отнесены мелкие (вненасштабные) послойные тела гранитов (γ), пегматоидных пород кислого состава и слюдоносных пегматитов (ρ), выделенные в бассейнах реки Балыктыг-Хем (устье р. Ак-Хем) и руч. Ара-Булак. Выделение данных интузий в других частях района, где развиты высокометаморфизованные образования среднего протерозоя, крайне затруднительно из-за наложенного контактового воздействия более молодых интузий таннуольского и сютхольского комплексов. Интузивные тела эрзинского комплекса залегают среди гнейсов и кристаллических сланцев чартыской свиты на юго-западе района и в составе нерасчлененных отложений сангиленской серии в бассейне р. Балыктыг-Хем. Форма тел интузивных образований линзообразная, длина их обычно 30–50 м, редко достигает 200–800 м при мощности, как правило, 1–5 м, а в единичных случаях 20–30 м.

Основными породообразующими минералами гранитов и пегматоидных пород кислого состава являются ортоклаз (20–40%), микроклин часто в микрографическом срастании с кварцем (0–8%), альбит-олигоклаз и кислый олигоклаз (5–30%), биотит (до 2%), кварц (25–30%), единичные чешуйки и зер-

на мусковита, хлорита, гематита, граната, реже кордиерита. Текстура пород массивная и гнейсовидная, структура гранитовая и пегматоидная.

Пегматиты сложны преимущественно кварцем и кислым олигоклазом. В центральных частях жил заметно увеличивается содержание микроклина, доходящее до 20–30% объема породы. Резко изменчиво содержание (0–30%) мусковита. По данным минералогического и спектрального анализов Н. В. Рогова слюдоносные пегматиты содержат апатит — 106 г/т, турмалин — 322,3 г/т, гранат — 110,6 г/т и знаки циркона; десятитысячные доли процента никеля, ванадия, хрома, меди, висмута, германия, галлия; тысячные — циркония и берилля; сотые — марганца, титана, стронция. Вмещающие породы зоны контакта, как правило, рассланцованны и интенсивно инъектированы кварц-полевошпатовым материалом. В самих жилах на контакте со сланцами наблюдается скопление мелких зерен бурого граната.

С верхнепротерозойскими пегматитами на территории района связано Ара-Булакское месторождение мусковита. Породы эрзинского комплекса, как отмечалось выше, приурочены к полям развития гнейсо-мраморных толщ чартыской свиты и нерасчлененных отложений сангиленской серии верхнего протерозоя, не выходят за их пределы и совместно с данными толщами несогласно перекрываются вендскими известняками нарынской свиты. Кроме того, линзы гранитов и пегматитов данного комплекса прорваны дайками диабазовых порфиритов и жилами граносиенитов, связанных с раннедевонским (сютхольским) комплексом. Исходя из этих фактов, возраст комплекса принимается довендским, условно верхнепротерозойским.

Определения абсолютного возраста мусковита и калишпата из пегматитов, развитых в бассейне руч. Ара-Булак, соответствуют 440 и 201 млн. лет (табл. 6). Вполне возможно, что часть пегматитов здесь генетически связана с более молодыми интузиями (сютхольского и сангиленского комплексов), однако отличить их между собой из-за недостаточной изученности невозможно.

РАННЕ-СРЕДНЕКЕМБРИЙСКИЕ ИНТРУЗИИ

Актовракский комплекс ($\sigma\text{E}_{1-2}a$)

Ультраосновные породы актовракского интузивного комплекса весьма ограниченно распространены. Они известны только в бассейне р. Чахыртой вблизи устья р. Улан-Эрге в поле развития нижнекембрийских эфузивно-вулканогенных образований пучукской свиты. Впервые эти породы выделены и описаны А. В. Ильиным в 1955 г. [8]. Здесь отмечено несколько мелких тел серпентинитов, имеющих линзовидную форму. Их

параметры: длина 0,3—0,8 км, ширина — первые десятки метров. Характерна приуроченность тел гипербазитов к Нарынско-Жинхемской зоне разломов. В составе массивов преобладают хризотил-антigorитовые серпентиниты, в той или иной степени оталькованные и карбонатизированные. Нередко присутствуют антигоритовые рассланцованные серпентиниты, для которых характерно резкое преобладание антигорита над хризотилом и значительное количество (15—20%) крупных кристаллов магнезиально-железистого карбоната. Рассланцованные серпентиниты нередко сильно оталькованы и связаны постепенными переходами с талько-карбонатными породами. С ультраосновными породами отмечены [8] мелкие проявления талькового камня.

Актовракский комплекс большинством исследователей считается нижне-среднекембрийским.

РАННЕПАЛЕОЗОЙСКИЕ ИНТРУЗИИ

Таннуульский комплекс ($\gamma\delta PZ_1t$)

К данному комплексу относятся гранитоиды, слагающие Верхне-Эрзинский, Тарбагатайский и Каргинский массивы, размещающиеся в зоне сочленения Каа-Хемской и Сангиленской структурно-фациальных зон. Тарбагатайский массив, прорванный многочисленными интрузиями сютхольского комплекса, занимает площадь около 450 км², располагаясь в Каахемской структурно-фациальной зоне среди эфузивно-вулканогенных отложений нижнего кембия. Каргинский массив, по-видимому, является сателлитом первого, но располагается в Сангиленской структурно-фациальной зоне в поле распространения вендских карбонатных пород нарынской свиты. Верхне-Эрзинский массив разорван Агардаг-Эрзинским разломом на две части, одна из которых пространственно размещается на территории Каа-Хемской, а другая — в пределах Сангиленской структурно-фациальных зон. Массив прорывает как карбонатные породы нарынской свиты, так и вулканогенно-терригенные образования пучукской свиты.

Приуроченность массивов к различным структурно-фациальным зонам накладывает отпечаток на вещественный состав тел, их внутреннее строение, форму и характер контактовых воздействий. Наиболее изучены первые два массива, описание которых приводится ниже.

Тарбагатайский массив имеет пластообразную форму, является комформным и синтектоническим. Падение поверхности контакта юго-восточное, крутое. В гранитоидах изобилуют реликты вмещающих пород, которые ориентированы согласно с направлением структур вмещающих пород. Контакты обычно нечеткие, расплывчатые, усложнены частым чередованием

вмещающих сланцев и мелких согласных тел гранитоидов. Гранитоиды связаны со сланцами постепенными переходами через зоны мигматитов и роговиков, ширина которых 1—3 км. Центральная часть Тарбагатайского массива сложена серыми лейкократовыми плахиогранитами и гранодиоритами, подошва и кровля — гнейсо-гранитами, зарнистость которых равномерно уменьшается в направлении контакта.

Каргинский массив в плане имеет сложную конфигурацию, является дискообразным и дискордантым. Краевые и апикальные части массива слагают диориты и кварцевые диориты ассилиационно-контаминационного генезиса. Мощность зон контаминации составляет первые десятки метров. Центральная часть тела сложена гранодиорит-плахиогранитами. Экзоконтактовое воздействие выражается в образовании графитистых мраморов по известнякам и незначительном скарнировании. Ширина зон мраморизации 1—1,5 км, скарнирования — 0,5—1,5 м.

Петрографический состав наиболее распространенных разностей — плахиогранитов, гранодиоритов довольно близок. Половые шпаты представлены олигоклазом и олигоклаз-андезином (45—65%) и незначительным количеством (5—7%) вторичного микроклина. Кроме этого, породу слагают кварц (25—40%) и биотит. В диоритах и кварцевых диоритах плахиоклаз более основной (андезин-лабрадор), а темноцветные минералы представлены биотитом, обыкновенной роговой обманкой и диопсидом. Аксессорные минералы пород таннуульского комплекса и вмещающих их кристаллических сланцев идентичны и представлены гематитом, пиритом, арсенопиритом, монацитом, сфеоном, цирконом, апатитом, лейкоксеном, малахитом и гранатом. Микроструктуры пород гипидоморфозернистые, гранобластовые, катакластические.

Химические составы гранитоидов приведены в табл. 3.

Элементами-примесями гранитоидов являются свинец, олово, галлий, никель, молибден, медь, цинк, кобальт, цирконий, содержание которых не превышает кларковых для гранитов. Породы таннуульского комплекса немагнитны, реже слабомагнитны, плотность их 2,51—2,74 г/см³, радиоактивность 6—8 мКР/ч.

Экзоконтактовые породы, образованные за счет терригенно-эфузивных образований нижнего кембия, представлены кварц-пироксен-тремолитовыми, олигоклаз-биотит-кварцевыми, кварц-тремолитовыми и кварц-полевошпат-амфиболовыми кристаллическими сланцами, как правило, с гранатом и нередко с силлиманитом и роговиками. Известняки в зоне контактового воздействия превращены в крупно- и гигантозернистые мраморы с распыленным и крупночешуйчатым графитом, окремнены и местами амфибилизированы. Скарны известны в районе г. Кугайнаг (истоки р. Баян-Гол — правый приток р. Нарын),

Таблица 3
РЕЗУЛЬТАТЫ ХИМИЧЕСКИХ АНАЛИЗОВ ПОРОД ТАННУЛЬСКОГО КОМПЛЕКСА, ВЕС. %

Окислы	В. И. Ноненникова, 1963 г.		В. Г. Хрюкин, 1965 г.		Н. В. Рогов, 1967 г.		Г. П. Александров, 1970—1971 г.	
	Диорит	Кварцевый дискирт	Гранодиорит	Плагиогранит	Плагиогранит	Калишпатизированные плагиограниты		
К а р г и н с к и й м а с с и в								
Т а р б а г а т а й с к и й м а с с и в								
SiO ₂	49,13	62,43	67,29	64,70	73,04	72,38	71,28	
TiO ₂	1,08	0,70	0,44	0,43	0,29	0,27	0,36	
Al ₂ O ₃	19,09	14,64	14,85	15,71	13,20	14,12	15,77	
Fe ₂ O ₃	6,46	2,60	2,52	1,44	1,18	1,41	1,81	
FeO	6,55	3,26	1,19	2,14	1,15	1,60	1,59	
MnO	0,20	0,09	0,08	0,08	0,03	0,05	0,04	
MgO	3,80	3,24	2,28	1,91	0,84	1,05	1,07	
CaO	10,67	4,90	3,31	3,23	1,52	3,51	2,15	
Na ₂ O	0,74	3,10	3,13	4,19	3,71	3,65	5,13	
K ₂ O	0,90	3,22	3,77	4,00	3,52	1,33	2,90	
H ₂ O	—	—	—	—	—	0,09	—	
P ₂ O ₅	—	—	0,23	0,36	0,39	0,12	0,06	
						0,18	—	
						0,09	0,08	
							0,07	

где в зоне контакта с диоритами развиты гранатовые и гранат-эпидотовые скарны. По минеральным ассоциациям вмещающие породы зоны контакта претерпели метаморфизм в условиях эпидот-амфиболитовой фации.

Четкой связи каких-либо проявлений полезных ископаемых, связанных с нижнепалеозойским комплексом, в пределах района не наблюдается.

По многочисленным данным, приводимым в XXIX т. «Геологии СССР», возраст комплекса считается кембрийским. В легенде Западно-Саянской серии его возраст принят раннепалеозойским. Каких-либо дополнительных данных в пользу той или иной точки зрения нами не получено. Поэтому принимается раннепалеозойский возраст комплекса согласно утвержденной легенде.

РАННЕДЕВОНСКИЕ ИНТРУЗИИ

Сютхольский комплекс (γD_{1s})

К сютхольскому интрузивному комплексу отнесены массивы бурых, розово-серых и серых порфировидных, нередко пегматоидных гранитов, наблюдающихся в бассейнах рек Эрзин, Тарбагатай, Цзайга-Гол и в районе гор Учуглык и Тэмэн-Чулу. А. В. Ильин и В. М. Моралев [8] Тэмэнчуулукский и Учуглыцкий массивы относили ранее к среднепалеозойскому интрузивному комплексу, а Хорумнугский, Цзайгальский, Баталский и др. — к таннуольскому комплексу. Близость петрохимического состава (табл. 4), общность металлогенеза, одинаковый характер контактовых изменений, а также приближенность данных абсолютного возраста (259—425 млн. лет) дают основание объединить указанные интрузивные массивы в единый сютхольский интрузивный комплекс.

Массивы сютхольских гранитов как правило располагаются в зоне сопряжения крупнейших пликативных структур (рис. 1), прорывая вендинские и нижнекембрийские отложения. На севере района сютхольские интрузии размещаются внутри и по периферии plutонов таннуольского комплекса. В плане форма тел овальная, площадь их развития колеблется от 6—10 до 200 км². Интрузии являются постскладчатыми, дискордантными с автономной внутренней структурой. По форме тел в разрезе различаются штокообразные и пластиообразные массивы. Первые, типичным представителем которых является Учуглыцкий, Баталский массивы, а также интрузии в бассейне Тарбагатая, сложены преимущественно порфировидными гранитами. Пластиообразные тела (Цзайгальский, Хорумнугский и Улуг-Танзекский массивы) представлены альбитизированными порфировидными и пегматоидными гранитоидами.

Наиболее типичными представителями описываемого комплекса являются Учуглыкский и Цзайгальский массивы.

Учуглыкский массив в районе представлен частично, основная его часть располагается на территории МНР. На описываемой территории центральная часть массива сложена порфировидными биотитовыми гранитами и граносиенитами, состоящими из альбита и альбит-олигоклаза (20—40%), ортоклаза и микроклина (20—35%), кварца (25—35%), биотита и мусковита (до 10%). Порфировидные вкрапленники размером от 0,1 до 8 см² представлены микроклин-перитом, олигоклазом, кварцем. Эндоконтактовые и апикальные части массива представлены серыми мелкозернистыми биотитовыми гранитами, выполненными преимущественно олигоклазом и кварцем с небольшим количеством микроклина и мелкочешуйчатого биотита. В строении массива в виде пятен, полос и линз вдоль мелких зон дробления и около многочисленных ксенолитов роговиков наблюдаются пегматоидные и аплитовидные породы.

Цзайгальский массив залегает среди карбонатных образований нарынской свиты, представляет собой лополит, вытянутый вдоль северо-западных разломов Нарынско-Жинхемской зоны, и выполняет ядерные части двух синклинальных складок. Длина тела 14 км, ширина до 3 км. Эрозией массив вскрыт на 1 км. Центральная часть лополита сложена мелко- и среднезернистыми пегматоидными биотитовыми, нередко лейкократовыми гранитами. В периферических частях отмечаются пегматиты и граниты в соотношении 1:1—1:3. Границы между разновидностями интрузивных пород нечеткие, расплывчатые. Юго-восточная часть массива сложена гнейсовидными гранитами. Структура гранитов гипдиоморфнозернистая, нередко порфиробластовая бластогранитовая, текстура массивная и гнейсовидная. Порфиробласти размером 0,3—1 см в поперечнике сложены кварцем и микроклин-перитом. Основная масса пород состоит из альбитизированного олигоклаза (25—35%), микроклина (25—50%), кварца (25—30%). В незначительном количестве встречается биотит, рибекит и вторичный мусковит. Среди пегматитов отмечаются микроклиновые и альбит-олигоклазовые разности. Характерными для пегматитов являются флюорит и гранат. Количество последнего в породе достигает 5—7%.

Для гранитоидов сютхольского комплекса характерны следующие акцессорные минералы: ильменит, пирит, халькопирит, арсенопирит, сфен, рутил, анатаз, апатит, лейкоксен, циркон, малахит, торит. Для грейзенизованных (мусковитизированных) разностей, кроме перечисленных, характерен молибденит, для альбитизированных (цзайгальского типа) — танталониобаты, ураноторианит, галенит; для массивов юга района и бассейна р. Сольбельдер — сподумен.

Химические характеристики гранитоидов приведены в табл. 4. Постоянно встречающимися элементами — примесями являются свинец, титан, марганец, галлий, хром, медь, цинк, цирконий, никель в содержаниях ниже кларковых или близким к ним. В южных массивах и массивах типа Цзайгальского, кроме этого, присутствуют в кларковых содержаниях бериллий, молибден, ниобий и в содержаниях значительно выше кларковых литий, иттрий, иттерий, церий, лантан.

Раннедевонские гранитоиды немагнитны, редко слабомагнитны, имеют гамма-активность 11—14 мкР/ч для гранитов Учуглыкского типа и 24—33 мкР/ч для гранитов цзайгальского типа. Плотность их составляет 2,5—2,7 г/см³.

В контакте с интрузиями сютхольского комплекса известняки превращены в крупнокристаллические окремненные гранобластовые мраморы с крупночешуйчатым графитом. Терригенные породы превращены в кварц-пироксен-тремолитовые, tremолит-биотит-андезитовые, кварц-олигоклаз-биотит-амфиболовые и кварц-кордиерит-силлimanитовые роговики. Структура их гранобластовая, лепидо- и нематогранобластовая, текстура полосчатая, реже — очковая. Судя по минеральным ассоциациям, вмещающие породы претерпели метаморфизм в условиях эпидот-амфиболовой (близкие к контакту) и зеленосланцевой фаций. Непосредственно у контактов с интрузией наблюдается маломощная зона мигматизации (10—100 м). Гранитоиды таннуольского комплекса на контакте с сютхольскими гранитоидами подвержены интенсивной микроклинизации и серицитизации. Ширина зон контактowego воздействия 0,5—2 км.

С гранитами юга района и бассейна р. Сольбельдер пространственно связаны сподуменовые пегматиты. О их комагматичности говорит наличие в гранитах сподумента и лития в количествах, превышающих кларковые в 100 раз и более. С альбитизированными разностями гранитоидов связаны месторождения и проявления редких металлов и редких земель иттриевой группы.

Наличие широкой зоны роговиков, порфировидных и пегматоидных структур, близкое к единице отношение окиси железа к окиси свидетельствует о том, что граниты образовались в условиях мезоабиссальной фации глубинности. Особенность становления сютхольских интрузий заключается в широком развитии послегранитных метасоматических процессов — альбитизации и связанной с ней редкометальной минерализации, микроклинизации и серицитизации.

Возраст сютхольского комплекса устанавливается на основании того, что интрузии прорывают нижнедевонские эфузивы у пос. Владимировка (северо-западнее района) и перекрываются верхнедевонскими отложениями. Галька гранитов отмечалась в отложениях саглинской свиты эйфеля в междуречье Алаша и Эдыгея и в верховьях рек Ач-Суг и Куже [5]. Опре-

Таблица 4
РЕЗУЛЬТАТЫ ХИМИЧЕСКИХ АНАЛИЗОВ ПОРОД СЮТХОЛЬСКОГО КОМПЛЕКСА, ВЕС. %

Компо-ненты	A. В. Ильин, 1962		В. Г. Хрюкин, 1965 г.		Г. П. Александров, 1970—1971 гг.		Гранит р. Бурен	Гранит г. Учуглык	Жильные образования г. Учуглык		Гранит р. Цзайга-Гол	руч. Хоромнуг			
	Гранит	Гранит порфир. диорит	Лейко- гранит	Грано- диорит	Лейко- гранит	Тоналит			Амазонито- выи пегматит	Гранит	Гранит	Псир- гранит	Лейко- гранит	Гранит	
SiO ₂	72,72	70,81	64,03	75,76	66,81	64,36	73,28	74,12	68,92	72,02	72,54	76,30	74,28	75,98	61,28
TiO ₂	0,17	0,30	0,32	0,13	0,50	1,06	—	0,15	0,42	0,35	0,30	0,08	0,16	0,03	0,55
Al ₂ O ₃	13,15	14,58	19,39	11,33	15,80	17,60	14,35	13,80	14,75	14,50	14,22	13,82	14,46	14,63	14,86
Fe ₂ O ₃	2,74	0,44	1,15	1,90	1,42	1,19	0,65	0,80	0,56	1,36	0,97	0,08	0,33	0,44	3,11
FeO	2,01	2,40	2,56	0,67	3,62	4,60	0,45	0,79	2,51	1,36	1,22	0,86	1,09	0,90	5,29
MnO	—	0,05	0,05	—	0,07	0,04	0,17	0,04	0,01	0,04	0,04	—	0,01	—	0,10
MgO	0,23	0,46	0,44	—	2,42	0,40	—	0,11	0,55	—	—	—	0,10	0,31	2,62
CaO	0,96	1,29	3,55	0,75	2,71	1,29	1,23	1,05	1,37	1,40	1,40	0,57	0,43	1,28	5,05
Na ₂ O	4,82	3,50	5,05	4,41	2,95	8,50	4,37	3,00	4,20	4,08	4,20	4,14	3,80	4,30	3,08
K ₂ O	3,78	4,94	3,07	4,82	2,23	4,34	4,92	5,00	4,60	3,80	3,56	2,20	3,80	1,20	1,92
H ₂ O	0,19	—	—	0,11	0,15	—	—	0,26	0,13	0,19	0,15	0,06	0,22	0,09	0,23
P ₂ O ₅	0,02	—	0,31	0,09	—	—	—	0,09	0,14	0,10	0,09	0,02	0,07	0,02	0,12

деления абсолютного возраста гранитов калий-аргоновым методом (табл. 6) дали разброс цифр от 425 до 259 млн. лет. Учитывая приведенные данные, возраст сютхольского комплекса принимается раннедевонским.

СРЕДНЕ-ПОЗДНЕПАЛЕОЗОЙСКИЕ ИНТРУЗИИ

Сангиленский комплекс ($\epsilon_{\text{E}} \text{PZ}_{2-3s}$)

Интузивные породы сангиленского комплекса, пользуясь ограниченным распространением, представлены широкой гаммой пород от нефелиновых сиенитов, сиенитов и гранитов, до сиенито-диоритов, габброидов и перидотитов. Интузии тяготеют к тектоническим зонам, в которых сочетаются глубинные и долгоживущие разломы сбросового и взбросо-надвигового типа. Наблюдается некоторая закономерность в пространственном размещении отдельных членов серии пород. Так, на территории Каргинского поднятия широко развиты нефелиновые и щелочные сиениты, граносиениты и граниты. Монцониты, сиениты и отчасти нефелиновые сиениты размещаются в зоне сочленения упомянутого поднятия с Нарынско-Чахыртским синклиниорием.

Тела монцонитов, габброидов и перидотитов, условно отнесенных нами вслед за Р. М. Яшиной [14] к сангиленскому комплексу, обычно приурочиваются к дизъюнктивным структурам, развитым в левом борту р. Балыктыг-Хем. Наблюдения показали, что породы комплекса слагают, как правило, стратодифференцированные массивы, в строении которых принимают участие нефелиновые сиениты и сиениты (Чикская и Баянкольская интузии), сиениты, кварцевые сиениты и граниты (массивы междууречья Балыктыг-Хем — Каргы), реже сиенито-диориты, монцониты, габбро, перидотиты (среднее течение р. Тоскул).

Взаимоотношения между петрографическими разностями, по нашим данным, постепенные, рвущих контактов между ними не наблюдалось. Примером этому могут служить массив верховьев р. Ызырой, где устанавливаются переходы от оливиновых габбро через монцониты и монцодиориты к сиенитам и нефелиновым сиенитам, и массив правого борта р. Каргы с переходами от манцогаббро через нефелиновые и щелочные сиениты к граносиенитам и щелочным гранитам.

Баянхольская интузия расположена по обоим бортам р. Баян-Хол (левый приток р. Каргы) в среднем ее течении. Залегает в зоне контакта известняков нарынской свиты и плагиогранитов таннуульского комплекса. Форма массива в плане овальная, вытянутая в северо-западном направлении. Площадь его 12 км². Северная часть интузивного массива сложена трахитоидными геденбергитовыми нефелиновыми сиенитами и тесно связанными с ними пегматоидными лепидомелановыми

нефелиновыми сиенитами и юветами. Трахитоидные нефелиновые сиениты, слагающие ядро северной части массива, имеют отчетливое полосчатое строение, проявляющееся в ритмичном чередовании прослоев мелано- и мезократовых нефелиновых сиенитов и линзообразных прослоев уртитового и ювит-уртитового состава. По падению полосчатости можно предположить, что массив представляет собой пластообразное тело, наклоненное на северо-восток с пологим висячим ($40-60^\circ$) и крутым лежачим ($60-80^\circ$) контактами. Южная правобережная часть массива характеризуется однообразным составом и сложена лейкократовыми полевошпатсодержащими уртитами, являющимися перспективными породами для глиноземного сырья.

Сходны с Баянхольской интрузией мелкие массивы между речья Балыктыг-Хем — Кары и Тоскульские щелочные тела. Последние имеют воронкообразное строение [15]. В краевых его частях отмечаются монцониты и монцогаббро.

Чикская интрузия расположена в верховьях руч. Карапаш — левого притока р. Жин-Хем, размещается среди пород нарынской свиты. Интрузия имеет овальную форму несколько вытянутую в субмеридиональном направлении. Контактовая поверхность ее ровная, крутая, за исключением более пологой западной части, где отмечен ряд тел — сателлитов. От восточного контакта к центральной части наблюдается следующее чередование пород: 1) амфибол-авгитовые крупно- и среднекристаллические сиенито-диориты, 2) желтовато-серые среднекристаллические эгирин-авгитовые сиениты, 3) сиениты с постепенно увеличивающимся к центру массива содержанием ортоклаза и микроклина, 4) ортоклаз-олигоклазовые, ортоклаз-микроклин-олигоклазовые крупнокристаллические амфиболсодержащие сиениты. Последние прорваны двумя дайками кварцодержащих сиенит-порфиров.

Юго-восточный контакт интрузии сложен олигоклаз-альбит-ортоклазовыми крупнокристаллическими сиенитами с биотитом и амфиболом и серыми крупнокристаллическими эгирин-авгитовыми сиенитами, переходящими в эссеекситы. Эссеекситы состоят из альбит-олигоклаза, ортоклаза, таблитчатого нефелина, моноклинного пироксена, амфибала и биотита.

В экзоконтакте развиты ожелезненные и дробленные роговики. Аналогичный по строению являются интрузивные массивы бассейнов рек Ак-Адыр и Улан-Эрге.

Массив р. Хунчол расположен на водоразделе верховьев Хунчол и Хайгас и залегает среди мраморизованных известняков нарынской свиты. Форма массива овальная, вытянутая в субмеридиональном направлении. Площадь его 3 км^2 . Массив в периферийской части сложен среднезернистыми биотит-амфиболовыми нефелиновыми сиенитами, к центру интрузии нефелиновые сиениты постепенно через щелочные разности сменяются кварцевыми сиенитами, граносиенитами и гранитами. Структу-

ры пород равномернозернистые и порфировидные гипидиоморфнозернистые. Породы состоят из переменных количеств олигоклаза, ортоклаза и микроклина, кварца, биотита и субщелочного амфибала.

Тоскульские интрузии представлены двумя массивами — северным и южным, размещающимися в бассейне р. Тоскул. В современном эрозионном срезе они имеют овальную форму, вытянутую в субширотном направлении.

По данным аэромагнитной съемки северный массив прослеживается под образованиями нарынской и пучукской свит на запад до оз. Даху-Нур. По этим же данным и наземным геолого-геофизическим наблюдениям этот массив представляет собой стратифицированное пластообразное тело. Падение тела северное под углом $60-70^\circ$, примерно согласное с падением плоскости сместителя надвига. Протяженность массива 12 км при ширине около 2,5 км. Он приурочен к контакту верхнепротерозойских и нижнекембрийских отложений и расположен среди карбонатных образований нарынской свиты.

В центральной части данной интрузии с юга на север наблюдается следующая последовательность в размещении пород: 1) темно-серые среднезернистые пироксеновые монцониты, 2) плагиоклазсодержащие темно-серые крупнозернистые пироксениты, состоящие из моноклинного и ромбического амфиболизированного пироксена, небольшого количества андезина, оливина и округлых выделений хромшпинелида, 3) среднезернистые массивные и трахитоидные габбро, состоящие из пироксена, андезин-лабрадора и отдельных зерен оливина, 4) среднезернистые меланократовые пироксеновые габбро и габбромонцониты без оливина с небольшим количеством калишпата; внизу серии отмечаются пироксениты, 5) лейко- и меланократовые пироксен-амфиболовые монцониты, 6) лейко- и меланократовые пироксен-биотитовые диориты (сиенито-диориты), 7) серые крупнозернистые биотитовые кварцевые диориты и гранодиориты.

Для последней серии пород характерны пироксены ряда диопсида и эгиринодержащего авгита, амфиболы ряда гастингсита, арфведсонита, роговой обманки и полевые шпаты — андезин, андезин-лабрадор, ортоклаз, микроклин. В ультраосновных и основных различиях, как правило, имеются хромшпинелиды.

Южный массив, расположенный в приуставной части р. Тоскул, сложен решетчато-листоватыми бластопорфировыми антигорит-хризотиловыми серпентинитами по габбро- и габбропироксенитам.

По левому борту р. Чахыртой, ниже устья р. Улан-Эрге, встречено тело оливин-авгитовых перидотитов. Несколько западнее его закартирован вытянутый в субширотном направлении массив амфиболовых сиенит-диоритов.

В зоне сочленения Качикского синклиниория и Таргинского антиклиниория располагаются линзовидные тела, сложенные от периферии к центру пироксенитами, габбро-пироксенитами, габбро-диоритами, сиенито-диоритами и кварцевыми диоритами.

Монцониты совместно с сиенито-диоритами и сиенитами слагают небольшие интрузивные тела водоразделов рек Жин-Хем — Тарги и Ак-Адыр — Ак-Хем. Для пород данных интрузий характерен олигоклаз-андезин, ортоклаз, микроклин, авгит, диопсид, амфиболы, сфен, апатит.

Для всех разновидностей пород сангиленского комплекса характерено постоянное присутствие бария, свинца, олова, титана, галлия, хрома, никеля, молибдена, ванадия, меди, кобальта, стронция, циркония. Реже встречаются фосфор, свинец, вольфрам, цинк, бериллий и очень редко бор (в основных разностях), ниобий, литий, иттрий, иттербий, лантан, церий (в нефелиновых сиенитах и сиенитах). По данным минералогического анализа общими аксессорными минералами для всех пород комплекса являются магнетит (до 7 кг/т в габбро), сфен, рутил, циркон, апатит (до 2,5 кг/т в сиенитах), гранат, корунд, пирит, малахит. Только для нефелиновых сиенитов и сиенитов характерны часто встречающиеся мартит, ильменит (до 1,3 кг/т), флюорит, а также бадделеит, торит, торианит, сфалерит, киноварь, молибденит.

Радиоактивность габброидов комплекса составляет 8—9 мкР/ч, магнитность от 0 до $3600 \cdot 10^{-6}$ СГСМ, сиениты немагнитны, радиоактивность их 12—14 мкР/ч. Плотность всех пород колеблется в пределах 2,7—2,9 г/см³, повышаясь в отдельных разновидностях габбро до 3—3,1 г/см³.

Контактовое воздействие интрузий сангиленского комплекса выражается в следующем. Известковистые породы в зоне экзоконтакта, ширина которой 300—600 м, превращены в крупно- и гигантозернистые мраморы с графитом. Кроме этого, на контакте мраморов с монцонитами левого борта р. Тарги и бассейна р. Цоригин-Гол локально развиты гранатовые и диопсид-гранатовые скарны. Мощность зоны составляет первые десятки метров. На контакте сиенитов с интрузиями таннуульского комплекса в последних отмечаются новообразования микроклина (нередко амазонита), обогащение биотитом и амфиболом актинолитового ряда.

Терригенные и эфузивные породы подвержены неповсеместно развитому процессу ороговикования. В большинстве же случаев терригенные породы фенитизированы и превращены в так называемые «амфиболиты». Макроскопически это почти черные породы, состоящие из амфиболя (50% и более) и полевого шпата. В эндоконтактовой зоне щелочных интрузий локально развиваются мельтайгиты, ийолит-уриты, малиньиты.

Нефелиновые сиениты (уриты и полевошпатовые уртиты) являются сырьем на алюминий. С жильными пегматитами связано Хап-Сугское проявление корунда и многочисленные редкоземельно-редкометальные проявления. Со скарновыми образованиями известно свинцовое проявление по левому борту р. Тарги.

Интрузии сангиленского комплекса принадлежат габбро-монцонит-сиенитовой формации, о чем говорит их весьма пестрый состав. Типичны габбро с ортоклазом, монцонитовые породы, иногда эсекситы, щелочные и нефелиновые сиениты, широко развиты дайки спессартитов. Наряду с этими породами присутствуют сиениты, граносиениты, граниты. Вместе с тем, наличие пород ряда ийолит-урит-мельтайгит, сонахождение в составе комплекса ультраосновных — щелочных пород, развитие процессов альбитизации, калишпатизации, нефелинизации говорят о принадлежности комплекса к формации центральных интрузий щелочных и ультраосновных пород.

Химический состав сангиленского комплекса приведен в табл. 5.

Интрузивы являются послескладочными, они ясно связаны с разломами. Как правило, эти массивы имеют малые размеры, образуют пластовые межформационные (Тоскульский южный габброидный, Баянкольский щелочной массивы) и кальдерного типа тела (Тоскульский северный щелочной массив). Способом образования интрузивных тел могли служить как инъекции по трещинам пород высокой проницаемости в надвиговых зонах, так и магматическое замещение сквозьмагматическими растворами терригенных пород на границе с карбонатными образованиями (Пичехольский массив). Последние играют роль своеобразных экранов.

Геологический возраст щелочных пород определяется весьма условно и базируется на следующих данных. Нефелиновые сиениты и габброиды прорывают толщу верхнепротерозойских и нижнекембрийских пород, секут в бассейне р. Каргы и восточнее оз. Даху-Нур плагиограниты таннуульского комплекса. По данным Р. М. Яшиной, нефелин-сиенитовый Коргередабинский массив прорывает лейкократовые граниты сютхольского комплекса [14].

Анализы абсолютного возраста дали разброс цифр от 565 до 188 млн. лет (табл. 6). Цифры 565 и 495 млн. лет характеризуют эндоконтактовые породы. Остальные цифры, в том числе приведенные по данным Р. М. Яшиной и В. А. Кононовой, показывают более молодой возраст. Факт прорывания сютхольских гранитов, а также данные абсолютного возраста, большинство из которых (37 и 53) определяют 395—236 млн. лет, позволяют говорить о средне-позднепалеозойском возрасте интрузий сангиленского комплекса.

Таблица 5
РЕЗУЛЬТАТЫ ХИМИЧЕСКИХ АНАЛИЗОВ ПОРОД САНГИЛЕНСКОГО КОМПЛЕКСА, ВЕС. %
(Г. П. Александров и др., 1969—1971 гг.)

Окислы	р. Каргы		р. Тоскул			р. Жин-Хем		р. Тарги		р. Тоскул		р. Жин-Хем		р. Тоскул		р. Бархор		р. Баян-Хол		р. Хунчол		р. Жин-Хем		
	Пироксенит	Габбро	Пироксенит	Габбро	Эссексит	Монцонит				Сиенит						Нефелиновый сиенит		Уртит		Грано-сиенит		Сиенит-порфир		
SiO ₂	43,14	49,70	38,68	48,98	51,77	54,98	59,72	58,48	56,52	53,40	48,03	69,06	54,68											
TiO ₂	1,10	1,00	1,64	1,10	1,27	0,70	0,46	0,72	0,18	0,52	0,36	0,36	1,76											
Al ₂ O ₃	13,00	18,99	13,19	18,72	18,43	17,68	20,19	17,85	22,28	20,96	27,99	16,72	16,54											
Fe ₂ O ₃	4,47	4,63	7,47	3,52	3,10	2,15	1,19	1,60	0,96	0,72	0,72	0,70	4,19											
FeO	5,03	4,12	7,76	5,60	5,92	5,62	3,38	4,24	2,73	4,67	1,08	2,04	4,06											
MnO	0,12	0,12	0,16	0,13	0,14	0,18	0,06	0,10	0,06	0,10	0,03	0,05	0,10											
MgO	11,18	5,44	11,34	4,43	4,08	1,31	0,80	1,71	0,20	0,51	—	0,00	2,82											
CaO	18,09	9,67	14,31	8,57	6,03	6,65	1,54	3,52	0,98	2,13	1,56	2,43	4,55											
Na ₂ O	1,00	3,80	1,48	3,80	4,35	4,70	7,00	5,80	8,80	7,60	13,20	3,60	4,70											
K ₂ O	1,10	0,50	1,02	2,80	2,70	3,96	3,90	4,26	5,80	5,60	5,80	3,64	3,40											
P ₂ O ₅	0,21	0,31	0,08	1,01	0,37	0,18	0,32	0,26	0,09	0,17	0,07	0,10	1,12											
H ₂ O	0,18	0,12	0,08	0,15	0,12	0,16	0,22	0,10	0,15	0,16	0,12	0,04	0,36											

Таблица 6
РЕЗУЛЬТАТЫ АНАЛИЗОВ АБСОЛЮТНОГО ВОЗРАСТА ИНТРУЗИВНЫХ ПОРОД

Номер на карте	Место взятия породы	Название анализированной породы или минерала	Абсолютный возраст, млн. лет	Кол-во K ⁴⁰ , %	Ar ⁴⁰ 10 ⁻⁹ , г/т	Ar ⁴⁰ /K ⁴⁰	Автор	Комплекс
4	Левый борт р. Сольбельдер Там же	Гнейсовидный гранит Жила микроклинового гранита	430 355	6,86 7,52	— —	— —	В. Г. Хрюкин В. Г. Хрюкин	Тайнуольский Сюхольский
8	р. Чахыртой руч. Хоромнугт	Пегматит	380±15 328	— —	— —	— —	Н. В. Рогов То же	То же
9	Там же	Гнейсо-гранит	425	—	—	—	“ ”	“ ”
10		Биотит из пегматита	—	—	—	—	“ ”	“ ”
11	Там же	Калишпат из пегматита	259	—	—	—	“ ”	“ ”
14	Руч. Ара-Булак	Мусковит из пегматита	440	—	—	—	В. С. Кудрин	“ ”
		Калишпат из пегматита	201	—	—	—		
1	Массив Улуг-Танзек	Альбитизированный гранит	170±7	8,56±1,5	103±1,5	78	В. С. Кудрин	Сюхольский
2	р. Баян-Хол (Каргинский)	Нефелин из сиенита	410±1,6	4,48±0,03	139,0±2,0	—	В. А. Кононова	Сангиленский
3	Там же	Юврит	256±10 129	6,92±0,04 3,57	129,0±2,0 32,0	— 0,0074	Р. М. Яшина Г. П. Александров и др.	То же
5	р. Тоскул	Нефелиновый сиенит	—	—	—	—	“ ”	“ ”
6	Там же	Нефелиновый сиенит	359	2,57	68,4	0,022	“ ”	“ ”
7	Там же	Габбро	188	1,2	15,6	0,0106	“ ”	“ ”
12	Чикский массив	Сиенит	273	4,32	85,6	0,0163	“ ”	“ ”
13	Там же	Дайка сиенита	120	4,5	37,2	0,00677	“ ”	“ ”
15	Левый борт р. Качик	Пироксеновое габбро (эндо-контакт)	495	0,95	36,4	0,0314	“ ”	“ ”
16	Там же	Амфиболовое габбро (эндо-контакт)	565	0,66	39,5	0,0367	“ ”	“ ”
17	р. Цоригин-Гол	Диорит	329	1,13	27,9	0,0202	“ ”	“ ”
18	Там же	Амфиболовый гранодиорит	236	1,95	33,4	0,014	“ ”	“ ”

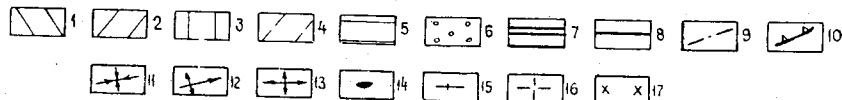
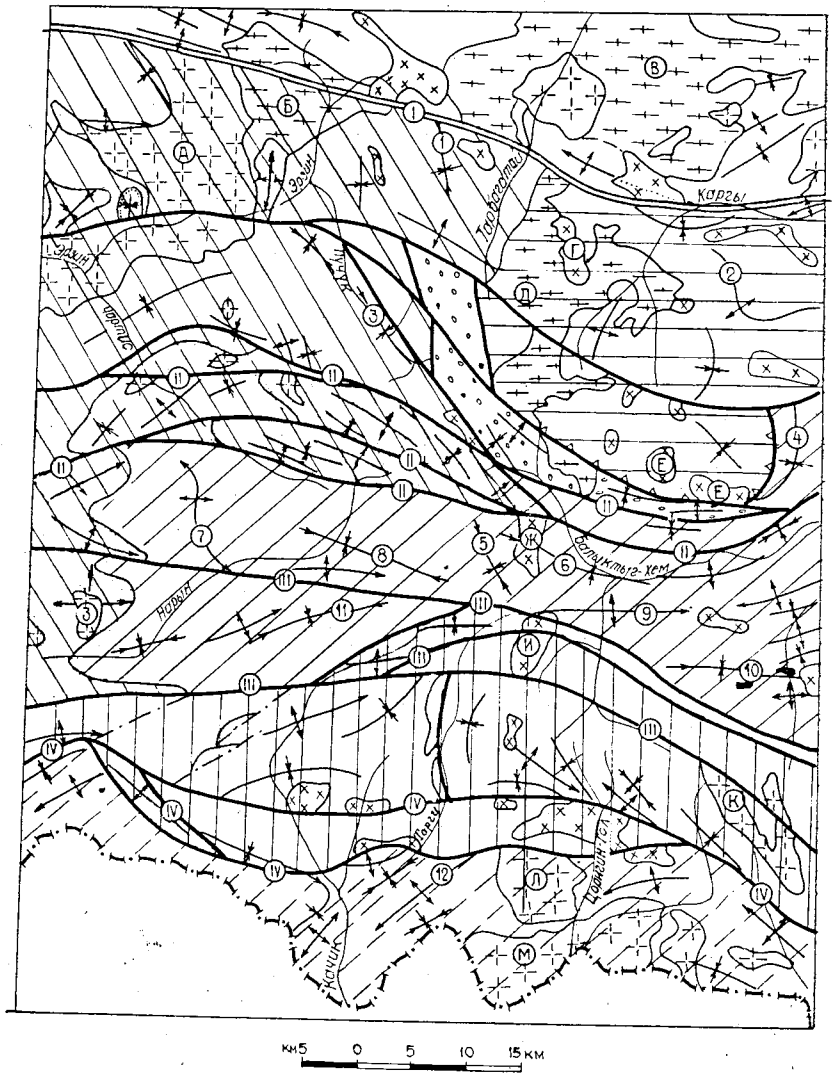


Рис. 1. Тектоническая схема.

1 — Эрзинский антиклиналь; 2 — Нарынско-Чахыртойский синклиналь; 3 — Тарбельдарская синклиналь; 4 — Качинский синклиналь; 5 — Каргинское поднятие; 6 — Соль-разломы регионального значения; 7 — долгоживущие разломы глубинного заложения; 8 — (зубы направлены в сторону падения поверхности надвига); 9 — более мелкие локальные разломы; 10 — надвиги; 11 — оси синклинальных структур; 12 — оси антиклинальных структур; 13 — куполообразные структуры; 14 — интрузии актовракского комплекса; 15 — интрузии таннуульского комплекса; 16 — интрузии сютхольского комплекса; 17 — интрузии сангиленского комплекса. Плакативные структуры (цифры на схеме в кружках): 1 — Харлыкская синклиналь, 2 — Хайгасская антиклиналь, 3 — Пучукская синклиналь, 4 — Тоскульская синклиналь, 5 — Акхемская синклиналь, 6 — Акадырская синклиналь, 7 — Баянгольская антиклиналь, 8 — Кухемская синклиналь, 9 — Жинхемская антиклиналь, 10 — Чахыртойская синклиналь, 11 — Барсакская синклиналь, 12 — Сутлукская антиклиналь. Дизъюнктивные структуры: I — Агардаг-Эрзинская зона разломов, II — Балыктыгемская зона разломов, III — Нарынско-Жинхемская зона разломов, IV — Качинско-Цзайгальская зона разломов. Интрузии: А — Баталский массив, Б — Верхне-Эрзинский массив, В — Тарбагатайский массив, Г — Баянхольская интрузия, Д — Гаргинский массив, Е — Тоскульские интрузии (две), Ж — Акадырская интрузия, З — Хорумнугская интрузия, И — Чикская интрузия, К — Цзайгальский массив, Л — Тэмэнчулукский массив, М — Учуглынский массив.

Дайки

Среди даек, развитых в районе, можно выделить три группы разновидностей. В первую, наиболее многочисленную, включены гранитоиды (γ), аplitы и пегматиты (ρ). Вторая группа объединяет щелочные породы (сиенит-аплиты, сиенит-порфиры, щелочные гранит-пегматиты с амазонитом). Последняя группа представляет дайковые тела лампрофиров и габброидных пород (χ).

Дайки обычно по мощности не превышают 1—2 м, а по протяжению прослеживаются на протяжении от 10 до 30—40 м. Исключение представляют дайки лампрофиров, длина которых достигает 1,5—1,8 км, при мощности 0,4—2 м. Лампрофирсы развиты в основном на водоразделе рек Жин-Хем — Чахыртой, где они образуют целые жильные поля. Основная масса лампрофиров представлена пироксен-амфиболовыми и амфиболовыми спессартитами. Реже среди лампрофировых пород содержатся тешениты и тенгуайты.

Разбрековать дайки по интрузивным комплексам не представляется возможности, хотя нередко наблюдается приуроченность некоторых даек к определенным массивам того или иного комплекса. Например, к гранитоидным массивам таннуульского комплекса приурочиваются дайки диорит-порфиритов, мелкозернистых гранитоидов, гранитов и аплитов, а к интрузиям сютхольского комплекса тяготеют дайки лейкократовых гранитов, гранодиоритов, тоналитов и редкометальных пегматитов.

ТЕКТОНИКА

Для всей территории Сангилена характерно неоднородное глыбово-складчатое строение. Рассматриваемая территория располагается на стыке двух структурно-фацальных зон, характеризующихся специфическими особенностями геотектонического развития и сопрягающихся по одной из ветвей Агардаг-Эрзинской зоны долгоживущих разломов глубинного заложения (рис. 1). В районе очень четко выделяются два структурных яруса (рис. 2), отражающих определенную этапность раз-

туры (цифры на схеме в кружках): 1 — Харлыкская синклиналь, 2 — Хайгасская антиклиналь, 3 — Пучукская синклиналь, 4 — Тоскульская синклиналь, 5 — Акхемская синклиналь, 6 — Акадырская синклиналь, 7 — Баянгольская антиклиналь, 8 — Кухемская синклиналь, 9 — Жинхемская антиклиналь, 10 — Чахыртойская синклиналь, 11 — Барсакская синклиналь, 12 — Сутлукская антиклиналь. Дизъюнктивные структуры: I — Агардаг-Эрзинская зона разломов, II — Балыктыгемская зона разломов, III — Нарынско-Жинхемская зона разломов, IV — Качинско-Цзайгальская зона разломов. Интрузии: А — Баталский массив, Б — Верхне-Эрзинский массив, В — Тарбагатайский массив, Г — Баянхольская интрузия, Д — Гаргинский массив, Е — Тоскульские интрузии (две), Ж — Акадырская интрузия, З — Хорумнугская интрузия, И — Чикская интрузия, К — Цзайгальский массив, Л — Тэмэнчулукский массив, М — Учуглынский массив.

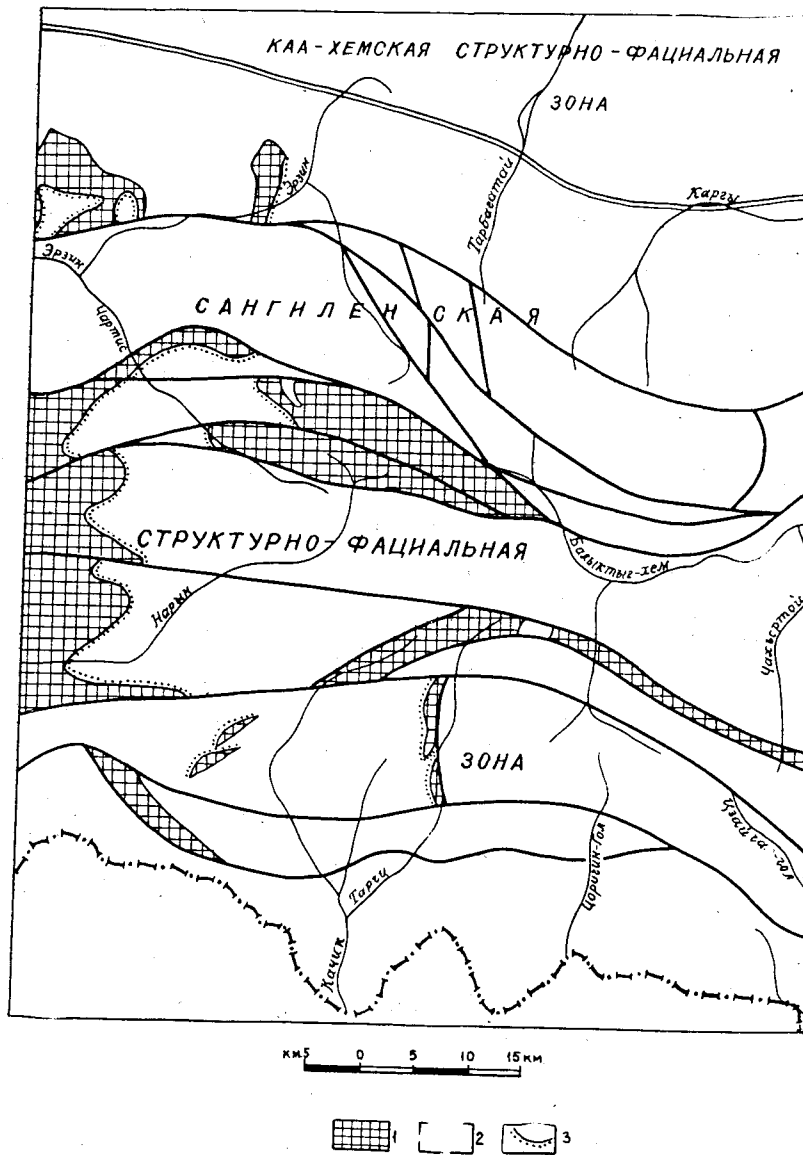


Рис. 2. Тектоническая схема структурно-фациальных зон
 1 — нижний структурный ярус — байкалиды (балыктыгхемская и чарыкская свиты), 2 — верхний структурный ярус — каледониды (нарынская, пучукская свиты и ходалыхская толща), 3 — граница между структурными ярусами.

вития региона. Структурные ярусы, в нашем понимании, характеризуются различием структурных планов, разной интенсивностью дислокаций и степенью метаморфизма отложений. Ярусы отделены один от другого угловым несогласием.

Складчатые структуры

Каа-Хемская структурно-фациальная зона в районе представляет собой незначительную часть синклиниория, выполненного отложениями второго структурного яруса (преимущественно вулканогенно-эфузивными и в меньшей мере карбонатными породами). Вдоль Агардаг-Эрзинской зоны разломов в пределах Каа-Хемской зоны наблюдается чередование небольших сильно сжатых, сопряженных между собой синклинальных и антиклинальных структур, осложненных локальными дислокационными нарушениями. Ориентировка осей этих структур подчинена направлению простирации Агардаг-Эрзинской системы разломов. У восточной границы структурно-фациальной зоны пликативные структуры имеют северо-восточную ориентировку, а у западной — запад-северо-западную. Шарниры осей складок испытывают погружение преимущественно в северо-западном направлении. Ширина складок колеблется от 0,3—0,8 до 3—5 км. Углы падения крыльев складчатых структур довольно крутые 60—70°, а вблизи разломов они увеличиваются до вертикальных.

В пределах Сангиленской структурно-фациальной зоны выделяются шесть крупных структур: Эрзинский и Таргинский антиклиниории, Нарынско-Чахыртойский и Качикский синклиниории, Карагинское поднятие и Сольбельдерская грабен-синклиналь.

Эрзинский антиклиниорий представляет довольно крупную структуру северо-восточного простирания, имеющую значительное продолжение на запад. В пределах района наблюдается лишь северо-восточная его часть. В строении Эрзинского антиклиниория принимают участие отложения двух структурных ярусов. Ориентировка основных складчатых структур нижнего структурного яруса определяется преимущественно двумя направлениями: субмеридиональным и субширотным. Нередко в плане оси складок имеют изогнутую форму, за счет плавного перехода одного направления в другое.

По форме чаще наблюдаются линейные складки, наряду с ними отмечаются куполообразные структуры и брахискладки. Линейные складки обычно очень узкие с размахом крыльев 200—300 м, реже, когда их ширина увеличивается, до 700—1000 м. Замки складок острые, углы падения на крыльях крутые (50—60°), вблизи дислокационных нарушений — почти вертикальные. Шарниры линейных структур, как правило, испытывают погружения в восточном направлении с незначительным

отклонением на север или юг. Куполовидные структуры и брахискладки на крыльях чаще всего осложнены линейными складками более высоких порядков. Для этих структур характерно пологое ($20-30^\circ$), до горизонтального, залегание в сводовых частях, которое на крыльях сменяется крутым ($50-60^\circ$) и вертикальным. Среди пород нижнего структурного яруса широко развиты мелкие пластообразные интрузивные тела эрзинского комплекса.

В ориентировке структур верхнего яруса наблюдается некоторая унаследованность простираций складок нижнего структурного яруса. Примером складок верхнего яруса могут служить Харлыкская и Пучукская синклинали, сложенные нижнекембрийскими породами.

Харлыкская синклиналь имеет в общих чертах изометричную форму, слегка вытянутую в меридиональном направлении и несколько сплюснутую в южном ее окончании. Западное и восточное крылья Харлыкской синклинали осложнены более мелкой складчатостью и разломами. Размах крыльев складки около 7 км, длина 14 км.

Пучукская синклиналь — типично линейная структура, выполненная терригенными породами пучукской свиты. Ось складки имеет северо-восточное простижение, ее ширина около 1 км, длина до 10 км. Крылья синклинальной структуры осложнены разломами, простижение которых совпадает с направлением оси складки. На крыльях устанавливаются крутые углы падения, а вблизи разломов наблюдается запрокинутость пород в юго-западном направлении.

Нарынско-Чахыртойский синклиниорий имеет широтную ориентировку и размещается в центральной части района в бассейнах рек Нарын и правых притоков р. Балыктыг-Хем — рек Ак-Хем, Жин-Хем и Чахыртой. Описываемый синклиниорий сложен исключительно отложениями второго структурного яруса. Среди пликативных структур в синклиниории господствуют два направления простираций осевых линий: субширотное и субмеридиональное. Наибольшим распространением среди них пользуются асимметричные удлиненные и широкие линейные складки, реже — структуры коробчатой формы, а на крыльях их развивается более мелкая складчатость.

Примером асимметричных удлиненных складок, имеющих в плане овально-угловатые очертания, являются Акадырская, Кухемская, Борсакская и Тоскульская синклинали. Эти структуры в ядерных частях сложены карбонатными породами ходяляхской, толщи, а их крылья — терригенными отложениями пучукской свиты. Асимметричность структур обусловлена тем, что в одном крыле синклиналей наблюдаются пологие ($20-40^\circ$) углы падения, а в противоположном — крутые ($50-70^\circ$). Кроме того, асимметричность подчеркивается срезанием крыльев синклинальных структур разломами. В приконтактовой зоне на

крыльях Тоскульской синклинали наблюдаются запрокинутые к югу залегания. Барсакская синклиналь в результате осложнения разломами расчленена на две ветви, одна из которых имеет северо-западное, а другая — северо-восточное простирания.

Акадырская синклиналь поперек рассечена интрузивным массивом сангиленского комплекса. Длина асимметричных складок колеблется от 8 до 20 км, ширина размаха их крыльев изменяется от 2 до 4 км.

Чахыртойская синклиналь и Жинхемская антиклиналь являются представителями широких линейных структур, осложненных на крыльях мелкой складчатостью и разломами. Чахыртойская синклиналь сложена преимущественно эфузивно-вулканогенными образованиями и в меньшей мере терригенными. Лишь в этой структуре установлены интрузии актовракского комплекса. Размах крыльев Чахыртойской синклинали местами достигает 4 км, а ее длина в пределах района увеличивается почти в четыре раза. В синклинале наблюдается погружение шарнира в восточном направлении к руслу р. Чахыртой, где в составе пучукской свиты преобладающее значение приобретают вулканогенно-эфузивные образования.

Жинхемская антиклиналь в ядерной части выполнена карбонатными породами нарынской свиты, а ее крылья сложены терригенными образованиями пучукской свиты. Жинхемская антиклиналь — это типично линейная структура, шарнир которой плавно погружается в восточном направлении. Ширина антиклинали около 1 км, длина более 8 км.

Акхемская синклиналь и Баянгольская антиклиналь — представители складок с коробчатыми формами. Баянгольская антиклиналь сложена породами нарынской свиты. Ось антиклинали имеет изогнутую форму, шарнир которой слабо ундулируя испытывает плавное погружение на север-северо-восток и юг-юго-восток. Для этой структуры характерно сравнительно пологое ($20-30^\circ$), а местами до горизонтального, залегание в сводовой части, которое на крыльях сменяется крутым ($50-70^\circ$) или вертикальным. Ширина структуры 2—5 км, длина около 8 км. Акхемская синклиналь с севера и юга ограничена разломами, в результате чего она приобретает веерообразную форму. Центральная ее часть имеет продольное, западная — северо-западное, а восточная — северо-восточное простирания осевых линий. Шарниры веерных складок испытывают погружения к центру структуры.

Таргинский антиклиниорий размещается в бассейнах верховьев рек Ак-Таврыг-Тыг, Качик, Жин-Хем, Цоригин-Гол и Цзайга-Гол. В сложении Таргинского антиклиниория так же, как и Эрзинского, принимают участие образования двух структурных ярусов.

Отложения нижнего структурного яруса слагают обычно тектонические блоки, размещающиеся по периферии антиклино-рия и в его центре. В последнем случае образования нижнего яруса слагают ядерные части продольных антиклиналей. Верхний структурный ярус выполнен преимущественно карбонатными породами нарынской свиты и в меньшей мере терригенными отложениями пучукской свиты. В ориентировке структур верхнего яруса наблюдается некоторая закономерность: в западной части антиклино-рия преобладают северо-восточные простира-ния, в центре — меридиональные, а в восточной — северо-западные.

В восточной части антиклино-рия наблюдается частое чере-дование узких антиклиналей и синклиналей, сложенных поро-дами пучукской свиты. Складки осложнены локальными разло-мами, размах их крыльев колеблется от первых сотен метров до 1 км, а длина осевых линий не превышает 8 км. Простира-ния осевых линий складок в Таргинском антиклино-рии подчи-нены основным направлениям дизъюнктивных структур, огра-ничающих антиклино-рий. Наибольшим распространением пользуются линейные складки, наряду с которыми так же, как и в Эрзинском антиклино-рии и Нарынско-Чахыртойском син-клино-рии, встречаются коробчатые структуры и брахискладки. Вблизи продольных структур, а также вдоль южной границы антиклино-рия наблюдаются проявления средне-позднепалеозой-ских интрузий сангиленского комплекса.

Качикский синклино-рий в пределах района пред-ставляет часть крупнейшей структуры, продолжающейся на юг за пределы территории СССР. Синклино-рий размещается в бассейнах рек Ак-Таврыг-Тыг, Качик, Цоригин-Гол и Цайга-Гол. Он сложен в основном нижнекембрийскими терригенными породами пучукской свиты и в меньшей мере карбонатными отложениями нарынской свиты и ходалыхской толщи. Синклино-рий на севере по одной из ветвей Качикско-Цайгальской зоны разломов сочленяется с Таргинским антиклино-рием. Здесь породы Таргинского антиклино-рия круто надвинуты на отло-жения Качикского синклино-рия. При этом на контакте в обеих структурах наблюдается запрокидывание пластов к югу. В зоне сочленения отмечается интенсивное проявление интрузивной дея-тельности раннедевонского (сютхольского) и средне-поздне-палеозойского (сангиленского) комплексов.

Среди структур синклино-рия господствуют два направления ориентировки их осевых линий: на западе — северо-восточное, а на востоке — северо-западное. Наряду с этим, в центральной части наблюдаются структуры, сочетающие в себе оба направ-ления с плавным переходом одного в другое. В бассейне Ак-Таврыг-Тыг, в месте сочленения с Таргинским антиклино-рием, наблюдалось, что структуры Качикского синклино-рия с северо-восточным простира-нием утыкаются в структуры нижнего яруса

Таргинского антиклино-рия, оси которых ориентированы в севе-ро-западном направлении.

В Качикском синклино-рии преобладают линейные формы складок, но встречаются также куполовидные и удлиненные асимметричные структуры. Последние две формы складок раз-виты в северо-восточной части синклино-рия между Теменчулук-ским и Учуглыкским интрузивными массивами. Здесь куполо-видные структуры сложены карбонатными породами нарын-ской свиты, а на крыльях наблюдаются терригенные породы пучукской свиты.

Структуры в значительной мере осложнены мелкой склад-чатостью и разломами. В сводовой части пласти залегают относительно более полого ($40-50^\circ$), чем на крыльях ($70-80^\circ$). Вблизи разломов на крыльях наблюдаются вертикальные и запрокинутые к югу залегания. Примером линейных структур может служить Сутлугская антиклиналь, шарнир которой испы-тывает плавное погружение на юго-запад. Ядро антиклинали сложено песчано-конгломератовыми, а крылья — алвролито-песчаниковыми отложениями пучукской свиты. Антиклиналь на крыльях осложнена мелкой складчатостью и локальными разло-мами. В сводовой части структуры устанавливаются более или менее пологие залегания пластов ($30-40^\circ$), на крыльях они становятся крутыми ($60-70^\circ$), а иногда и вертикальными. Ши-рина антиклинали около 4 км, длина 13—15 км.

Каргинское поднятие представляет собой изометрич-ную куполовидную структуру, размещающуюся в бассейне Кары. Каргинское поднятие является приподнятой структурой по отношению Каа-Хемской структурно-фациальной зоны, Соль-бельдерской грабен-синклинали и Нарынско-Чахыртойского синклино-рия. По одной из ветвей Балыктыхемской зоны раз-ломов Каргинское поднятие слегка надвинуто на структуры Нарынско-Чахыртойского синклино-рия и Сольбельдерской гра-бен-синклинали.

Каргинское поднятие почти целиком сложено карбонатными породами нарынской свиты и лишь по периферии, главным образом с севера и юга, его обрамляют узкой каймой терриген-ные отложения пучукской свиты. Поднятие в виде цепочки опоясано интрузиями сангиленского комплекса. В зоне смыка-ния его с Сольбельдерской грабен-синклиналью и Эрзинским антиклино-рием размещается Каргинский гранитный массив таннуульского комплекса.

Среди пликативных структур, развитых в Каргинском под-нятии, преобладают коробчатые и куполовидные формы скла-док, в меньшей мере распространены линейные структуры. Наи-более представительным типом складок в поднятии является Хайгасская антиклиналь. В плане ось этой структуры имеет изогнутую форму, в результате сочетания в себе элементов по-перечного и продольного простира-ний. Антиклиналь сложена

целиком мраморизованными известняками нарынской свиты. Ось ее, плавно undулируя, испытывает погружения в северо-западном и юго-восточном направлениях. Ширина размаха крыльев антиклинали 2—2,5 км, ее длина свыше 12 км. В сводовой части устанавливаются относительно пологие (30 — 40°), а на крыльях более крутые (50 — 70°) углы падения.

Сольбельдерская грабен-синклиналь размещается в центре северной части района в бассейне р. Сольбельдер и по левому борту р. Балыктыг-Хем. Она выполнена исключительно терригенными отложениями пучукской свиты с незначительной примесью вулканогенных пород. По левому борту р. Балыктыг-Хем в ее строении наряду с нижнекембрийскими образованиями принимают участие и карбонатные породы нарынской свиты. Сольбельдерская грабен-синклиналь имеет продольное простиранье в бассейне р. Сольбельдер, которое на юг постепенно сменяется юго-восточным. Ось грабен-синклинали испытывает значительную undуляцию, в результате чего в приустьевой части р. Сольбельдер она осложнена куполовидной антиклинальной структурой, сложенной мраморизованными известняками нарынской свиты. Внутри грабен-синклинали развита мелкая складчатость, ориентировка которых подчинена простирациям ограничивающих ее разломов. Ширина грабен-синклинали в бассейне р. Сольбельдер около 4,5 км, а к юго-востоку размах ее крыльев постепенно уменьшается до нуля из-за перекрытия пород грабен-синклинали образованиями Каргинского поднятия. Протяженность грабен-синклинали около 45 км.

Дизъюнктивные структуры

Среди дизъюнктивных структур, широко развитых в районе, выделяются долгоживущие разломы глубинного заложения, региональные и локальные разломы. Дизъюнктивные структуры так же, как и пликативные, характеризуются двумя направлениями их простираций: меридиональным и широтным. Наиболее древние из них — разломы с продольной ориентировкой, которые в районе секутся дизъюнктивными структурами широтного простирания.

Крупнейшей дизъюнктивной структурой является Агардаг-Эрзинская зона разломов глубинного заложения, приводящая в соприкосновение Каа-Хемскую и Сангиленскую структурно-фациональные зоны. В пределах описываемой площади к Агардаг-Эрзинской зоне разломов принадлежит серия дизъюнктивных структур, протягивающихся в субширотном направлении в районе междуречья Бурен — Эрзин, в верховьях рек Эрзин, Тарбагатай и в бассейне р. Каргы. Поверхности сбросывателей разломов Агардаг-Эрзинской зоны имеют почти вертикальные падения с наклоном в северном направлении. Разломы этой

зоны обусловливают ориентировку пликативных структур для всего района. Разрывные структуры сопровождаются дроблением, окварцеванием, мраморизацией, графитизацией, рассланцеванием, развитием в зоне различных по составу даек, пегматоидных тел и кварц-карбонатных жил. Мощность зон гидротермальной проработки и дробления колеблется от нескольких десятков до первых сотен метров.

Определенных данных об амплитуде вертикальных перемещений блоков нет, но учитывая то, что по обоим крыльям дизъюнктивных структур обычно обнажаются отложения одной или смежных по возрасту свит, можно судить о небольших ее величинах — в пределах от нескольких сотен метров до первых километров. Агардаг-Эрзинская зона не только контролирует осадконакопление и магматическую деятельность двух структурно-фациональных зон, но является и рудоконтролирующей структурой для редкоземельно-редкometальных месторождений танзекского типа.

Субмеридиональные (продольные) дизъюнктивные структуры заложились, по-видимому, одновременно с разломами Агардаг-Эрзинской зоны, но в отличие от последних они не испытывали столь интенсивного обновления. В результате долгоживущей деятельности широтные разломы несколько затушевали картину проявления ранних разломов меридионального плана. В связи с этим на современной поверхности разломы продольного плана очень трудно картируются. Меридиональные разломы установлены в бассейне р. Сольбельдер, в правом борту р. Балыктыг-Хем и по правому борту р. Тарги. Древние структуры меридионального плана как бы трассируются параллельным размещением вдоль разломов интрузивных массивов Сангиленского комплекса (рис. 1). Продольная структура хорошо видна и на космическом аэрофотоснимке, отдешифрованном Г. Н. Лукашевым (ЛАЭМ МГ СССР).

К дизъюнктивным структурам регионального значения отнесены: Балыктыгхемская, Нарынско-Жинхемская и Качикско-Цзайгальская зоны разломов. Все эти структуры имеют теснейшую связь с Агардаг-Эрзинской зоной разломов глубинного заложения, с которой они на западе (за пределами района в месте соприкосновения Восточно-Таннуольского и Сангиленского блоков) сочленяются. Указанные зоны разломов представляют собой обособленные серии параллельных дизъюнктивных структур, повторяющих в общих чертах простирация основной ветви Агардаг-Эрзинского глубинного разлома (рис. 1). Дизъюнктивные структуры регионального значения так же, как и Агардаг-Эрзинская зона разломов, характеризуются крутыми падениями (от 60 до 80°) плоскостей сместителей с наклоном их к северу.

Большинство дизъюнктивных структур имеет взбросо-сбросовую сущность. По некоторым из них происходит сопряжение

с надвиговыми структурами. Так, в левом борту р. Балыктыг-Хем (в бассейне р. Тоскул) надвиг, по которому структуры Каргинского поднятия надвинуты на образования Нарынско-Чахыртойского синклиниория, сопрягается по одной из ветвей с Балыктыгхемской зоной разломов. В зоне надвига карбонатные отложения нарынской свиты превращены в мраморы.

Сходного типа картина наблюдается на юге района в бассейне р. Качик, где на нижнекембрийские отложения пучукской свиты местами надвинуты карбонатные породы нарынской свиты либо гнейсы чартысской свиты. В последнем случае тектонический блок Качикско-Цзайгальской зоны разломов, сложенный гнейсами чартысской свиты, непосредственно контактирует с нижнекембрийскими образованиями пучукской свиты. Нарынские отложения в этом блоке сохранились лишь в изолированных участках в виде небольших «нашелепок». Амплитуда взбросовых перемещений здесь соизмерима с мощностью нарынской свиты (около 2 км).

Дизъюнктивные структуры регионального значения обычно сопровождаются неширокой (до 100 м) полосой интенсивного дробления, окварцевания и рассланцевания. Эти разломы так же, как и основная Агардаг-Эрзинская дизъюнктивная структура, являются рудоконтролирующими на редкоземельно-редкометальное оруденение, а также на размещение цветных, полиметаллическихrudопроявлений и месторождений оптического кальцита.

История тектонического развития

Саяно-Алтайская горная страна, куда входит и Сангилен, в целом представляет собой докембрийско-палеозойскую складчатую область, геосинклинальное развитие которой завершилось в раннем палеозое, в дальнейшем она участвует в истории геологического развития в виде эпипалеозойской «молодой» платформы. Первый рубеж тектонического развития Саяно-Алтайской области — граница между протерозоем и веном. На Сангилене отложения венда (нарынская свита) и нижнего кембра (пучукская свита и ходаяхская толща) дислоцированы совместно. На докембрийских (балыктыгхемская и чартысская свиты) отложениях они залегают несогласно, но в значительной мере наследуют план предшествующей складчатости.

Заложение главных пликативных и дизъюнктивных структур на Сангилене произошло, по-видимому, в период проявления байкальской складчатости. К началу формирования венских отложений начинают обособливаться Каа-Хемская и Сангиленская структурно-фациальные зоны в виде глыб с разнонаправленными движениями. На этот же период, вероятнее всего, приходится внедрение интрузий эрзинского комплекса и метаморфизм балыктыгхемской и чартысской свит.

В начале венского времени в условиях прогрессирующих происходящих движений происходило накопление морских карбонатных отложений нарынской свиты. В изолированных участках (бассейн р. Чахыртой) шло накопление отложений засоленных мелководных лагун (доломитов, доломитизированных известняков)..

В конце венда в бассейне р. Чахыртой отмечаются первые проявления эфузивной деятельности. В результате тектонического обновления в нижнекембрийское время по образовавшимся трещинам начинают активно изливаться лавы в пределах Каа-Хемского блока. На территории Сангиленского блока формируются в основном терригенные породы. Лишь на отдельных участках Сангиленской зоны, вдоль обновленных разломов, появляются вулканы, которые и обусловили формирование здесь вулканогенных отложений. На некоторых участках поднятий в пределах Сангиленской структурно-фациальной зоны (бассейны рек Качик, Пучук, Ак-Хем) в раннекембрийское время формируются конгломераты и рифогенные известняки. С раннекембрийским периодом тектонического развития следует связывать внедрение интрузий гипербезитов актовракского комплекса.

Внедрение интрузий таннуольского комплекса на Сангилене, по-видимому, совпадает с последующей фазой складчатости (салайской), проявившейся в конце среднего кембра. В этот период завершается окончательная консолидация Сангилена и переход его в стадию сводово-глыбового развития.

С процессами постконсолидационной тектоно-магматической активизации связано формирование раннедевонского (сютхольского) и средне-позднепалеозойского (сангиленского) интрузивных комплексов. В мезозойское и кайнозойское время имели место дальнейшие глыбовые движения, наиболее поздние из которых нашли отражение в структурах современного рельефа.

ГЕОМОРФОЛОГИЯ

На территории Тувы нагорье Сангилен выделяется как крупная морфоструктура поднятия. Описываемый район занимает центральную часть нагорья. Здесь отчетливо выделяются две группы рельефа: тектоно-скульптурный и тектоно-аккумулятивный.

Первая группа объединяет рельеф дочетвертичных выровненных поверхностей и поверхностей ледниковой экзарации, массивы комплексной денудации, денудационно-эрзионные и эрозионно-денудационные горные области, лито-скульптурные горы.

Ко второй группе отнесены аллювиальные, ледниковые и аллювиально-пролювиально-делювиальные равнины.

Тектоно-скulptурный рельеф

Высокогорные выровненные поверхности расположены на абсолютных высотах 2200—2400 м, 2500—2800 м, выше 2800 м и имеют относительные превышения от 500 до 1000 м. Они оконтуриваются с юго-запада лito-скульптурные альпийские массивы, образуя как бы ступенчатый пьедестал вдоль их подножий. Современный облик выровненных поверхностей определяется их положением в высокогорном климатическом поясе, характером подстилающих пород и интенсивностью древнеледниковой деятельности. Для выровненных поверхностей на изверженных породах, мраморах и мраморизованных известняках характерны сглаженные очертания караваеподобных возвышеностей. Отдельные скалы и останцы имеют форму бастионов и башен с матрацевидной отдельностью. Водосборные воронки верховьев ключей пологи, заболочены, постепенно переходят в поверхности водоразделов.

На карбонатных породах развит карст. Поверхности выравнивания на терригенных породах характеризуются более резкими микроформами рельефа — переход от водосборных воронок к водоразделам резкий, обломочный материал в осыпях имеет меньшие размеры, останцы на водоразделах практически не встречаются. В связи с проявленными процессами физического выветривания и солифлюкции на поверхностях выравнивания широко развиты нагорные террасы, каменные многоугольники, болота. В северо-восточной части района основное влияние на формирование современного облика поверхности выравнивания оказала древнеледниковая деятельность.

Поверхности ледниковой эрозии, развитые в междуречье Карги — Балыктыг-Хем и по левому борту р. Карги, являются древними поверхностями выравнивания, обработанными ледником полупокровного типа. Для них характерно наличие сглаженных скал, бараньих лбов, борозд выпахивания и довольно узкое развитие ногорных террас. Эрозионные поверхности характерны также для придолинных склонов рек Тарбагатай и Бурен с их притоками и оз. Кара-Холь.

Массивы комплексной денудации занимают северо-восточную часть района. Своим образованием они обязаны полупокровному леднику. Массивы комплексной денудации находятся в зоне гумидного климата, где склоны покрыты растительностью и задернованы, что замедляет эрозионные процессы. В настоящее время там преобладают процессы химического выветривания, но широко развитая островная вечная мерзлота, способствующая развитию солифлюкционных процессов, замедляет их развитие. Поверхности водоразделов и верхних частей склонов покрыты плащом мелкозема и имеют мягкие очертания.

Денудационно-эрзационные горные области занимают водораздельные участки междуречий Эрзин — Бурен, Балыктыг-

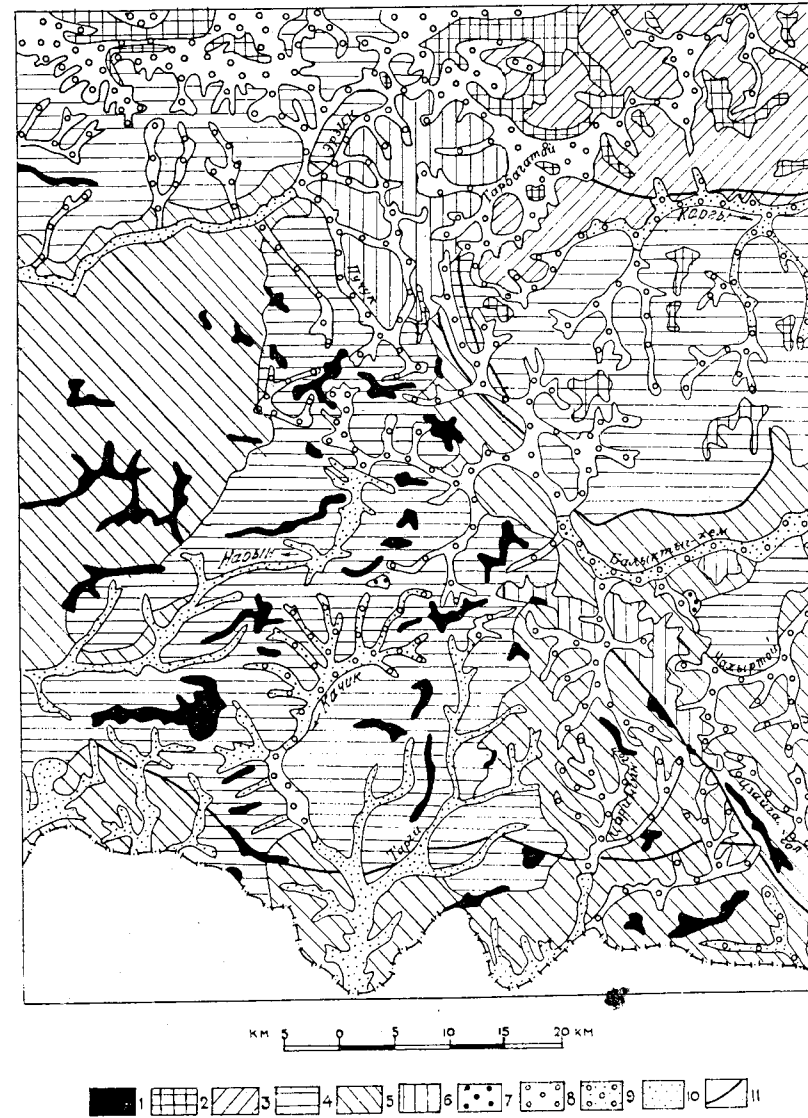


Рис. 3. Геоморфологическая схема

Тектонико-скульптурный рельеф: 1 — реликты эрозионно-денудационной дочетвертичной поверхности выравнивания; среднеплейстоценовые: 2 — поверхности ледниковой эрозии; 3 — массивы комплексной денудации; 4 — средне-, верхнеплейстоценовые денудационно-эрзационные горные области; верхнеплейстоцен-голоценовые: 5 — эрозионно-денудационные массивы; 6 — лito-скульптурные горы. Тектонико-аккумулятивный рельеф: 7 — реликты нижнеплейстоценовых аллювиальных равнин; 8 — среднеплейстоценовый рельеф флювиогравинны ледниковой аккумуляции; 9 — средне- верхнеплейстоценовые долинно-балочные долины; 10 — верхнеплейстоцен-голоценовые аллювиально-пролювиально-денудационные равнинны; 11 — дислокационные нарушения, выраженные в рельефе.

Хем — Каргы, Нарын — Качик — Жин-Хем с абсолютными высотами 2200—2800 м. Относительные превышения составляют 400—600 м. Рельеф данных областей представляет собой древнюю поверхность выравнивания, поднятую неотектоническими движениями и переработанную в четвертичное время. Описываемые горные области опоясывают лито-скulptурные горы. Их рельеф характеризуется мягкими формами склонов крутизной от 15—20° у водоразделов до 45—50° в придолинных частях, где нередки скалы и обрывы.

Эрозионно-денудационные массивы характеризуются абсолютными отметками водоразделов от 2000 до 2700 м. Их водоразделы образованы то узкими, то более широкими хребтами с крутыми, часто обрывистыми склонами, местами покрытыми осыпями. В наиболее приподнятых участках склоны хребтов изрезаны караами. В местах развития описываемых массивов наблюдаются различия в формах рельефа между областями распространения карбонатных и некарбонатных пород. Рельеф на карбонатных породах характеризуется более резкими формами, чем на гранитоидах и терригенных образованиях (нижнее течение рек Эрзин, Балыктыг-Хем, Нарын).

Лито-скульптурные горы развиты в междуречье Балыктыг-Хем — Цзайга-Гол — Тарги и приводораздельных пространствах рек Пучук — Эрзин и Тарбагатай — Сольбельдер. Абсолютные отметки скалистых вершин достигают 3274 м с относительными превышениями от 500—700 до 1200 м. В пределах развития описываемых гор наблюдается отчетливая зависимость отдельных форм от литологии. Эта закономерность выражается в том, что прослойям некарбонатных пород на хребтах соответствуют седловины и слаженные формы рельефа. Некарбонатные породы, в целом, несравненно слабее обнажены, чем карбонатные. Отдельные разности карбонатных пород имеют характерные скалистые формы рельефа.

Тектоно-аккумулятивный рельеф

Холмисто-грядовый моренный рельеф, созданный каровыми, горно-долинными и полупокровными ледниками, развит по долинам рек Бурен, Тарбагатай, Жин-Хем, Чахыртой, Цзайга-Гол, в районе оз. Кара-Холь, а также в верховьях практически всех рек и ручьев района. Этот рельеф характеризуется холмистой поверхностью со множеством небольших озер и сухих западин. У окраинных частей морен развиты вытянутые вдоль движения ледника холмы-друмлины высотой в несколько метров, нередко с ядром коренных пород.

Пологоволнистый рельеф флювиогляциальных долин развит за внешним краем морен по рекам Балыктыг-Хем, Каргы, Цоригин-Гол, Цзайга-Гол и характеризуется слегка наклонной по

течению рек, местами всхолмленной и заболоченной поверхностью.

Аллювиально-пролювиально-делювиальные равнины развиты по долинам рек Эрзин, Нарын, Качик и на крайнем юго-западе района, где наблюдается перекрытие речных террас пролювиальными шлейфами и делювиальным материалом.

История развития рельефа

В истории развития рельефа можно наметить следующие основные этапы. Первый этап охватывает промежуток времени до нижнечетвертичного, когда шел длительный процесс пeneplенизации всей территории. В результате его была создана древняя денудационная поверхность, останцы которой сохранились до настоящего времени.

Второй этап формирования рельефа начался в нижнем плейстоцене и продолжается в настоящее время. Тектоническими движениями глыбового характера этого периода были созданы основные черты современного рельефа. В результате склоновой эрозии площади распространения древней выровненной поверхности уменьшаются.

Со среднечетвертичной эпохи разница в поднятии выделенных областей проявилась резче. Была перестроена древняя речная сеть, реликты которой в виде валунно-галечных отложений сохранились в приводораздельных пространствах междуречья Нарын — Балыктыг-Хем — Качик и по правому борту р. Балыктыг-Хем в бассейне руч. Сайлик. В это время район подвергся оледенению полупокровного типа. Ледником были обработаны древние выровненные поверхности. На севере района проявилась ледниковая аккумуляция и был сформирован холмисто-грядовый моренный рельеф. В результате таяния ледника по долине р. Балыктыг-Хем сформирована 30-метровая флювиогляциальная среднечетвертичная терраса и эрозионно-аккумулятивные террасы высоких уровней по р. Нарын.

В верхнечетвертичное время район подвергся горно-долинному оледенению, был создан рельеф лито-скульптурных гор и эрозионно-денудационных массивов, обновлены и вновь пропилены троговые долины, в истоках многих ручьев и рек проявлена ледниковая, по долинам рек — водная и водно-ледниковая аккумуляция, сформированы террасы нижнего комплекса.

В послеледниковое время основным рельефообразующим фактором является интенсивная глубинная эрозия. Этот факт, а также постоянное сокращение останцов древней денудационной поверхности, слабое развитие поймы крупных рек с образованием в них цоколя свидетельствуют о наличии положительных движений в районе и теперь.

ПОЛЕЗНЫЕ ИСКОПАЕМЫЕ

Основные полезные ископаемые территории представлены tantalом, ниобием, литием, редкими землями, золотом и висмутом, цветными металлами (алюминием, свинцом, медью, оловом), оптическим кальцитом, слюдой. Встречаются также титан, молибден, апатит, цирконий, флюорит, корунд и наждак, графит. Из строительных материалов известны мраморы, известняки, доломиты.

МЕТАЛЛИЧЕСКИЕ ИСКОПАЕМЫЕ

Черные металлы

Титан

Титановые минералы в виде мелкой обильной (до 10%) вкрапленности ильменита известны в амфиболитах и амфиболизированных карбонатных породах нарынской свиты в верховьях р. Ак-Таврыг-Тыг. Обломки пород с вкрапленностью ильменита обнаружены на площади 500 м². Содержание окиси титана до 1,5%, по данным химического анализа двух штуфных проб (IV-1-5). На водоразделе р. Чартис и руч. Чинчилиг в мелком линзовидном теле (размером 50×150 м) нефелиновых сиенитов, залегающих среди мраморизованных известняков нарынской свиты, отмечается ильменит (II-1-2). Скопление кристаллов приурочено к участку нефелиновых сиенитов пегматоидной структуры. Количество ильменита в пегматоидных сиенитах до 5%. По данным химического анализа штуфной пробы [8] содержание окиси титана — 12,5%, окиси ванадия — 0,031%.

Выявленные проявления титана незначительны по размерам, низки по содержаниям полезных компонентов, а потому не имеют промышленной ценности. При шлиховом опробовании ильменит, рутил, анатаз обнаружены во всех пробах в количестве от 50—100 знаков до 20 г/м³. Обнаружения промышленных концентраций титана в пределах рассматриваемой площади, как в коренном залегании, так и в россыпях представляется маловероятным.

Цветные металлы

Медь

В районе известно три мелких проявления меди.

Проявления (I-4-2 и II-3-17) приурочены к кварцевым жилам. Медная минерализация представлена бедной вкрапленностью халькопирита с примазками и корочками малахита. Размеры жильных образований незначительны. Мощность жил до

0,5 м, видимая протяженность 1,5 м. Содержание меди по данным спектрального анализа составляет в среднем 0,01—0,1%. Практического значения данные проявления не имеют.

Проявление (II-2-6), расположенное на правом берегу р. Путчук в 1200 м к северу от устья руч. Полноводного, приурочено к гидротермально измененным породам. В контакте мраморизованных известняков нарынской свиты и конгломератов, песчаников пучукской свиты расположено линзовидное тело метапорфиритов нижнего кембрия площадью 0,6 км². Метапорфириты и вмещающие их породы милонитизированы, окварцованны и биотитизированы. Общая площадь гидротермально измененных окварцованных пород 1,5 км². По данным спектрального анализа [60] в пробах содержится медь — до 0,03% (90% проб), свинец — до 0,01% (1% проб), барий — до 0,1% (95% проб). По трещинам в зоне окварцевания отмечаются примазки малахита. Промышленных концентраций указанных элементов в зоне окварцевания не обнаружено. Проявление не представляет практической ценности.

При шлиховом опробовании минералы меди обнаружены в 8,3% проб в количестве от 5 до 10—15 знаков. Они представлены халькопиритом, реже малахитом и азуритом. Большая часть шлиховых проб с минералами меди сконцентрирована в бассейне рек Чартис и Нарын, где известны мощные и протяженные минерализованные зоны дробления. Обычно в этих зонах наблюдается густая вкрапленность пирита, пирротина (до 30—40%) и рассеянная — арсенопирита, халькопирита. В единичных шлиховых пробах минералы меди встречаются на всей остальной площади. Медная минерализация для площади не характерна и обнаружение промышленных концентраций меди представляется маловероятным.

Свинец

Проявления свинца пользуются ограниченным распространением и тяготеют к зонам разрывных нарушений, скарнирования, метасоматически измененных пород.

В русле р. Харлы (левый приток р. Тарбагатай) в 3 км выше ее устья расположено проявление (I-3-3). В отобранных штуфных пробах из сиенитов и граносиенитов сангиленского комплекса в зоне разлома определены свинец — 0,01—0,02%, висмут — 0,001—0,002% (спектральный анализ). По данным А. В. Ильина и др. [8], в шлихах из протолочек обнаружены галенит, циртолит, церуссит. На северном склоне высоты 2840 м в зоне разлома между песчаниками пучукской свиты и известняками нарынской свиты встречена серия кварцевых жил на площади 100—150 м². Мощность жил 10—20 см, протяженность 0,5—2 м. По данным спектрального анализа проб без видимой минерализации содержание свинца — 0,01%, меди — 0,01% (про-

явление III-3-12). Низкие содержания свинца и малые размеры рудных тел в отмеченных проявлениях позволяют считать их не перспективными, представляющими чисто минералогический интерес.

Проявление (IV-3-10) расположено по левому борту р. Тарги в ее среднем течении, в 3200 м юго-восточнее высоты 2861 м. Здесь среди элювиально-делювиальных развалов гранатовых скарнов встречены обломки галенита. Скарны развиты в экзоконтакте массива диоритов, сиенито-диоритов сангиленского комплекса, залегающего среди мраморов нарынской свиты. Детально проявление не изучалось. Учитывая широкое развитие скарнов в экзоконтакте массива, обнаружение обломков массивных свинцовых руд, наличие шлихового ореола свинца вокруг массива, на данном проявлении возможно обнаружение промышленных концентраций свинцовых руд. Необходима постановка детальных поисковых работ (м-ба 1:10 000, 1:25 000) в зоне развития скарнов на площади 5 км².

При шлиховом опробовании в 3,5% всех проб обнаружены церуссит, вульфенит, ванадинит, галенит. Большинство проб сконцентрировано в южной части района в бассейнах рек Харты, Тарги, Цоригин-Гол, где выделяются два шлиховых ореола (IV-3-9 и IV-4-16), и шлиховой поток (верховье р. Харты). Содержание свинцовых минералов здесь от 10—100 знаков до 6/м³.

Коренным источником ореола (IV-3-9) является, по-видимому, зона развития скарнов вокруг массива монцонитов, в двух других случаях источник сноса неясен. Минералы свинца обнаружены в шлихах из верховьев ручьев Ызыр-Ой и Аргалыг в количестве до 100 знаков на шлих. Коренной источник не установлен. Для оценки шлиховых ореолов необходима постановка поисковых работ м-ба 1:50 000.

Олово

Проявления олова, не имеющие самостоятельного значения, известны в комплексе с проявлениями и месторождением лития в сподуменовых пегматитах. Кроме того, в 2300 м юго-западнее высоты 2410 м в эндоконтакте небольшого массива гранитов сютхольского комплекса обнаружена редкая мелкая вкрапленность кассiterита. По данным спектрального анализа точечной пробы содержание олова — 0,01%, цинка — 0,06%, бериллия — 0,002%. Проявление детально не изучалось. Судя по отсутствию кассiterита в шлиховых пробах, отобранных вблизи массива, проявление практического значения не имеет. Обнаружение в пределах площади промышленных концентраций олова представляется маловероятным.

При шлиховом опробовании кассiterит в количестве 5—10 знаков встречен в 1,1% шлиховых проб. Как правило, эти про-

бы расположены в водотоках дренирующих поля развития жил сподуменовых и кварц-полевошпатовых пегматитов. Исключением являются пробы с кассiterитом в шлиховом ореоле (IV-3-9), где его проявление, по-видимому, связано с зоной олоскарирования. Обнаружение промышленных концентраций олова в россыпях на описываемой площади мало вероятно.

Алюминий

Нефелинсодержащие щелочные породы — ийолиты, уртиты, ювиты, кальцитовые нефелиновые и лейкохратовые нефелиновые сиениты сосредоточены в междуречье Балыктыг-Хем — Каргы, Тарбагатай — Ызырой; это массивы Чикский (III-3-16), Тоскульский (III-4-1) Кара-Адырский или Пиче-Хольский (II-3-16), Баянхольский (II-3-3), Харлинский (I-3-4) прогнозные запасы в которых около 1 млрд. т высокоглиноземистого сырья [5, 14]. Специализированные работы на алюминий ни на одном из массивов не проводились. В табл. 6 приведены средние содержания компонентов в наиболее изученных массивах нефелиновых сиенитов. Для составления табл. 7 использовались результаты силикатных анализов, полученных различными исследователями [8, 14, 45].

Исходя из аналитических данных (табл. 7) и размеров массивов, наиболее перспективным проявлением алюминиевых руд представляется Баянхольский массив, расположенный в среднем течении р. Баян-Хол (левый приток р. Каргы) по правому и левому бортам долины. Площадь его около 12 км². В северной части массива преобладают сравнительно бедные нефелином (до 20—40%) сиениты, в южной (на правом борту долины р. Баян-Хол) преобладают уртиты и ювиты с содержанием нефелина 50—70%. Реже в этой части массива встречаются нефелиновые сиениты и мальвиниты. Условия залегания и масштабы нефелиновых руд на этом проявлении позволяют ориентироваться на открытие крупного высокоглиноземного месторождения (200—300 млн. т нефелина на глубину 200 м, при относительном превышении массива над урезом реки 400—600 м, площадь 6 км²).

Другие проявления высокоглиноземного сырья характеризуются более низкими содержаниями окиси алюминия, чем руды Баянхольского массива, преобладанием в их составе пород с низким содержанием нефелина (20—40%). Для всех проявлений характерно наличие участков (площадью 0,03—0,6 км²) сложенных уртитами, ювитами или лейкохратовыми нефелиновыми сиенитами. Для оценки проявлений необходима постановка специальных разведочно-опробовательских работ.

Таблица 7
СРЕДНИЕ СОДЕРЖАНИЯ КОМПОНЕНТОВ В НЕКОТОРЫХ МАССИВАХ
НЕФЕЛИНОВЫХ ПОРОД САНГИЛЕНА, ВЕС. %

Массивы	Количество анализов	Al ₂ O ₃	SiO ₂	(Fe ₂ O ₃)*	(Na ₂ O)**	CaO
Дахунурский						
уриты	3	22,84	37,03	5,10	11,36	14,72
илюлиты	2	19,68	41,24	9,23	10,43	12,26
В среднем по массиву	5	21,26	39,13	7,16	10,89	13,49
Чикский						
уриты	3	26,47	36,38	5,49	12,10	8,99
илюлит-уриты	6	15,42	40,40	13,59	5,66	18,02
В среднем по массиву	9	20,94	38,39	9,54	8,88	13,50
Тоскульский						
нефелиновые сиениты	9	21,20	55,66	6,08	10,70	2,37
Харлинский						
нефелиновые сиениты	3	20,66	52,40	5,13	12,33	3,91
илюлиты	4	16,57	42,02	10,65	10,02	13,58
ювитеты	4	17,77	34,78	10,68	9,31	11,04
В среднем по массиву	23	17,59	44,10	10,02	10,16	10,44
Баянхольский						
нефелиновые сиениты	11	19,23	52,16	8,81	9,98	5,88
уриты	7	27,61	46,81	3,12	15,87	1,52
мальгиниты	3	16,55	45,72	13,69	9,16	10,36
В среднем по массиву	21	21,13	48,23	8,54	11,67	5,92

* (Fe₂O₃) = Fe₂O₃ + FeO, где FeO пересчитано на Fe₂O₃.

** (Na₂O) = Na₂O + K₂O.

Редкие и рассеянные элементы

Молибден

На рассматриваемой площади самостоятельных проявлений молибдена неизвестно. Только на восточном фланге месторождения Улуг-Танзек (см. «Тантал, ниобий») в протолочках из метасоматитов обнаружен молибденит в количествах 1—20 г/т. По данным спектрального анализа содержание молибдена — 0,01—0,03% [23]. При шлиховом опробовании молибденит обнаружен в 1,6% шлиховых проб в количестве 5—10 знаков. Шлиховые пробы с молибденитом, как правило, встречаются в водотоках, дренирующих массивы гранитов сютхольского, сиенитов, граносиенитов сангиленского комплексов. В этих породах

молибденит присутствует как акцессорный минерал. Шлиховой поток молибдена выявлен по руч. Ак-Адыр (левый приток р. Чартис). Коренной источник этого потока неясен, возможно, им являются кварцевые жилы, многочисленные делювиальные свалы которых встречаются в верховьях ручья. Перспективных проявлений молибдена на площади не обнаружено.

Литий

В районе известно 29 проявлений лития пространственно об разующих два пояса — Северный субмеридионального простирания, занимающий бассейн р. Сольбельдер, правый борт р. Балыктыг-Хем, и Южный широтного простирания, протягивающийся от среднего течения р. Качик на восток за пределы описываемой площади. Наиболее хорошо изучено непромышленное месторождение (II-3-8) и проявления (II-3-10, 11, 12, 13) в бассейне р. Сольбельдер, объединенные В. Н. Коноваловой [34] в Кара-Адырское комплексное редкометальное месторождение. Месторождение расположено в низовьях притоков р. Сольбельдер — ручьев Кара-Адыр и Извилистый. Детально изучено с поверхности. В геологическом его строении принимают участие мраморы и мраморизованные известняки нарынской свиты и метаморфизованные терригенные породы пучукской свиты. Интрузивные породы представлены гранитами таннуольского, сютхольского и нефелиновыми сиенитами сангиленского комплексов. В пределах месторождения выявлено 75 пегматитовых жил со сподуменом.

Пегматитовые жилы выполняют межпластовые, сколовые и разрывные трещины. Жилы межпластовых трещин развиты на проявлениях (II-3-10, 11, 12, 13). По простирианию они часто имеют пережимы или состоят из разобщенных линзообразных тел, иногда кулисообразно заходящих друг за друга. Протяженность жил 30—200 м, мощность 0,3, до 15 м. Пегматитовые жилы сколовых трещин (проявление II-3-8) имеют вид плитообразных тел длиной до 1000 м. Они выдержаны по мощности (2—4 до 13 м) и имеют мало ответвлений. Пегматиты трещин разрыва представляют собой тела длиной 100—150 м с частыми резкими изгибами по простирианию. Мощность их непостоянна и изменяется в пределах от 0,3 до 5 м.

По строению выделены жилы незональные (подавляющее большинство), симметрично-зональные и асимметричные. Сложное строение обычно имеют жилы, выполняющие трещины разрыва. Минеральный состав сподуменовых пегматитов следующий: сподумен — 25—40%, альбит — 0—40%, кварц — 30—70%, олигоклаз — 20—40%, микроклин — 5—10%. Повсеместно встречаются лепидолит — до 5—10%, берилл — до 2%, гранат, биотит, мусковит, турмалин, циркон, торит, фенакит, берtrandит, пренит, амблигонит, литиофиллит, апатит, танталит, стибионит-

Таблица 8

СРЕДНИЕ СОДЕРЖАНИЯ ПОЛЕЗНЫХ КОМПОНЕНТОВ, %

№ прояв- лений	Компоненты				Cs_2O
	Li_2O	Nb_2O_5	Ta_2O_5	BeO	
8	0,10—1,04	0,008—0,019	0,003—0,009	0,006—0,087	0,006—0,067
10	0,10—1,60	0,010—0,180	0,003—0,007	0,003—0,012	—
11	0,10—1,62	0,010—0,037	0,003—0,010	0,010—0,150	0,100
12	0,10—1,47	0,007—0,023	0,004—0,012	0,015—0,063	0,030—0,078
13	0,10—2,07	0,001—0,026	0,002—0,008	0,001—0,021	0,002—0,009

талит, колумбит, пирохлор, касситерит до 2%. В двух жилах, залегающих среди песчаников пучукской свиты (проявление № 8), наблюдаются значительные (2—5%) содержания поллюцита.

Средние содержания полезных компонентов в рудах месторождения, по данным В. Н. Коноваловой [34], приведены в табл. 8. Прогнозные запасы окиси лития на глубину до 100 м отвечают запасам среднего по величине месторождения. На этом месторождении необходима постановка ревизионных работ с целью выявления новых поллюцитоносных жил. Как сырье на литий месторождение будет иметь промышленную ценность при отработке Тастыгского месторождения, расположенного за пределами рассматриваемой площади.

К Северному поясу относятся проявления по левому борту р. Балыктыг-Хем (III-3-1, 7, 10). Эти проявления мелкие, представлены одной-двумя жилами пегматитов с незначительным содержанием сподумена. Практического интереса эти проявления не представляют. В Южном пояссе выделяются рудные поля, включающие многочисленные проявления сподуменовых пегматитов: Церигингольское (IV-2-6, IV-3-14, IV-3-15, IV-4-15, IV-4-17), Бургинское (III-3-1, IV-2-2, 3, 4), Сутлугское (IV-3-13, 14, 15) и Каичикское (V-4-2, V-4-3, V-4-4, IV-3-6, IV-2-7).

Из всех проявлений наиболее крупным и хорошо изученным является Сутлугское (IV-3-15). Жилы сподуменовых пегматитов залегают среди мраморов нарынской свиты. По данным Н. И. Хомизури и др. [57], на проявлении выявлено 33 сподуменовых жилы мощностью от 0,5 до 6 м и протяженностью от 20

до 230 м. Все жилы группируются в узкой полосе широтного простирания шириной 150—200 м по левому борту руч. Сутлуг (две жилы в русле ручья), протяженность полосы 1,5 км. Южная граница распространения пегматитов точно не установлена. Содержание окиси лития 0,1—2,1%, окиси берилля в среднем 0,078%. В некоторых жилах установлены повышенные содержания окиси цезия — до 0,01%, но поллюцит нигде не обнаружен. Прогнозные запасы по 20 жилам сподуменовых пегматитов на глубину 50 м составляют 10,8 тыс. т окиси лития и 0,6 т окиси берилля.

Все проявления лития могут иметь практическое значение при отработке Тастыгского месторождения. В пределах Северного и Южного поясов необходима постановка поисково-реквизионных работ с целью обнаружения поллюцитовых руд. Для ряда проявлений характерны процессы альбитизации, приведшие к образованию комплексной минерализации с поллюцитом.

Тантал, ниобий

Тантало-ниобиевая минерализация концентрируется в зоне Агардаг-Эрзинского разлома, где известно шесть крупных проявлений. Они представлены одним генетическим типом и связаны с измененными трантиоидными породами сютхольского, сангиленского и таннуольского интрузивных комплексов.

Наиболее крупным и изученным является месторождение Улуг-Танзек (I-2-2). Оно расположено на водоразделе рек Эрзин, Бурен, руч. Сайлик. Месторождение предварительно разведано с подсчетом запасов по категории C_2 [23]. В геологическом строении месторождения принимают участие мраморы и мраморизованные известняки нарынской свиты, ороговикованные сланцы пучукской свиты, гранитоиды таннуольского, сютхольского и сангиленского интрузивных комплексов, их жильные дериваты, kontaktово-метасоматические образования и метасоматические породы рудного массива.

Рудный массив имеет в плане клиновидную форму. Площадь его 1,7 km^2 , изучено — 0,9 km^2 . Контакты массива с вмещающими мраморами, не осложненные разломами, имеют извилистые очертания с многочисленными мелкими апофизами. Массив сложен весьма неоднородными по составу и структуре метасоматическими породами альбит-микроклин-кварцевого состава с цинквальдитом, криофиллитом, биотитом, рибекитом. Основные промышленные типы руд: 1) тантал-ниобиевый прожилково-вкрашенный; 2) тантал-ниобиевый — образования переотложенной коры выветривания; бериллий-флюоритовый, связанный с зонами флюоритизации.

Первый тип руд ведущий на месторождении. Он представлен метасоматическими породами, которые слагают рудный массив.

Этот тип руд подразделен на рибекитовые руды (до 20—50% рибекита), рибекитсодержащие руды (до 3% рибекита) и безрибекитовые руды, в которых установлены фергусонит, пирохлор, колумбит (наиболее широко развит), лопарит, эвксениит, циркон, малакон, ловенит, астрофиллит, ферриторит, торит (редко), гагаринит, ксенотим, монацит, бастнезит, гадолинит, литиевый биотит, протолитионит, циннвальдит, криофиллит. Они составляют 5—15% объема руд. Рудные минералы присутствуют в виде тонкорассеянной вкрапленности. Размер зерен минеральных компонентов колеблется в пределах сотых-десятых долей миллиметров и достигает первых миллиметров у малакона и ферриторита. Средние содержания полезных компонентов приведены в табл. 9 [20, 23].

Второй тип руд по химизму и минеральному составу полностью соответствует первому типу. По предварительным данным мощность переотложенной коры выветривания 22 м (одно пересечение скважиной), площадь развития 74 920 м². Среднее содержание пятиокиси tantalа — 0,0209%, пятиокиси ниobia — 0,1607% [23].

Бериллий-флюоритовый тип руд менее распространен. Представлен он флюоритовыми телами штокообразной, линзовидной, гнездообразной формы, реже жилами, прожилками. Рудные тела характеризуются небольшими размерами, залегают преимущественно в мраморах нарынской свиты в экзоконтакте массива метасоматитов. Текстуры руд массивные, полосчатые, «бурунучные», симметрично-полосчатые, брекчевые. Структуры мелкозернистые, средне-, крупнокристаллические, грубокристаллические с идиоморфными кристаллами. Цвет флюорита фиолетовый, сиреневый, реже светло-фиолетовый, темно-фиолетовый до черного, белый, зеленый. Рудные тела состоят из флюорита — 75—85%, полевого шпата — 5—10%, кварца — 3—5%, кальциита — 2—3%, редко до 20%, единичных включений мусковита, графита, пирита, халькопирита и сфалерита. Присутствует оранжит, фенакит и берtrandит [23].

Среднее содержание компонентов в рудах приведено в табл. 9.

Кроме того, в tantal-niobievom типе руд установлен галенит — 0,042% и сфалерит — 0,014%. По данным спектрального

анализа проб, отобранных в 1970 г., в tantal-niobievых рудах содержится ниобий — 0,08—0,3%, литий — 0,001—0,05%, бериллий — 0,0003—0,3%, рубидий — 0,02—0,05%, цезий — 0,0005—0,001%, олово — 0,003—0,005%.

По месторождению произведен подсчет запасов основных полезных компонентов по категории С₂, но запасы не утверждены ГКЗ.

Утвердилось мнение о метасоматическом происхождении месторождения. В отношении генетической связи оруденения с интрузивными комплексами, исходного состава материнских пород, связи оруденения различными этапами метасоматоза, роли трещинной тектоники и мраморов в размещении и локализации оруденения единого мнения нет [23, 36, 37].

По технико-экономическим расчетам ГИРЕДМЕТа Улуг-Танзекское месторождение может явиться мощным сырьевым источником для получения tantalа и ниobia и рекомендуется для детальной разведки.

В бассейне р. Бурен известно Буренское (I-1-3) проявление и проявления (I-2-1, I-1-4). Они изучены слабо и характеризуются более низкими содержаниями полезных компонентов, чем указанное месторождение [23, 41]. Юго-восточнее Улуг-Танзека известно проявление (II-4-3) по правому борту р. Карги в 3 км восточнее устья руч. Хунчол и проявление (II-3-1) в среднем течении р. Баян-Хол (левый приток р. Карги) на левом борту. Эти проявления связаны с альбитизированными амазонитовыми гранитами и характеризуются повышенными содержаниями tantalа, ниobia, лития, рубидия, цезия. Проявления также изучены слабо [56]. Для оценки всех перечисленных проявлений рекомендуется постановка детальных поисково-ревизионных и разведочных работ. Проявления могут иметь промышленную ценность как дополнительная сырьевая база к месторождению Улуг-Танзек.

При шлиховом опробовании минералы tantalа и ниobia — tantalит, колумбит, редкие tantalо-ниобаты, пирохлор, обнаружены в 4% шлиховых проб в количествах от 1—10 до 50—70 знаков. Колумбит, пирохлор в больших количествах обнаружены в непосредственной близости от месторождения Улуг-Танзек, в верховьях рек Эрзин, Бурен, руч. Сайлик. Танталит, колумбит, редкие tantalо-ниобаты в количестве от 5—10 до 50 знаков на шлих постоянно присутствуют в верховьях рек Бурга, Цзайга-Гол, где преобладает tantalит, редкие tantalо-ниобаты и редко встречается колумбит. В незначительных количествах (от 1 до 10 знаков) минералы tantalо-ниобатов встречены в шлиховых пробах, отобранных в районах распространения жил сподуменовых и кварц-полевошпатовых пегматитов, в аллювии ручьев, дренирующих интрузивы сютхольского комплекса в бассейнах рек Эрзин, Нарын.

Таблица 9

Типы руд	Средние содержания, в %						
	Ta ₂ O ₅	Nb ₂ O ₅	ZrO ₃	LiO ₂	Σ TR	CaF	BeO
Рибекитовые	0,0167	0,118	0,38	0,029	<0,05	—	—
Рибекитсодержащие	0,0187	0,145	0,51	0,028	<0,05	—	—
Безрибекитовые	0,0184	0,142	0,45	0,023	<0,05	65,16	0,109

Редкие земли

На описываемой площади обнаружено 67 проявлений редких земель. Они генетически и пространственно связаны с жильными дериватами интрузивов сютхольского и сангиленского комплексов и одно проявление с метасоматически измененными гранитоидами. Это проявление (IV-4-19) расположено на водоразделе рек Цзайга-Гол и Бурга в их верховьях. Оно приурочено к Цзайгальскому массиву, сложенному мелко- и среднекристаллическими, часто порфировидными пегматоидными гранитами, содержащими в незначительных количествах биотит (10%), мусковит (5%), рибекит (1—2%). Характеристика массива приведена в главе «Интрузивные породы».

Для всего массива характерен повышенный фон радиоактивности, повсеместно проявлены процессы альбитизации. По данным спектрального анализа геохимических проб альбитизированные граниты и пегматиты содержат иттрий — 0,005—0,02%, цирконий — 0,006—0,1%, литий — 0,003—0,01%, ниобий — 0,003—0,004%. В шлихах из протолочек обнаружены редкие тантало-ниобаты — единичные знаки, монацит — до 50 г/м³, циркон — до 650 г/м³, ураноторианит, сподумен — единичные знаки. На данном массиве рекомендуется постановка детальных поисковых работ.

Наиболее представительным проявлением жильного типа является Чикское жильное поле (проявления IV-3-5 и 7), расположенное в среднем течении р. Жин-Хем (правый приток р. Балыктыг-Хем). Это поле размером 5 км² характеризуется развитием серии пластовых даек щелочных аляскитовых и лейкократовых гранитов с биотитом и рибекитом, кварц-полевошпатовых пегматитов и, в меньшей степени, биотитовых гранитов и гранодиоритов с флюоритом. Жилы залегают среди мраморов, мраморизованных известняков нарынской свиты. Мощность жил 1,5—2 м, реже 20—30 м, протяженность от 5—20 до 300—400 м. Установлено, что редкоземельное оруденение обычно имеет гнездообразный характер. Размер гнезд до 0,3×0,7 м. По данным спектрального анализа альбитизированные «гнезда» содержат иттрий — 0,01%, цирконий — 0,1%, гафний — 0,01%, гадолиний — 0,07%, ниобий — 0,01% [35, 57]. Необходимо отметить, что Чикское жильное поле имеет слабую обнаженность, поэтому характеристика оруденения приводится на основании изучения, в основном, делювиальных свалов. Для оценки этого поля рекомендуются детальные поисково-опробовательские работы с вскрытием жил горными выработками.

Многочисленные редкоземельные проявления бассейнов рек Эрзин, Нарын, Качик, Балыктыг-Хем, Чахыртой имеют незначительные размеры. Редкоземельная минерализация обнаружена в жилах слабо альбитизированных пегматитов кварц-полевошпатового состава, аплитов, граносиенитов, гранит-аплитов.

В шлихах из протолочек этих жил обычно имеется монацит, циркон, пирохлор, флюорит, иногда колумбит. По данным спектрального анализа во всех проявлениях содержится церий, кадмий, цирконий — до 0,1%, гафний, лантан, иттрий, свинец, цинк, бериллий — до 0,01%, ниобий — до 0,03% [51, 60, 27]. Все эти проявления обычно невелики по размерам и не представляют практической ценности.

При шлиховом опробовании монацит обнаружен в 100% проб в количествах от единичных знаков до 50 г/м³. Установлено два шлиховых ореола рассеяния монацита — по правому борту р. Чартис (проявление II-1-1) и в верховьях р. Цзайга-Гол (проявление IV-4-18). Содержание монацита в пределах ореолов от 100 знаков до 50 г/м³. Коренными источниками являются массивы гранитов сютхольского комплекса и жилы пегматитов. Широкое развитие в районе ледниковых и незначительное аллювиальных образований делают бесперспективным открытие россыпных месторождений монацита, имеющих практическую ценность.

Цирконий

Проявления циркония пользуются незначительным распространением и известны в верховьях р. Тарбагатай и по правому борту руч. Кара-Адыр (правый приток р. Сольбельдер). Проявления генетически связаны с телами альбититов и жилами щелочных пегматитов сангиленского комплекса. Единственным проявлением первого типа является Кара-Адырское (II-3-14). Оно расположено по правому борту руч. Кара-Адыр, в 1200 м северо-западнее высоты 2796 м. Проявление приурочено к линзовидному телу своеобразных альбитовых пород (караадыритов, мариуполитов) площадью 1000 м² в экзоконтакте массива нефелиновых сиенитов. В шлихах из протолочек в альбититах обнаружены циркон, флюорит, галенит, торианит, гатчетолит, халькопирит, сфен, апатит, пирит, пирротин, циртолит, малакон. По данным спектрального и химического анализов содержание окиси циркония составляет в среднем 0,2%, суммы редких земель — до 0,1%, свинца — 0,03—0,29%, меди — 0,001% [29]. Проявление бесперспективно из-за низких содержаний полезных компонентов.

Два проявления известны в верховьях р. Тарбагатай и приурочены к щелочным пегматитовым жилам, состоящим из полевого шпата, амфиболя и нефелина. Жилы залегают среди граносиенитов сангиленского комплекса (I-3-5) и известняков нарынской свиты (I-3-6). Мощность жил 0,3—0,5 м, протяженность 3—15 м, в них наблюдается богатая вкрапленность бурого циркона. По данным спектрального анализа содержание окиси циркония составляет 0,5%, церия, ниobia, свинца — тысячные

доли процента. Эти проявления незначительны по размерам и не представляют практического интереса.

При шлиховом опробовании циркон обнаружен в 100% проб в количестве от единичных знаков до 300 г/м³. Установлен шлиховой ореол рассеяния циркона (II-3-4), охватывающий бассейн верхнего течения рек Тарбагатай и Сольбельдер. Содержание циркона в шлихах внутри ореола от 10 до 300 г/м³. Кроме циркона, в единичных шлиховых пробах ореола присутствуют редкие тантало-ниобаты, кассiterит, золото — единичные знаки. Коренными источниками сноса являются многочисленные мелкие тела пород сангиленского комплекса. Циркон совместно с монацитом образует шлиховые ореолы в бассейне р. Чартис (II-1-1) и верховьях рек Бурга и Цзайга-Гол (IV-4-18). Содержание циркона в пробах этих ореолов от 3 до 100 г/м³. Коренными источниками сноса являются жилы пегматитов, массивы гранитов сютхольского комплекса. Площадь работ бесперспективна на открытие практически ценных россыпных месторождений циркона.

Благородные металлы

Золото

Коренные проявления золота немногочисленны и почти все сконцентрированы в бассейне верхнего течения рек Нарын и Хап-Суг (III-2-4, 7, 8, 9, 10, 13). Одно проявление (II-2-8) известно в среднем течении р. Пучук. Генетически проявления золота связаны с кварцевыми жилами, залегающими среди терригенных отложений пучукской и терригенно-карбонатных отложений ходаяхской свиты, реже среди мраморов, мраморизованных известняков нарынской свиты. Мощность жил 0,1—1,5 м, протяженность 0,5—10 м. Сложенены они молочно-белым кварцем. Очень редко в жилах встречается гнездовая вкрапленность пирита, гематита. По данным химического, спектро-химического анализов содержание золота составляет 1—10 г/т. [48, 60]. Только у А. П. Божинского [21, 22] имеется ссылка на содержание в жиле золота 230 г/т. Указанные проявления приурочены к единичным жилам и не могут иметь практического интереса из-за низких содержаний золота и незначительных размеров рудных тел.

Проявление (III-2-2) расположено на водоразделе рек Чартис и Хап-Суг, в 4200 м северо-восточнее высоты 2507 м, и приурочено к зоне дробления. Мощность зоны дробления 25—30 м, протяженность 10 км. Милонитизированные, гидротермально измененные породы детально опробовались. Содержание золота в единичных пробах от 1 до 5 г/т, приурочены они к местам, где имеются тонкие (мощность 1—2 мм) кварцевые прожилки. Это

проявление также не имеет промышленной ценности из-за низких содержаний полезного компонента.

В верхнем течении р. Нарын, по правому и левому берегам вблизи зон нарушения, наблюдаются мощные зоны окварцевания и пиритизации пород ходаяхской толщи и пучукской свиты (особенно). Границы зон окварцевания грубо соответствуют границам распространения кварцевых жил. Окварцованные обычно прослои песчаников, алевропесчаников, местами до вторичных кварцитов. В этих гидротермально измененных породах, кроме кварца, присутствуют пирит, пирротин (до 15—20%). В шлихах из четырех протолочек, кроме пирита и пирротина, обнаружены гранат, барит, 1 знак золота, 8 знаков базовисмутита. Эти данные, а также установление значительных содержаний минералов висмута в золотоносной россыпи позволило рекомендовать постановку поисково-ревизионных работ в бассейне р. Нарын с целью опробования зон окварцевания на золото и висмут. Подобные работы осуществлялись в 1972 г. Сангиленским отрядом ТГРЭ.

В районе известно одно промышленное россыпное месторождение — Нарынская россыпь (III-2-12) и две непромышленные россыпи.

Нарынская россыпь расположена на участке долины р. Нарын между левым притоком — руч. Ку-Хем (Хуктолга) и правым притоком — руч. Кугайнаг. Общая длина участка около 17 км. Добыча золота производилась из аллювиальных, террасовых и пойменных россыпей. Средняя мощность торфов 3 м, песков 0,8 м, ширина россыпи колеблется от 10—80 до 100 м, средняя 60 м. По распределению металла россыпь относится к разряду крайне неравномерных. По вертикали 70% золота сосредоточено в трещинах плотника, достигая глубины 1,5 м от поверхности почвы, 30% находится в песках близ поверхности почвы. Содержание золота в среднем от 2 до 60 г/м³. Ниже поискового поселка содержание золота падает до 0,2 г/м³. Нарынское золото чешуйчатое, однородное, высокопробное (проба 900—920), хорошо окатанное и свободно от посторонних примесей, редко встречается в сростках с кварцем, самородки неизвестны (21, 22, 53).

По А. П. Божинскому [22], источником сноса золота Нарынской россыпи являются кварцевые жилы, расположенные в верховьях реки, по А. И. Левенко [38], — аллювий древних речных долин. По нашим представлениям, источником сноса, по-видимому являются зоны окварцевания, развитые вокруг разрывных нарушений и кварцевые жилы. В 1955 г. прииск был законсервирован из-за нерентабельности ручной добычи, а с 1971 г. Нарынская россыпь вновь отрабатывается старательской артелью.

При отработке блока № 73 (1971 г.) в 500 м ниже поселка в песках было встречено большое количество базовисмутита и

самородного висмута (до 20—30 г/м³ по устному сообщению бригадира артели В. И. Шикина). В связи с этим в бассейне р. Нарын рекомендуется постановка поисковых работ с целью обнаружения коренных его проявлений и ревизионные работы по золотоносной россыпи.

Кроме Нарынской, известны две непромышленные россыпи в среднем течении р. Хап-Суг (III-2-3) и в среднем течении р. Тарги по руч. Кара-Хем (IV-3-8). Россыпи невелики по размерам, протяженность 0,2—0,6 км, содержание золота 0,3—1 г/м³ песков, концентрируется оно практически в трещинах плотника и в очень незначительной степени в аллювии [30, 55, 60]. Эти проявления не имеют практического значения.

При шлиховом опробовании золото обнаружено в 2,4% проб в единичных знаках. Пробы с золотом обнаружены в бассейнах рек Нарын, Чартис, в верховьях р. Качик. Шлиховой поток установлен по безымянному ручью, левому притоку р. Качик, устье которого расположено в 3 км южнее устья р. Тарги. Ручей имеет протяженность 10 км. Коренной источник золота неизвестен. Здесь необходима постановка оценочных работ, возможно обнаружение мелкой промышленной россыпи. По данным Хрипунова А. С. [60], шлиховой поток золота обнаружен по р. Пучук, начиная от устья руч. Подземного до устья руч. Полноводного. Коренной источник золота не обнаружен. Большая мощность рыхлых отложений, наличие ледниковых образований позволяют считать этот участок не имеющим практического значения.

Обычно вместе со шлихами, содержащими золото, встречаются и пробы с висмутовыми минералами (базовисмутитом, самородным висмутом). Последние обнаружены в 1,9% проб в бассейне рек Нарын, Пучук, в верховьях р. Качик.

Химическое сырье

Флюорит (*флюс и химическое сырье*)

Флюоритовая минерализация широко распространена в пределах описываемой площади и отмечена повсеместно в пегматитах, массивах гранитов, сиенитов. Проявление известно одно — в эндоконтакте массива метасоматитов Улуг-Танзекского месторождения. Характеристика рудных тел приведена в разделе «Тантал, ниобий» при описании месторождения [23]. При современном уровне экономического развития района проявления флюорита не имеют практической ценности.

Минеральные удобрения

Апатит

Апатит в виде рассеянной вкрапленности довольно широко распространен в мраморах нарынской свиты на контактах их с нефелиновыми сиенитами сангиленского комплекса.

Проявление (I-1-2) расположено по правому борту р. Бурен в 2000 м северо-восточнее устья ул. Безымянного. В двух глыбах размером 0,1—0,2 м в поперечнике, вблизи контакта мраморов и нефелиновых сиенитов, встречены карбонатные породы, содержащие агрегаты мелкокристаллического апатита (60—70%), отдельные кристаллы нефелина и вкрапленность мелкочешуйчатого графита (5—10%). В коренном залегании подобные образования не обнаружены [23].

Проявление (I-2-3) расположено на правом борту верховьев руч. Сайлик. Среди массива щелочных сиенитов встречен небольшой ксенолит (5×10 м) мраморов, содержащих вкрапленность апатита в количестве до 10%. Кристаллы апатита имеют 1,5—2 см в длину. По химическому анализу одной пробы содержание пятиокиси фосфора составляет 0,9% [23].

Еще одно проявление (II-3-2) выявлено в среднем течении р. Баян-Хол (Каргинский) на его левом берегу. Проявление детально не изучалось. В зоне эндоконтакта массива на площади около 0,045 км² встречены своеобразные нефелин-апатитовые породы, состоящие из полевого шпата, нефелина, апатита и незначительного количества биотита. Содержание апатита очень неравномерное и колеблется от 0 до 30%. По данным химического анализа штуфных проб содержание пятиокиси фосфора составляет 0,1—12,2%. Проявление заслуживает более детального изучения для окончательной оценки его значимости.

Качественным анализом на фосфор терригенных и карбонатных пород установлены повышенные содержания фосфора в терригенных прослоях верхов нарынской и основания пучукской свиты. По данным химического анализа штуфных проб содержание пятиокиси фосфора составляет 0,28—0,92. Проявлений фосфоритов не обнаружено, но они известны за пределами рассматриваемой площади [24]. В случае необходимости можно рекомендовать постановку детальных опробовательско-поисковых работ в зоне контакта нарынской и пучукской свит.

Аbrasивные материалы

Корунд и наждак

Единственное проявление корунда (III-2-1) расположено в истоках р. Хап-Суг на левом его борту. Проявление связано с жилами и прожилками сиенит-пегматитов, залегающих среди линзующихся прослоев гнейсов сангиленской серии. Размеры тел пегматитов 0,1×1,5, 0,1×0,4, 0,3×10 м. Сложены сиенит-пегматиты микроклин-пертитом с незначительным количеством мусковита, плагиоклаза, биотита, корунда. По данным В. А. Владимира [26], содержание корунда колеблется от 1 до 7% и в среднем составляет 2,6%. Прогнозные запасы его 14 т. Практического значения проявление не имеет.

Шлиховым опробованием корунд установлен в 28,4% проб с содержанием 5—10 знаков. Он распространен довольно равномерно по площади. Лишь в среднем течении р. Хайгас в двух пробах установлено 75 и 100 знаков корунда. Коренным источником корунда являются, по-видимому, жилы щелочных сиенит-пегматитов.

А. В. Григорьевым упоминаются корундовые скарны в верховьях руч. Оругты. Скарны, а также сиенит-пегматиты бассейнов руч. Оругты и р. Баян-Хол требуют дополнительного изучения на обнаружение корунда. Лишь только после проведения этих работ можно сделать заключение о промышленной их ценности.

Прочие неметаллические ископаемые

Слюдя

Ара-Булакское месторождение мусковита (IV-1-6) расположено в истоках р. Ара-Булак. Месторождение детально изучено с поверхности при поисково-оценочных [25] и ревизионных работах. Оруденение локализуется в жильных телах пегматитов, описание которых приведено в разделе «Интрузивные образования». Гнездообразные выделения мусковита приурочены к участкам блокового и крупнокристаллического пегматоида. Мусковит имеет пластинчатую, иногда ленточную и клиновидную форму кристаллов, окраска которых бурая в толстых пачках и светло-бурая в тонких пластинках. Поверхность кристаллов слабоволнистая, кристаллы упругие хорошей щипкости. Посторонние включения, кроме воздушных, встречаются редко. Все кристаллы сильно трещиноваты, полезная площадь 1×1 см встречается редко. По данным Э. Л. Вааранда [33] содержание мусковита в пегматитовых жилах колеблется в пределах 0—12,5 км³ и в среднем составляет 4 кг/м³. Причем высокие содержания характерны для жил, расположенных в верхней части уровня эрозионного среза. Промышленных концентраций мусковита на месторождении нет.

Графит

Графит пользуется очень широким распространением в пределах площади и встречается повсеместно в породах балыктыгхемской, чартысской, нарынской свит, нередко в жильных дerrickатах гранитоидов сютхольского комплекса, залегающих среди графитоносных толщ. Наиболее обогащены графитом породы чартысской и балыктыгхемской свит, где он встречается в виде равномерно рассеянной мелкочешуйчатой вкрапленности в количествах от 0,1 до 5%. В зонах разрывных нарушений среди по-

род указанных свит нередко встречаются примазки, мелкие линзы, выполненные скрытокристаллическим графитом.

Подобного типа проявление (III-2-5) встречено в верховьях руч. Ветвистого (левый приток р. Хап-Суг) в 2800 м севернее высоты 2714 м. Среди мраморов нарынской свиты канавой вскрыта зона графитовой минерализации мощностью 12,5 м, протяженностью не менее 80 м. Зона сложена карбонатно-кремнистыми породами с содержанием графита 20—40%. Графит мелкочешуйчатый, чаще скрытокристаллический. Рудное тело опробовано по мощности бороздовыми пробами, результаты анализов которых приводятся в табл. 10, 11.

Таблица 10
РЕЗУЛЬТАТЫ ХИМИЧЕСКОГО АНАЛИЗА ГРАФИТА, %

№ проб.	W ^a	A ^a	A ^c	V ²	S ^{a общ}	C ^{a общ}	C ^{c общ}	CO ²	C ^{a карб.}
7-1	0,32	84,55	84,77	—	0,16	5,69	36,69	0,85	0,096
7-2	0,60	79,81	80,29	—	0,11	6,38	32,57	1,84	0,50
84	0,27	79,80	80,02	—	0,16	5,88	29,50	0,40	0,11

Таблица 11
РЕЗУЛЬТАТЫ ХИМИЧЕСКОГО АНАЛИЗА ЗОЛЫ, %

№ проб.	SiO ₂	Fe ₂ O ₃	Al ₂ O ₃	CaO	MgO	Na ₂ O	K ₂ O
7-1	72,00	3,59	14,45	2,92	0,53	5,20	0,41
7-2	68,59	8,09	11,76	5,46	0,60	2,79	0,60
84	82,18	3,19	7,68	2,34	0,68	1,87	0,54

Судя по данным качественной и количественной характеристики, графитовые руды не отвечают требованиям промышленности к качеству минерального сырья. Рекомендуются поисково-оценочные работы на этот вид сырья.

Строительные материалы

Разнообразнейшие строительные материалы, имеющиеся на описываемой площади, в настоящее время не используются, так как район экономически совершенно не освоен.

Мраморы. Известняки

Наиболее распространены в районе залежи известняков и мраморов. Эти породы входят в состав большинства стратиграфических единиц и слагают громадные площади. Запасы их практически неисчерпаемы. О качестве карбонатных пород

можно судить по данным химических анализов проб, отобранных довольно равномерно по всей площади. Так, содержание окиси кальция составляет 44,3—55,38%, окиси магния — 0—1,61%, окиси кремния — 0,02—8,48%, нерастворимого остатка — 0,68—9,04%. Судя по анализам, известняки и мраморы во многих случаях удовлетворяют самым высоким требованиям промышленности. Некоторые разновидности карбонатных пород вполне могут быть использованы в качестве природного строительного и декоративного камня. В случае необходимости в районе могут быть разведаны промышленные запасы этого вида сырья.

Доломиты

Доломиты пользуются незначительным распространением в пределах площади и встречены лишь в верховьях р. Улан-Эрге. Приурочены к верхам разреза нарынской свиты.

Химический состав доломитов: CaO—23,13—34,0%, MgO—15,73—21,57%, SiO₂—0,08—24,6%. Нерастворимый остаток — 0,64—26,2%.

В этом районе вполне можно ожидать промышленного по запасам месторождения доломитов.

Оптические материалы

Исландский шпат

Проявления оптического кальцита широко распространены в пределах описываемой площади. Лучше всего изучено Адырбутское месторождение (III-1-3), расположенное по левому берегу долины р. Баян-Гол в пределах левых притоков ручьев Адырбут I и Адырбут 2. На месторождении была проведена предварительная разведка с подсчетом запасов, в 1955 г. оно было передано в эксплуатацию [33]. Кальцитоносное поле сложено графитизированными мраморами чартысской свиты с прослойями кварцитов и гнейсов. В пределах поля распространены дайки плагиогранитов, диабазов, жилы пегматитов, кварца, кальцита. Площадь поля около 2 км². Шпатоносные тела располагаются в трещинах (зонах) тектонического происхождения, оперяющих крупные разрывные нарушения. Наибольшая насыщенность погребами наблюдается в центральных частях зон, а к периферии размер погребов уменьшается. Форма гнезд и погребов самая различная: изометрическая, линзообразная, уплощенная. Размеры гнезд варьируют в пределах 0,2—0,5 м, погребов — от 0,5 до 2—4 м по длиной оси. Кристаллы исландского шпата изометрической формы, несколько сплюснуты по плоскости прирастания, из подобных кристаллов получены моноромбоздры размером 55×37×36 мм и меньше, редко — 200×150×170 мм. При эксплуатации месторождения выяснилось, что кондиционных кри-

сталлов оптического кальцита оно не содержит, поэтому месторождение отнесено к разряду непромышленных.

Жинхемское проявление (IV-3-1) расположено по левому берегу долины одноименной реки, в 7 км выше устья. В районе проявления, на площади около 2,5 км² известно около 100 точек кальцитовой минерализации. Все они представлены минерализованными зонами дробления, состоящими из серии пересекающихся кальцитовых жил. В центральных частях зон обнаружены погреба с головками исландского шпата изометрического или несколько сплющенного габитуса размером до 20—30 см. Кристаллы из погребов совершенно прозрачны, реже слегка окрашены в желтый цвет или полуопаки. Дефектом их являются многочисленные трещины эпигенетического характера. Кондиционных моноромбоздров не получено [33]. На проявлении рекомендуется постановка детальных ревизионно-оценочных работ.

Качикский участок (IV-2-1) представлен зоной шпатоносной минерализации, расположенной на правом берегу одноименной реки в 5 км выше устья руч. Хорумнуг-Суг. В графитистых мраморах Нарынской свиты выделяется зона дробления северо-восточного простирания. Зона прослежена на 4,5 км при видимой ширине 500 м и вскрыта эрозией на глубину 250—300 м. В этой зоне наблюдаются многочисленные пересекающиеся кальцитовые жилы, прожилки и каверны. Последние имеют размеры от 0,5×1 до 10×20 м. Общее количество каверн на площади 2,25 км² не менее 3%. В северо-восточной части проявления вскрыто два полуразрушенных погреба размерами 1,2×2,2 и 3×4 м, выполненных крупными кристаллами кальцита. Из погребов получено 500 г моноромбоздров размером 25×25×15 мм и мельче совершенно прозрачных, без видимых включений, свиляй. Площадь минерализации с прямыми поисковыми признаками на оптический кальцит рекомендуется для постановки детальных поисково-оценочных работ.

Шпатоносные проявления в бассейне рек Кары (I-4-1), Чахыртой (IV-4-1,9), Нарын (III-2-6), верхнем течении р. Балыктыг-Хем (III-3-3, 8, 13, 14, 15) и других местах представлены кальцитовыми жилами, залегающими среди карбонатных отложений. Размеры проявлений невелики, оптических разностей кальцита в них не установлено [33]. Проявления практического значения не имеют.

ПОДЗЕМНЫЕ ВОДЫ

Территория района представляет собой гидрогеологический массив с незначительно развитым покровом рыхлых четвертичных отложений. В связи с этим гидрогеологические условия характеризуются широким развитием трещинных вод зоны выветривания кристаллических пород, трещинно-карстовых и тре-

щинно-жильных вод тектонических зон. Воды рыхлых отложений относятся к типу поровых и порово-пластовых. Мощность трещинной зоны, а следовательно, и обводненность пород по данным бурения по правому борту р. Тес-Хем (к западу от района) колеблется в пределах 150—180 м. Водоносность зависит от состава пород, степени их закарстованности и трещиноватости.

Наиболее водоносны карбонатные породы, где развиты трещинно-карстовые воды. Дебиты источников достигают здесь 8—10 л/с. Менее водоносны толщи рассланцеванных терригенных пород с дебитами источников 0,2—2 л/с. Интрузивные породы характеризуются различной водообильностью, колеблющейся в пределах 0,2—10 л/с, однако преобладают источники с дебитом до 1 л/с. Несколько особняком по водообильности стоят трещинно-пластовые воды зон тектонических нарушений, где дебиты источников составляют от 1 до 30 л/с (район руч. Ара-Булак). Поровые и порово-пластовые воды приурочены к рыхлым отложениям конусов выноса, аллювию рек и моренным образованиям. Дебиты источников данного типа вод не превышают 2—3 л/с. В пониженных частях рельефа порово-пластовые и трещинные воды, как правило, образуют единый водоносный горизонт.

Формирование подземных вод района происходит в условиях высокогорного сильно расчлененного рельефа с широко развитой зоной многолетней мерзлоты. Питание вод осуществляется главным образом за счет инфильтрации атмосферных осадков, сезонного таяния мерзлой зоны и в меньшей мере за счет оттока вод из поверхностных водотоков. Горные породы хорошо промыты, в связи с чем преобладают ультрапресные и пресные воды. Источники весьма холодные с температурой 3—5, реже 6—8°. Сильно расчлененный рельеф района способствует выходу многочисленных часто дрейфующих источников подземных вод. Лишь на территории крайнего юго-запада и юга территории, характеризующейся более сложенным рельефом, выход подземных вод затруднен, вследствие чего обводненность здесь более слабая.

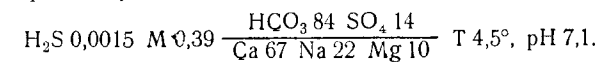
По химическому составу выделяются три фации подземных вод. Наиболее распространеными являются гидрокарбонатно-кальциевые воды, что обусловлено широким развитием карбонатных отложений. Данная фация характеризуется небольшой минерализацией от 0,05 до 0,75 г/л, преобладает 0,2—0,3 г/л, pH колеблется в пределах 6,2—7,5, преобладает 7,3—7,5, общая жесткость составляет 1,6—4,5 мг·экв. Воды отдельных источников обладают углекислой агрессией.

Фация гидрокарбонатно-кальций-натрий-калиевые вод приурочена, в основном, к полям развития интрузий таннуольского, сютхольского и сангиленского комплексов. Воды слабо минерализованы (0,065—0,37 г/л), жесткость их составляет 0,2—3,00 мг·экв, pH — 6,4—7,8.

Фация гидрокарбонатно-кальций-магниевых вод связана с полями развития терригенных образований и характеризуется слабой минерализацией (0,1—0,3 г/л), жесткостью 1,3—4,3 мг·экв, pH — 7—7,5.

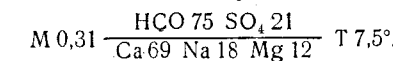
Воды сложного состава — гидрокарбонатно-сульфатно-хлоридные кальций-магний-натрий-калиевые встречаются в районе месторождения Улуг-Танзек и в бассейне р. Цзайга-Гол, где развиты терригенно-карбонатные отложения, прорванные интрузиями альбитизированных гранитондов с редкоземельно-редкometальной минерализацией.

В бассейне р. Нарын в 2 км ниже прииска известен источник сероводородных вод. Водовмещающими породами здесь являются известняки. Количественное определение подтвердило наличие сероводорода:



Воды этого источника используются населением Эрзинского района в лечебных целях, но из-за низких минеральных концентраций лечебная ценность их сомнительна.

На правом берегу р. Тарги в 12 км выше устья имеется источник холодных пресных вод, которые также используются местным населением в лечебных целях. Водовмещающими породами здесь также являются известняки нарынской свиты. По данным анализа воды имеют следующий состав:



В водах источника обнаружен радон в пределах нормального естественного фона (2 эмана на 1 л). Лечебная ценность данных вод также сомнительна.

Спектральный анализ сухих остатков водных проб, отобранных на рассматриваемой площади, показал наличие в них следующих микрокомпонентов: свинца, олова, сурьмы, ванадия, никеля, хрома, меди, циркония, титана, ртути, молибдена, серебра, висмута, бериллия, цинка, мышьяка, марганца, бария. Отдельные микрокомпоненты создают довольно четкие ореолы рассеяния (рис. 4). Так, в бассейне р. Кары в северо-восточной части района, где развиты эфузивно-терригенно-карбонатные отложения, прорванные интрузиями таннуольского, сютхольского и сангиленского комплексов, четко выделяется ореол рассеяния циркония. Содержание его составляет 5—33 мкг/л. Кроме циркония, в отдельных пробах содержится цинк (30—70 мкг/л), свинец (до 2,20 мкг/л), сурьма (до 21 мкг/л), фосфор (100—200 мкг/л), барий (20—30 мкг/л).

Ореолы рассеяния никеля, никеля-молибдена и никеля-серебра отмечаются в бассейнах рек Чартис, Нарын, Балыктыг-Хем и приурочены к Нарынско-Жинхемской и Балыктыгхемской зо-



Рис. 4. Схема ореолов рассеяния микрокомпонентов по данным гидрохимического опробования.

1 — отложения нижнего структурного яруса (балыктыгхемская и чартысская свиты); отложения верхнего структурного яруса: 2 — отложения венда (нарынская свита); 3 — отложения нижнего кембрия (пучукская свита и ходзяихская толща); интрузивные образования: 4 — таннуольский комплекс, 5 — сютхольский комплекс, 6 — сангиленский комплекс; 7 — ореолы рассеяния микрокомпонентов; 8 — разломы; 9 — стратиграфические границы.

нам разломов. Содержание никеля составляет 1—2 мкг/л. Кроме никеля, отмечаются молибден, серебро, свинец, мышьяк, сурьма, титан, ванадий (до 10 мкг/л), медь (40—70 мкг/л), ртуть (10—12 мкг/л), барий (25—35 мкг/л), фосфор (30—85 мкг/л).

Ореолы рассеяния свинца выявлены в междуречье Нарын-Качик, Тарги — Жин-Хем — Цоригин-Гол, Чахыртой — Сайлик, Бурга — Цзайга-Гол. Совместно со свинцом, содержание которого составляет 2—5 мкг/л, отмечается целый комплекс микроэлементов — цирконий, ртуть, молибден, бериллий, цинк, никель, мышьяк, барий. Ореолы свинца приурочены к полям развития интрузий щелочных и щелочно-основных пород сангиленского комплекса и альбитизированных гранитов сютхольского комплекса.

Ореолы ртути совместно с серебром отмечены в бассейне р. Сольбельдер и по левому борту р. Тарги, где пользуются развитием субмеридиональные зоны нарушений и развиты интрузии сангиленского комплекса. Содержание ртути в пробах 1—11 мкг/л, серебра — 1 мкг/л. Кроме этого, в водах содержатся висмут, молибден, свинец (3 мкг/л), сурьма (1 мкг/л), цинк, барий и фосфор (до 30 мкг/л), бор (217 мкг/л).

В нижнем течении рек Бурга и Цоригин-Гол, в прионтактовой части интрузий сютхольских граносиенитов вырисовывается ореол рассеяния бериллия (9,1—0,2 мкг/л), совместно с которым в пробах присутствуют никель (2 мкг/л), цирконий (5 мкг/л), мышьяк (7 мкг/л), барий (18—26 мкг/л).

Ореолы рассеяния титана (8—11 мкг/л) отмечен в междуречье рек Нарын — Баян-Гол и титана-марганца в нижнем течении р. Качик, где развиты терригенные отложения. Содержание марганца составляет 19—26 мкг/л. Кроме этого, воды содержат бериллий (0,1 мкг/л), медь (32—68 мкг/л), свинец (3 мкг/л), мышьяк (6—8 мкг/л), сурьму (3—4 мкг/л), цирконий (14—61 мкг/л).

Выявленные ореолы рассеяния в большинстве случаев локализуются в пределах известных редкометальных поясов — Северного и Южного. Причем ореол свинца междуречья Тарги — Жин-Хем — Цоригин-Гол подтверждается несколько меньшим по площади шлиховым ореолом и проявлением свинца. Ореол рассеяния в бассейне Карыг частично перекрывается шлиховым ореолом циркона, который связан, по-видимому, с проявлениями циркона в щелочных интрузивах сангиленского комплекса, широко развитых в этой части района. Ореолы рассеяния никеля связаны, по-видимому, с зонами пиритизации, приуроченными к разрывным нарушениям в бассейнах рек Чартий, Нарын, Балыктыг-Хем. Зоны пиритизации характеризуются высокими содержаниями пирротина и пирита (до 30—40%). Причем пирротин встречается чаще и в больших содержаниях чем пирит. Очень интересны в поисковом отношении ореолы рассеяния рту-

ти, коренной источник для которых неясен. В шлиховых пробах киноварь обнаружена в трех шлихах в количестве 1—5 знаков в бассейне Ара-Булак и в верховьях р. Бурга. Рудопроявления ртути в районе не известны. Также неясен коренной источник ореолов рассеяния свинца в междуречье Нарын — Качик, Сайлик — Чахыртой, Бурга — Цзайга-Гол.

ОЦЕНКА ПЕРСПЕКТИВ РАЙОНА

К началу пересъемки район уже был известен как перспективная минерально-сыревая база редких и рассеянных металлов. Но значительная удаленность этой базы от промышленных комплексов, а также отсутствие в районе путей сообщения задерживали ее освоение.

В ближайшее время намечается широкое развитие минерально-сыревой и промышленно-энергетической базы Сибири, а следовательно, район приблизится к вновь строящимся промышленным комплексам. В связи с этим безусловно возрастет потребность промышленности в редких, рассеянных, цветных и других металлах, а значит, создается реальная возможность освоения описываемого района.

В районе известно уникальное по запасам редкометальное Улуг-Танзекское месторождение, ценность которого определяется огромными запасами тантала, а недалеко за его пределами имеется не менее важное литиевое Тастыгское месторождение. Кроме этого, в районе имеется целый ряд рудопроявлений черных (титан) и цветных (свинец, алюминий) металлов, россыпи золота, известны проявления химического сырья (флюорит), минеральных удобрений (апатит), абразивных материалов (корунд, наждак), прочих неметаллических ископаемых (слюда, графит) и оптических материалов (исландский шпат). Район обладает практически неисчерпаемыми запасами строительных материалов (мрамор, известняк, доломит, бутовый камень и др.).

На основании выявления некоторых закономерностей в размещении указанных рудопроявлений и месторождений, а также приуроченности их к определенным геологическим структурам, в районе выделен целый ряд площадей, перспективных для постановки детальных поисково-разведочных и поисково-оценочных работ с целью обнаружения в их пределах новых месторождений подобных Улуг-Танзекскому, Тастыкскому и других. На прилагаемой к тексту оценочно-перспективной схеме (рис. 5) среди рекомендемых площадей выделяются перво (A)- и второочередные (B).

К первоочередным, кроме Улуг-Танзекского месторождения (A-I-a), относятся площади в междуречье Тарбагатай—Карги (A-I-b), в бассейне верховьев р. Нарын (A-I-b), а также в бассейне р. Сольбельдер (A-II-a) и на юго-востоке в бассейнах рек Качик и Цзайга-Гол (A-II-b).

К числу второочередных принадлежат площади, расположенные в северной части района в бассейне рек Бурен, Эрзин, Тарбагатай, Карги (B-1), в междуречье Карги—Балыктыг-Хем (B-2), в бассейне р. Сольбельдер (B-3), по левому борту р. Жин-Хем (B-5), в правом борту верховья р. Качик (B-4), в междуречье Тарги—Жин-Хем (B-6) и в бассейне р. Цзайга-Гол (B-7).

Одновременно с геологоразведочными работами на Улуг-Танзекском месторождении необходимо произвести поиски и поисково-оценочные исследования в масштабе 1:10 000—1:25 000 на площади B-I-a, занимающей около 450 км² в зоне Агардаг-Эрзинского разлома, где известен ряд малоизученных рудопроявлений Танзекского типа. На этой площади выявлен также геохимический ореол повышенной концентрации тантала и ниobia (левый борт верховий р. Бурен).

Кроме того, подобного типа работы необходимо провести на площади B-7 (около 150 км²) в районе Цзайгольского интрузивного массива, где широко развиты пегматиты и процессы альбитизации. Здесь известны рудопроявления редких земель и шлиховой ореол моноцита и циркона. Детальное изучение этих площадей позволит значительно расширить минерально-сыревую базу Улуг-Танзекского месторождения.

На базе Саяно-Шушенской ГЭС будет создан новый промышленный комплекс по переработке алюминиевого сырья. Для этого комплекса потребуется крупная минерально-сыревая база, частью которой может стать данный район, как один из главных поставщиков алюминиевого сырья. В связи с этим для детальных поисково-оценочных работ в первую очередь рекомендуется Баянкольская интрузия (A-I-a), размещающаяся в среднем течении р. Баян-Хол (левый приток р. Карги). Южная часть этой интрузии сложена однородными уртитами с содержанием окиси алюминия до 27,5%. Прогнозные запасы в этом массиве составляют около 200 млн. т алюминия.

Кроме Баянкольского массива, необходимо подвергнуть детальному изучению и другие сиенитовые интрузии сангиленского комплекса в междуречье Карги—Балыктыг-Хем (B-2), в междуречье Балыктыг-Хем—Сольбельдер (B-3), в левом борту р. Жин-Хем (B-5), по левому борту р. Тарбагатай и в верховье р. Бурен (в пределах площади B-I). Прогнозные запасы алюминиевого сырья по всему району оцениваются приблизительно в 1 млрд. т.

В бассейне верховьев р. Нарын при отработке россыпи золота была выявлена в песках значительная концентрация минералов висмута (базовисмутита и самородного висмута) в количествах до 20 г/м³. Базовисмутит встречается здесь и в протолочных про-бах, отобранных в коренных породах из зон гидротермального изменения и окварцевания. Эти данные позволили выделить здесь площадь около 120 км² (A-I-b) для постановки детальных

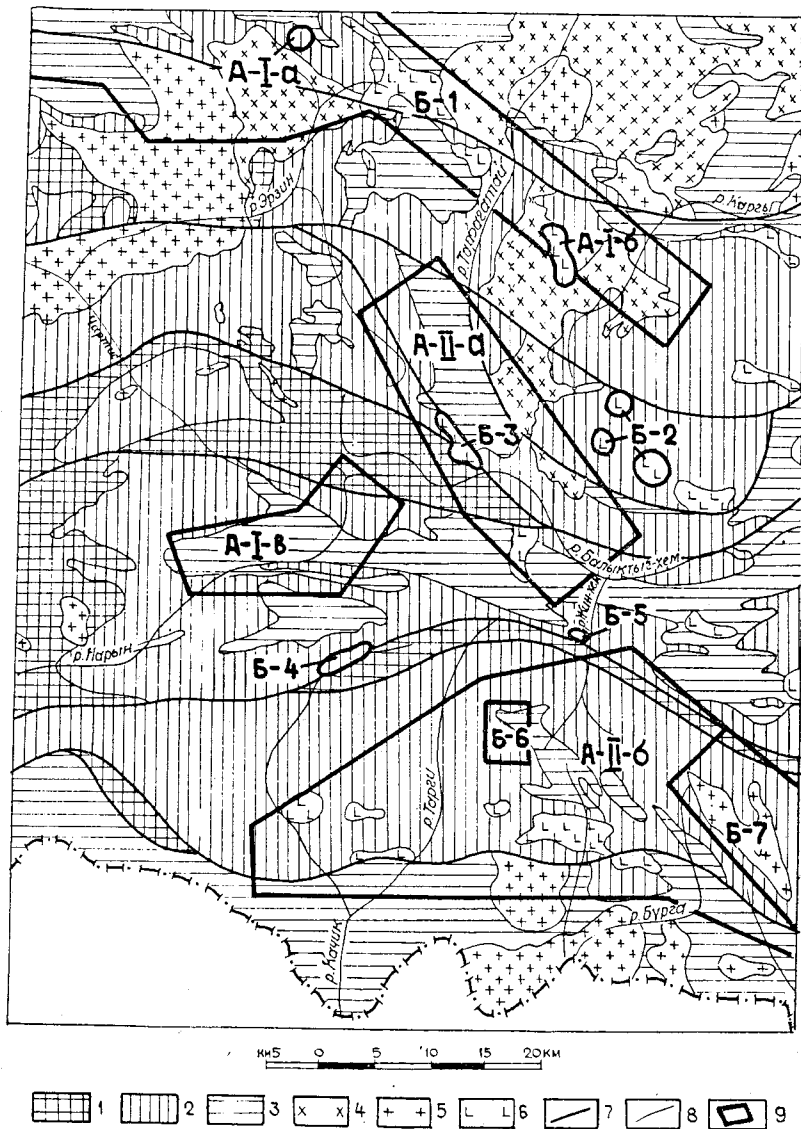


Рис. 5. Оценочно-перспективная схема

1 — отложения нижнего структурного яруса (балыктыгхемская и чартысская свиты);
2 — отложения верхнего структурного яруса; 3 — отложения венда (нарынская свита); 3 — отложения нижнего кембра (пучукская свита и ходалахская толща); интрузивные об-
разования: 4 — таннуольский комплекс; 5 — сюхольский комплекс; 6 — сангиленский
комплекс; 7 — разломы; 8 — стратиграфические границы; 9 — площади, рекомендуемые
для детальных работ: А — первоочередные, Б — второочередные; А-I — детальные по-
исково-разведочные работы м-ба 1 : 5000—1 : 10 000; А-II — поисково-ревизионные рабо-
ты м-ба 1 : 10 000—1 : 25 000; Б — детальные поиски и поисково-разведочные работы м-ба
1 : 10 000 и 1 : 50 000.

поисковых работ м-ба 1 : 10 000 — 1 : 25 000 с целью выявления коренного источника висмута. Предполагается, что возможным коренным источником висмута и золота на этом участке могут быть зоны гидротермальной проработки, приуроченные к широко развитым здесь дисьюнктивным структурам. Поисковые работы рекомендуется проводить используя, кроме поисковых маршрутов, горные выработки, детальное шлиховое опробование рыхлых отложений и отбор протолочных проб из зон гидротермального изменения. Рекомендуемые работы на этом участке начаты в 1972 г. партией ТГРЭ.

В бассейне р. Сольбельдер и на юге в бассейнах рек Качик, Жин-Хем, Цзайга-Гол выделены две площади для детальных поисковых работ, размещающиеся первая (А-II-а, 330 км²) — в пределах северного, а вторая (А-II-б, 550 км²) — южного поясов проявления литиевой минерализации. В пределах этих поясов известен целый ряд рудопоявлений с минерализацией редких и рассеянных элементов. На этих площадях в пределах известных рудопоявлений рекомендуется провести поисковые работы с целью выявления в них цезиевой минерализации. Основанием для подобных рекомендаций являются благоприятные геологические данные.

В бассейне р. Сольбельдер рекомендуемая площадь представляет основную часть Сольбельдерской грабен-синклинали, а на юге размещается в пределах Качикского синклинория в зоне сочленения ее с Таргинским антиклинорием. Как на одной, так и на другой площадях в зонах сопряжения их со смежными структурами широко развиты сподуменовые пегматиты и процессы альбитизации, являющиеся основными благоприятными факторами для концентрации цезиевой минерализации. В сподуменовых пегматитах отмечаются лепидолит, рубеллит, полихромный турмалин, а на участке Шук-Бюльского рудопоявления в двух сподуменовых жилах обнаружен поллукит. В большинстве случаев в жилах со сподуменом отмечаются повышенные содержания оксида цезия.

На водоразделе рек Тарги — Жин-Хем рекомендована для детальных работ площадь в 45 км² (Б-б) с целью обнаружения промышленной концентрации свинцовых руд. Здесь в экзоконтактовой зоне сиенито-диоритового интрузивного массива выявлены скарны с содержанием галенита. На этой площади выявлены также ореолы свинцовой минерализации при шлиховом и геохимическом опробовании. Здесь необходимо провести поиск в м-бе 1 : 10 000—1 : 25 000 с целью установления размеров известного оруденения, выявления новых рудопоявлений.

По правому борту р. Качик известна зона минерализации (Б-4, 225 км²) с прямыми поисковыми признаками на оптический кальцит. Здесь наблюдаются многочисленные кальцитовые жилы. Канавами вскрыты два «погреба», в которых обнаружены прозрачные разности кальцита. Эта площадь рекомендуется

для постановки поисково-разведочных работ с целью добычи кристаллов оптического кальцита пригодных для промышленности.

При проведении детальных поисковых работ на рекомендуемых нами площадях основными методами будут поисковые маршруты, горные выработки (шурфы, каваны), детальное опробование (шлиховое в том числе). По имеющемуся опыту работ применение геофизических методов в районе несколько ограничено. Так, при поисках коренных источников рудопроявления тантала и ниобия необходимо опираться на радиометрический метод. Рудные тела обычно характеризуются повышенной гаммаактивностью, в 2—3, а то и в 10 раз превышающей нормальный фон вмещающих пород. Для месторождения Улуг-Танзек установлена прямая корреляционная зависимость радиоактивности пород от содержания тантала и ниобия. В то же время, редкометальные пегматиты обладают чаще всего низкой радиоактивностью и под рыхлыми образованиями мощностью 0,5—1 м. Они этим методом не обнаруживаются.

При применении на Кара-Адырском месторождении установок ИЖ и СКС оказалось, что жильные тела в карбонатной среде не выделяются.

На Нарынской площади (А-І-в), по-видимому, есть смысл при ведении поисков применить геофизические работы (методы ЕП и ВП) с целью выявления перспективных для опробования зон гидротермального изменения, обладающие к тому же интенсивной пиритизацией. Эти же два метода могут иметь успех и при ведении поисковых работ на площади Б-І-е при выявлении коренных источников свинцового оруденения.

ЛИТЕРАТУРА

ОПУБЛИКОВАННАЯ

1. Алтухов Е. Н. О месте рифейского интрузивного магматизма в структуре нагорья Сангилен (Тыва). Докл. АН СССР, т. 157, № 5, 1964.
2. Божинский А. П., Казакевич Ю. П. Золотоносные россыпи Алтае-Саянской складчатой зоны (Кузнецкого Алатау, Западного Саяна, Тувы, Саланского кряжа и Горного Алтая), условия их формирования и размещения. Тезисы докл. на научн. сессии по изуч. закономерности размещения россыпей. М., 1959.
3. Владимирский Г. М., Волков В. В., Журавлева И. Т. О находках остатков археозиат в протерозое Юго-Восточной Тувы. Докл. АН СССР, вып. 171, № 6, 1966.
4. Владимирский Г. М., Волков В. В. Новые данные о возрасте верхнечартысской подсвиты нагорья Сангилен (Тыва). В кн.: Стратиграфия докембрия и кембрия средней Сибири. Красноярск, 1967.
5. Геология СССР, т. XXIX Тувинская АССР. Часть I и II. Недра, 1966.
6. Гудилин И. С., Додин А. А., Нордега И. Г. Объяснительная записка к геоморфологической карте Тув. авт. обл. м-ба 1:5 000 000. Госгеолиздат, 1952.
7. Журавлева З. А. Онколиты и катографии рифея и нижнего кембра Сибири и их стратиграфическое значение. Тр. ГИН, вып. 114, 1964.
8. Ильин А. В., Моралев В. М. Объяснительная записка к геологической карте и карте полезных ископаемых СССР м-ба 1:200 000. Сер. Западно-Саянская, листы М-47-XIII/XIX, М., Госгеолтехиздат, 1959.
9. Кудрина М. А. Некоторые черты минералогии и геохимии ниobia и тантала в пневматолито-гидротермальном процессе, связанном с субщелочными породами. Минеральн. сырье, вып. 7, 1963.
10. Межеловский Н. В., Мальцев Ю. М., Канищев В. М. О возрасте чахыртойской и уланэргинской свит Сангиленского нагорья. Тр. СНИИГГиМС, вып. 60. Стратиграфия, литология и вопросы металлогении палеозоя и позднего докембра Алтае-Саянской области. Красноярск, 1968.
11. Рогов Н. В., Уссар Р. Т. О восточном продолжении Агардаг-Эрзинского глубинного разлома (Тыва). «Геология и геофизика», № 2, 1967.
12. Смирнов А. Д., Алтухов Е. Н. Сопоставление разрезов докембра Верхнего Саяна и Сангиленского нагорья Тувы. Докл. АН СССР, т. 145, № 1, 1962.
13. Смирнов А. Д., Алтухов Е. Н. О возрасте чахыртойской, уланэргинской и нижнетапсинской свит Сангиленова (Юго-Восточная Тыва). Изв. АН СССР, № 6, 1964.
14. Яшина Р. М. Щелочные породы Юго-Восточной Тувы. Изв. АН СССР, сер. геол. 1967, № 5.
15. Яшина Р. М., Кононова В. А. Месторождения нефелина и нефелиновых сиенитов на юго-востоке Тув. авт. обл. Тр. регион. совещ. по развитию производств. сил Тув. авт. обл., Новосибирск, 1960, АН СССР.

16. Айдзердзис Д. Я., Кононков Н. А. и др. Отчет о результатах геолого-съемочных и разведочных работ на редкометальном месторождении Улуг-Танзек и верховьях рек Эрзин, Сайлик и Бурен. (Отчет ГРП I за 1961 г.), 1962, № 624.
17. Алексинская Л. Н. и др. Отчет о работах 1962 г. на Улуг-Танзекском месторождении. 1963, № 679.
18. Архангельская В. В., Гудилин И. С. и др. Геологическое строение бассейна верхнего и среднего течения р. Балыкты-Хем, верховьев р. Карги и рек Хусун-Гол, Дзайгол-Гол, Дзос, Цоргин-Гол, Тарги. Отчет полевых геологических партий № 2, 3, 1952, № 52.
19. Безпалько А. Г., Григорьев А. В. и др. Геологическое строение бассейнов рек Эрзин, Нарын, Качик (М-47-49, 71, 73). (Отчет полевой геологической партии № 1), 1952, № 899, 51.
20. Бирюков В. С., Кононков Н. А. и др. Геологический отчет по предварительной разведке тантало-ниобиевого месторождения Улуг-Танзек в Юго-Восточной Туве в 1958—1962 гг. 1963, № 709.
21. Божинский А. П. Предварительный отчет о геолого-поисковых работах в Эмийском и Нарынском золотоносных районах в 1944—1945 гг. 1945, № 1194.
22. Божинский А. П. Обзор золотоносных районов Тувинской авт. области. 1947, № 1192.
23. Бордоносов В. П., Крайнюков П. А. и др. Улуг-Танзекское месторождение редких металлов в Тувинской АССР (Отчет о геологоразведочных работах за 1964—1965 гг. с подсчетом запасов по состоянию на 1 января 1966 г.). 1965, № 971.
24. Боровская И. С., Мысякина В. С., Юдин Н. И. Перспективы фосфоритоносности рифейских и нижнекембрийских отложений Тувы и Западного Саяна. 1965, № 956.
25. Варанд Э. Л., Беззубцев В. В. Отчет Тувинской ПРП о поисково-разведочных работах на слюду за 1954 г., 1955, № 572.
26. Владимиров В. А. Результаты поисково-оценочных работ на Хап-Сугском рудопроявлении корунда. (Окончательный отчет по работам Суглухемского отряда в 1968 г.). 1969, № 1232.
27. Габеев В. А., Жигулин В. В. и др. Промежуточный отчет о геолого-поисковых работах Кундулской партии за 1963 г. 1964, № 789.
28. Дробинина Н. Я., Шешулин Г. И., Карета К. М. Информационный отчет о работах Хрустальной поисково-ревизионной партии за 1954 г. 1955, № 224.
29. Жуков М. А., Иванов В. Л. и др. Отчет о поисково-съемочных работах партии № 83 — восточная в бассейнах рек Сольбельдер и Тарбагатай в 1955 г. 1956, № 270.
30. Жуков М. А., Романов В. Е. и др. Результаты поисковых работ в бассейнах верхнего и среднего течения р. Балыкты-Хем и среднего течения р. Карги. 1957, № 296.
31. Игошин А. И., Карпенко Ф. М. и др. Результаты поисковых работ на литий в пределах нагорья Сангилен. Отчет партии № 146 по работам 1959 г. 1960, № 445.
32. Ильин А. В. и др. Стратиграфия докембрийских отложений Тувы. Отчет отряда № 1 Тематической партии № 12 за 1959 г. 1960, № 889.
33. Карпенко Ф. М., Немцович В. М. и др. Месторождения и проявления исландского шпата на юго-востоке Тувинской автономной области. (Окончательный отчет по результатам работ партии № 69 за 1954—1956 гг.). 1957, № 306.

* Работы, для которых не указано место хранения, находятся в фондах Тувинской геологоразведочной экспедиции.

34. Коновалова В. Н., Осетров О. А. и др. Отчет о результатах разведочных и поисковых работ, проведенных партией № 7 на Кара-Адырском месторождении, в бассейне р. Сольбельдер и в верховьях р. Тарбагатай 1958—1962 гг. (окончательный). 1963, № 706.
35. Костин Н. Е. и др. Оценка перспективности полей литиевых пегматитов Юго-Восточной Тувы и характеристика структуры, минерального состава и геологических условий образования Тастынского месторождения лития. 1961, № 496.
36. Кудрин В. С., Кудрина М. А. Геологические условия образования и вещественный состав руд Улуг-Танзекского месторождения тантала, ниобия и других редких элементов. 1964, № 737.
37. Кудрина М. А. Минералого-геохимические особенности Улуг-Танзекского месторождения тантала, ниобия и других редких элементов. 1964, № 814.
38. Левенко А. И. Отчет Балыктыгхемской партии за 1945 г. 1946, № 79.
39. Лиханов Б. Н. Отчет о работе Качикско-Балыктыгхемского геологопоискового отряда в 1949 г. 1949, № 133.
40. Мальцев Ю. М., Межеловский Н. В. Стратиграфия докембрийских, вендских и кембрийских отложений Тувы, Западного и Восточного Саяна и Кузнецкого Алатау. (Окончательный отчет Сангиленской партии за 1965—1967 гг.). 1968, № 1148.
41. Маркина Л. А. и др. Отчет о результатах поисково-ревизионных работ на редкие элементы на рудопроявлении Улуг-Танзек и в районе верховьев рек Эрзин и Бурен за 1958 г. 1959, № 626.
42. Мартянов Н. Н., Самсонова Н. С. О геологических условиях образования, закономерностях размещения, минералогии и геохимических особенностях некоторых редкометальных гранитных пегматитов нагорья Сангилен (Юго-Восточная Тува). 1959, № 409.
43. Митин И. Ф. Предварительный отчет о геолого-поисковых работах в бассейне р. Качик (район приска Нарын). 1942, № 1188.
44. Моралев В. М., Нечаева И. А. Отчет поисково-ревизионной партии № 9 по работам 1954 г., 1955, № 913.
45. Нечаева И. А. Отчет по результатам поисковых работ партии № 11 за 1955 г. 1956, № 251.
46. Нонешникова В. И. Отчет по теме № 1—16. Изучение концентраций аксессорных минералов и редких элементов в гранитоидах центральной и Юго-Восточной Тувы. 1963, № 738.
47. Пичугин Н. А. Отчет Улуг-Танзекского отряда. «Результаты технологических исследований руд Улуг-Танзекского месторождения». 1969, № 1243.
48. Подругин В. А., Сухоруков Л. А., Угрюмов Г. Я. и др. Результаты поисково-разведочных работ на золото в верховьях р. Нарын. (Промежуточный отчет Нарынской партии за 1964 г.). 1965, № 911.
49. Пожарский И. Ф., Гостева Т. С. и др. Геологическое строение бассейнов р. Улуг-Шивей и верховьев рек Эрзин, Бурен, Морен. 1953, № 923.
50. Потапов С. В., Онищенко В. А. и др. Материалы к государственной геологической карте СССР м-ба 1:200 000. Геологическое строение бассейнов рек Каа-Хем, Кызыл-Хем, Карги, нижнего течения р. Балыктыг-Хем и оз. Тере-Холь. Отчет о работе партий № 5, 6 и 7 за 1954 г. 1955, № 920.
51. Самородов П. В., Сухарев Б. П. Отчет о результатах поисковых работ Сангиленской партии № 147 за 1960 г. 1961, № 511.
52. Семенов Е. И., Капустин Ю. Л. и др. Отчет по теме 10—39. Редкие земли (минералогия, геохимия, типы месторождений). Редкие земли в месторождениях Сибири, связанных с щелочными породами. 1964, № 907.
53. Суворов Д. И. Отчет о геолого-поисковых работах Нарынской геолого-поисковой партии «Тувзолото». 1947, № 1182.

**СПИСОК ПРОМЫШЛЕННЫХ МЕСТОРОЖДЕНИЙ
ПОЛЕЗНЫХ ИСКОПАЕМЫХ, ПОКАЗАННЫХ НА ЛИСТЕ М-47-ХIII, ХIX
КАРТЫ ПОЛЕЗНЫХ ИСКОПАЕМЫХ М-БА 1 : 200 000**

Индекс клетки на карте	№ на карте	Вид полезного ископаемого и наименование месторождений	Ссылка на литературу (номера по списку литературы)	Примечание
I-2	2	Тантал, ниобий, редкие земли Улуг-Танзек	20, 23, 36	
III-2	12	Золото Прииск Нарын	21, 22, 48, 53	Русловая россыпь

54. Угрюмов Г. Я. и др. Отчет о геологосъемочных работах Кундуской партии № 17 за 1962 г. 1963, № 707.

55. Уханов Е. В., Коновалова В. Н., Тарасенко В. М. Отчет о результатах поисково-разведочных работ, проведенных партией № 7 в Эрзинском районе Тувинской авт. обл. (район оз. Дахуу-Нур и низовые руч. Ка-ра-Адыр) в 1959 г. 1960, № 625.

56. Хомизури Н. И., Демин Л. Г. Дополнение к отчету о поисково-разведочных работах, проведенных партией № 5 на юго-востоке Тувы в 1951 г. 1962, № 638.

57. Хомизури Н. И., Демин Л. Г. и др. Отчет о поисково-ревизионных работах, проведенных партией № 8 на юго-востоке Тувы в 1962 г. 1963, № 673.

58. Хомизури Н. И., Донченко Л. Л. и др. Отчет по поисково-ревизионным работам, проведенным поисково-ревизионной партией № 23 в бассейнах рек Хусун-Гол, Сольбельдер, Баян-Гол, Хунчол, а также на участках Агар-Даг и Тес-Хем (юго-восточная и южная Тува) в 1964 г. 1965, № 854.

59. Холяндра Л. И., Саранцев Ф. Г. и др. Результаты аэромагнитных исследований на юге Красноярского края и в Тувинской АССР на площади листов N-46-XIII, XIV, XXII, XXVI и M-47-XIII. (Отчет Саянскому аэрогеофизической партии по Можарскому и Сангиленскому объектам за 1969 г.). 1970, № 1275.

60. Хрипунов А. С., Рогов Н. В. и др. Геологическое строение и полезные ископаемые бассейна верховий р. Эрзин (листы М-47-49-Б, М-47-49-Г). Окончательный отчет по работам 1962—1964 гг.). 1965, № 978.

61. Хрюкин В. Г. Окончательный отчет по теме 2—70. Пегматиты как фации и фазы гранитов на примере нагорья Сангилен. 1965, № 1013.

62. Шешулин Г. И. Условия образования месторождений и проявлений исландского шпата, оценка промышленных перспектив юго-восточной части Тувы. 1957, № 304.

63. Шербаков Л. Н., Павлов А. Н. и др. Отчет о поисково-съемочных работах партии № 83 — западная в бассейне верховьев р. Эрзин (M-47-49) в 1955 г. 1956, № 255.

64. Юдин Н. И. Отчет по результатам полевых работ 1962 г. по теме: «Перспективы фосфатоносности Тувы и Западных Саян». 1962, № 606.

65. Яшина Р. М. Докладная записка о новом месторождении нефелина в бассейне р. Чик Эрзинского района Тувинской авт. обл. 1953, № 164.

66. Яшина Р. М. Итоговый отчет (1961—1966 гг.) о работе по проблеме и изучению щелочного магматизма и связанной с ним минерализации в областях различного тектонического строения. 1967. № 1081.

ПРИЛОЖЕНИЕ 2

**СПИСОК НЕПРОМЫШЛЕННЫХ МЕСТОРОЖДЕНИЙ
ПОЛЕЗНЫХ ИСКОПАЕМЫХ, ПОКАЗАННЫХ НА ЛИСТЕ М-47-ХIII, XIX
КАРТЫ ПОЛЕЗНЫХ ИСКОПАЕМЫХ М-БА 1:200 000**

Индекс клетки на карте	№ на карте	Вид полезного ископаемого и наименование месторождений	Ссылка на литературу (№ по списку литературы)	Примечание
II-3	8	<i>Литий</i> р. Кара-Адыр	34	
IV-1	6	<i>Слюдя</i> р. Ара-Булак	25	
IV-4	12	<i>Доломит</i> р. Улан-Эрге	8	
III-1	3	<i>Исландский шпат</i> Адырбутское	33	
III-2	3	<i>Золото</i> р. Хал-Суг (приток р. Нарын)	48	
IV-3	8	Среднее течение р. Тарги	22, 43	

**СПИСОК ПРОЯВЛЕНИЙ ПОЛЕЗНЫХ ИСКОПАЕМЫХ,
ПОКАЗАННЫХ НА ЛИСТЕ М-47-ХIII, XIX
КАРТЫ ПОЛЕЗНЫХ ИСКОПАЕМЫХ М-БА 1:200 000**

Индекс клетки на карте	№ на карте	Вид полезного ископаемого и название (местонахождение) проявления	Ссылка на литературу (номера по списку литературы)	Примечание	
				3	4
II-1	2	<i>Титан</i> р. Чартис (левый борт)	8		Вкрапленность титаномагнетита в нефелиновых сиенитах
IV-1	5	р. Ак-Таврыг-Тыг	8		Обломки амфиболитов с вкрапленностью титаномагнетита
I-4	2	<i>Медь</i> р. Каргы, левый борт	8		
II-2	6	р. Бол. Пучук	60		Кварцевая жила с вкрапленностью халькопирита
II-3	17	р. Балыктыг-Хем (истоки)	8		Окварцованные мраморы, порфириты с вкрапленностью халькопирита
I-3	3	<i>Свинец</i> р. Тарбагатай	8		Глыбы кварца с халькопиритом
III-3	12	р. Пичи-Холь	8		
IV-3	9	р. Тарги			Граносиениты в зоне дробления с вкрапленностью галенита
IV-3	10	р. Тарги (истоки)			Кварцевые прожилки с галенитом в зоне дробления
IV-4	16	р. Цоригин-Гол			Шлиховой ореол. Содержание галенита в пробах до 50 г/т
III-1	1	<i>Олово</i> р. Баян-Гол			Развалы гранатовых скарнов. Обломок галенита
I-1	1	<i>Алюминий</i> р. Бурен	23		Шлиховой ореол. Содержание галенита до 100 знаков в шлихе
					Редкая вкрапленность кассiterита в эндоконтакте массива гранитов
					Нефелиновые сиениты, содержание нефелина до 70%

Продолжение прилож. 3

1	2	3	4	5
I-3	4	Харлинский массив	66	Нефелиновые сиениты, содержание нефелина 30—40%
II-3	3	Баянкольский массив	66	Нефелиновые сиениты, уртиты, содержание нефелина до 70%
II-3	16	Кара-Адырский массив (Пичехольский)	—	Нефелиновые сиениты, содержание нефелина 30—40%
II-4	5	Каргинский массив	—	Нефелиновые сиениты, уртиты, содержание нефелина до 70%
III-3	16	Чикский массив	65	Нефелиновые сиениты, содержание нефелина до 60%
III-4	1	Тоскульский массив	66	Нефелиновые сиениты, содержание нефелина 30—40%
<i>Литий</i>				
II-3	10	р. Кара-Адыр, участок № 1	34	Сподуменовые пегматиты
II-3	11	р. Кара-Адыр, участок № 2	34	То же
II-3	12	р. Кара-Адыр, участок № 3	34	„ „
II-3	13	р. Кара-Адыр, участок № 4, «Надежда»	34	„ „
III-3	1	Дахуунурское	34	Жила сподуменовых пегматитов
III-3	7	р. Балыктыг-Хем (левый борт)	34	Жила сподуменовых пегматитов
III-3	10	Тайхемское	34	Сподуменовые пегматиты
IV-2	2	Водораздельное	57	То же
IV-2	3	Качикское	57	Кварц-полевошпатовые пегматиты со сподуменом
IV-2	4	р. Качик (верховье)	57	Сподуменовые пегматиты
IV-2	6	Хартынское	57	То же
IV-2	7	р. Качик	57	„ „
IV-3	3	р. Жин-Хем (левый борт)	57	Кварц-полевошпатовые пегматиты с амазонитом, лепидолитом
IV-3	6	Жин-Хемское	31	Глыбы сподуменовых пегматитов
IV-3	11	Водораздел рек Жин-Хем—Тарги	57	Жила сподуменовых пегматитов
IV-3	13	Баянгольское	57	Глыбы сподуменовых пегматитов
IV-3	14	р. Тарги (левый борт)	57	Жила сподуменовых пегматитов
IV-3	15	Сутлугское	57	Жила сподуменовых пегматитов

Продолжение прилож. 3

1	2	3	4	5
IV-3	16	Ак-Адырское	57	Жилы сподуменовых пегматитов
IV-4	14	р. Цоригин-Гол (верховье)	—	Кварц-полевошпатовые пегматиты со сподуменом
IV-4	15	Пакцагангольское	31	Сподуменовые пегматиты
IV-4	17	Ихецагангольское	31	То же
V-2	4	р. Качик	—	Жила сподуменовых пегматитов
V-3	1	Цоригингольское	31	Глыбы сподуменовых пегматитов
V-4	1	Бургинское	57	Сподуменовые пегматиты
V-4	2	Пичи-Тоштугхемское 1	41, 57	То же
V-4	3	Пичи-Тоштугхемское 2	31, 57	„ „
V-4	4	Севелигское	57	Жила сподуменовых пегматитов
<i>Тантал, ниобий</i>				
I-1	3	Буренское	20, 41	Альбитизированные гнейсо-граниты
<i>Ниобий</i>				
I-1	4	р. Бурен (левый борт)	—	Геохимический ореол
<i>Тантал, ниобий</i>				
I-2	1	р. Бурен (истоки)	20, 41	Альбитизированные граниты
<i>Ниобий</i>				
II-3	1	Баянкольский массив	56	Амазонитовые граниты («Шток» 100×15×80 м)
II-4	3	Хунчольское	56	Амазонитовые альбитизированные граниты. Площадь 2,5 км ²
<i>Редкие земли</i>				
I-1	5	р. Бурен (левый борт)	51	Жилы гранит-аплитов
I-1	6	Батаякское	51	Дайка щелочных рибекитовых гранит-порфиров
I-1	7	Кызыл-Адырское	51	Жилы пегматитов, аplitов, сиенитов с гематитом
I-1	8	Высотное	51	Серия жил щелочных гранит-порфиров
I-1	9	Водораздел рек Бурен-Эрзин	51	Жильное поле гранитоидов среди мраморов
I-1	10	р. Эрзин (правый борт)	51	Пегматитовые кварц-полевошпатовые жилы
I-2	4	Ызыройское	60	Серия жил щелочных гранитов, гранит-аплитов
I-2	5	р. Эрзин (верховья)	51, 60	Пегматиты кварц-полевошпатового состава

Продолжение прилож. 3

1	2	3	4	5
II-2	7	р. Чартис (левый борт)	60	Серия мелких жил гранитоидов, пегматитов
II-2	10	р. Чартис	60	То же
II-2	11	р. Чартис (истоки)	60	Жилы кварц-полевошпатовых пегматитов
II-2	12	р. Чартис (правый борт)	60	Жилы щелочных пегматитов
II-3	5	р. Сольбельдер	58	Кварц-полевошпатовые пегматиты
II-3	6	р. Сольбельдер (левый борт)	58	То же
II-3	7	р. Сольбельдер	58	Жила гранит-аплита
II-3	9	р. Сольбельдер (правый борт)	58	Жила гранит-аплита
II-3	15	р. Сольбельдер (правый борт)	51	То же
II-3	18	р. Сольбельдер	51	Дайка гранит-аплита
II-4	1	р. Каргы (правый борт)	51	Жилы гранит-аплита
II-4	2	бассейн р. Каргы	51	Пегматитовые жилы
I-2	6	Орта-Карасугское	51	Пегматитовые жилы и шток (10×30 м) биотитовых гранитов
I-2	7	р. Эрзин	60	Жила биотитовых гранитов
I-3	1	р. Тарбагатай	8, 29	Щелочные сиениты. Массив (50×12 м)
I-3	2	р. Тарбагатай (правый борт)	8, 29	Альбитовые жилы
II-1	1	бассейн р. Чартис		Шлиховой ореол
II-1	3	Водораздел рек Баян-Гол—Чартис		Жилы пегматитов кварц-полевошпатового состава
II-2	1	р. Эрзин	60	Ксенолиты гнейсов в гранитах
II-2	3	Водораздел рек Бол. и Мал. Пучук	60	Пегматитовая жила кварц-полевошпатового состава
II-2	4	р. Эрзин (левый борт)	60	Мелкие жилы гранит-аплита, пегматитов
II-2	5	Водораздел рек Бол. и Мал. Пучук	60	Жила кварц-полевошпатовых пегматитов
II-4	4	Бассейн р. Каргы	51	Кварц-полевошпатовые пегматиты
II-4	6	То же	51	То же
II-4	7	р. Каргы (истоки)	51	" "
III-1	2	р. Чартис (левый борт)	51	" "
III-3	2	р. Балыктыг-Хем (левый борт)	51	" "
III-3	4	р. Балыктыг-Хем	51	Щелочные пегматиты
III-3	5	То же	51	Кварц-полевошпатовые пегматиты
III-3	6	" "	51	То же
III-3	9	" "		" "
III-3	11	" "		" "

1	2	3	4	5
III-4	2	р. Балыктыг-Хем		Кварц-полевошпатовые пегматиты
III-4	3	То же		То же
III-4	5	" "	51	Щелочные пегматиты
IV-1	1	р. Нарын (правый борт)		Кварц-полевошпатовые пегматиты
IV-1	2	То же		Жилы кварц-полевошпатовых пегматитов
IV-1	3	" "		Кварц-полевошпатовые пегматиты
IV-1	4	р. Нарын (левый борт)		Жилы кварц-полевошпатового состава
IV-1	7	р. Ак-Таврыг-Тыг		Жилы кварц-полевошпатового состава
IV-3	2	р. Жин-Хем (левый борт)		Кварц-полевошпатовые пегматиты
IV-3	4	р. Жин-Хем (правый борт)		Кварц-полевошпатовые пегматиты
IV-3	5	Чикское жильное поле	27	Жилы гранитоидов
IV-3	7	То же	27	То же
IV-3	12	р. Тарги (истоки)		Жила пегматитов
IV-4	2	р. Чахыртой	8	То же
IV-4	3	р. Чахыртой (правый борт)	8	Кварц-полевошпатовые жилы
IV-4	4	р. Жин-Хем (правый борт)	8	Жилы пегматитов кварц-полевошпатового состава
IV-4	5	р. Жин-Хем (правый борт)		То же
IV-4	6	р. Чахыртой		" "
IV-4	7	Водораздел рек Чахыртой—Жин-Хем		" "
IV-4	8	То же		" "
IV-4	10	р. Чахыртой (левый борт)		" "
IV-4	11	Водораздел рек Чахыртой—Жин-Хем		" "
IV-4	13	р. Чахыртой (истоки)		" "
IV-4	18	бассейн р. Цайга-Гол		Жилы пегматитов кварц-полевошпатового состава
IV-4	19	Водораздел рек Чахыртой—Цоригин-Гол		Шлиховой ореол
Цирконий				
I-3	5	р. Тарбагатай (верховье)	29	Щелочные пегматиты
I-3	6	То же	34	То же
II-3	4	Бассейн рек Тарбагатай, Сольбельдер, Каргы		Шлиховой ореол
II-3	14	Кара-Адырское	8, 29, 58	Тела альбититов

Продолжение прилож. 3

1	2	3	4	5
<i>Золото</i>				
II-2	2	р. Бол. Пучук	60	Кварцевая жила с вкрапленностью золота
II-2	8	р. Бол. Пучук	60	То же
III-2	2	р. Чартис (истоки)		Пиритизированные миллинты с кварцевыми прожилками, содержащими золото
III-2	4	р. Хап-Суг (левый борт)	48	Кварцевая жила с резкой вкрапленностью золота
III-2	7	р. Нарын (правый борт)	48	Обломки кварца с пиритом и золотом
III-2	8	р. Нарын	48	Кварцевая жила с редкой вкрапленностью золота
III-2	9	р. Нарын (правый борт)	48	То же
III-2	10	То же	48	" "
III-2	13	р. Нарын (левый борт)	48	Кварцевая жила с резкой вкрапленностью золота
<i>Апатит</i>				
I-1	2	р. Бурен (верховья)	23	Обломки карбонатных пород с вкрапленностью апатита
I-2	3	Улуг-Тензек	23	Ксенолит мраморов с вкрапленностью апатита
П-3	2	Баянкольский массив		Вкрапленность апатита в эндоконтакте Баянхольского массива
<i>Корунд</i>				
III-2	1	р. Хап-Суг (левый борт)	26	Жилы, линзы сиенит-пегматитов с корундом
<i>Графит</i>				
III-2	5	р. Хап-Суг (левый борт)		Линза графита в зоне разрывного нарушения
<i>Исландский шпат</i>				
I-4	1	Каргинское	33	Шпатоносные жилы
II-2	9	р. Бол.-Пучук (истоки)	60	Кристаллы исландского шпата в экзоконтакте пегматитовых жил
III-1	4	р. Нарын (левый борт)	33	Жилья и прожилки с крупными не прозрачными кристаллами кальциита
III-2	6	Нарынское	33	Карбонатные жилы с полупрозрачным кальцитом

Продолжение прилож. 3

1	2	3	4	5
III-3	3	р. Балыктыг-Хем (левый борт)	33	Карбонатные жилы с полупрозрачным кальцитом
III-3	8	р. Балыктыг-Хем (левый борт)	33	То же
III-3	13	р. Жин-Хем	33	" "
III-3	14	р. Жин-Хем (правый борт)	33	" "
III-3	15	р. Жин-Хем	33	" "
III-4	4	р. Балыктыг-Хем	33	" "
IV-2	1	Качикское		Шпатоносные погреба, линзы, жилы
IV-2	5	р. Качик	8	Карбонатные жилы с полупрозрачным кальцитом
IV-3	1	Жин-Хемское	33	Крупные жилья погреба с оптическим кальцитом
IV-4	1	Чахыртойское	8	Карбонатные жилы с полупрозрачным кальцитом
IV-4	9	р. Чахыртой	8	То же
<i>Источник минеральных вод</i>				
III-2	11	Нарынский аржан		Сероводородный источник. Целебные свойства сомнительны

Произведения, для которых нет ссылки на литературу, открыты авторами данного листа.